

الله  
الرحيم الرحيم





دانشکده صنعتی شهروند

دانشکده مهندسی معدن، نفت و ژئوفیزیک

رشته ژئوفیزیک گرایش گرانی سنجی

پایان نامه کارشناسی ارشد

## مدل سازی وارون داده های گرانی سنجی جهت شناسایی ساختمان های زیر سطحی

فرزاد غلامیان

استاد راهنما

دکتر حمید آقا جانی

دکتر محمود میرزا یی

شهریور ۱۳۹۴



## تقدیم به

آنان که نتوان شدند تا مابه توانایی بر سیم ...

موهیشان سپید شد تا مار و سفید شویم ...

و عاشقانه سوختند تا گرما بخشن و وجود ماوراء سکن راهان باشند ...

پدر محربانم ، مادر دلوزم و همسرفدا کارم که با تمام وجود مراد مسیر

پیشرفت ہدایت کردند ... تقدیم با تمام وجودم .

## تقدیر و مشکر

اینک که به توفیق پروردگار، این پایان نامه را به پایان رسانده ام و خلیفه خود می دانم تا از زحمات کردنقدر

عزیزانی که در مراحل مختلف این تحقیق گنج های شایانی نموده اند، مشکر و قدردانی کنم. در ابتدا لازم

می دانم که از زحمات جناب آقای دکتر حمید آقاجانی و جناب آقای دکتر محمود میرزایی که زحمت

راهنمایی این پایان نامه را برعده داشتهند و با رسمخود به ایشان مراتا پایان مسیر گنج کردند، کمال مشکر و

پاسکنذاری را داشته باشم. همچنین از جناب آقای مهندس محمد رضایی جهت همکاری های لازم مشکر و

قدربانی می خایم. در انتها نیز جادار که از زحمات بی دین آقای مهندس زارعی و دوستانم آقایان وحید

جعفرزاده، ناصر فارسی، راسین اسدی و بهزاد سرکار که در عملیات صحراوی برداشت داده های کرانی سنجی،

مرا میاری کرده اند، صمیمانه کمال مشکر و قدردانی را داشته باشم.

# تعهد نامه

اینجانب فرزاد غلامیان دانشجوی دوره کارشناسی ارشد رشته ژئوفیزیک گرایش گرانی‌سنجد  
دانشکده معدن، نفت و ژئوفیزیک دانشگاه شاهرود نویسنده پایان‌نامه پایان‌نامه مدل‌سازی وارون داده‌های  
گرانی‌سنجد جهت شناسایی ساختارهای زیرسطحی تحت راهنمایی آقای دکتر حمید آفاجانی و  
آقای دکتر محمود میرزا‌ایی متعهد می‌شوم.

- تحقیقات در این پایان‌نامه توسط اینجانب انجام شده است و از صحت و اصالت برخوردار است.
- در استفاده از نتایج پژوهش‌های محققان دیگر به مرجع مورد استفاده استناد شده است.
- مطلوب مندرج در پایان‌نامه تاکنون توسط خود یا فرد دیگری برای دریافت هیچ نوع مدرک یا امتیازی در هیچ جا ارائه نشده است.
- کلیه حقوق معنوی این اثر متعلق به دانشگاه صنعتی شاهرود می‌باشد و مقالات مستخرج با نام «دانشگاه صنعتی شاهرود» و یا «Shahrood University of Technology» به چاپ خواهد رسید.
- حقوق معنوی تمام افرادی که در به دست آمدن نتایج اصلی پایان‌نامه تأثیرگذار بوده اند در مقالات مستخرج از پایان‌نامه رعایت می‌گردد.
- در کلیه مراحل انجام این پایان‌نامه، در مواردی که از موجود زنده (یا بافت‌های آنها) استفاده شده است ضوابط و اصول اخلاقی رعایت شده است.
- در کلیه مراحل انجام این پایان‌نامه، در مواردی که به حوزه اطلاعات شخصی افراد دسترسی یافته یا استفاده شده است اصل رازداری، ضوابط و اصول اخلاق انسانی رعایت شده است

## تاریخ

### امضا دانشجو

## مالکیت نتایج و حق نشر

- کلیه حقوق معنوی این اثر و محصولات آن (مقالات مستخرج، کتاب، برنامه‌های رایانه‌ای، نرم‌افزارها و تجهیزات ساخته شده است) متعلق به دانشگاه صنعتی شاهرود می‌باشد. این مطلب باید به نحو مقتضی در تولیدات علمی مربوطه ذکر شود.
- استفاده از اطلاعات و نتایج موجود در پایان‌نامه بدون ذکر مرجع مجاز نمی‌باشد.

## چکیده:

شناسایی ساختارهای زیرسطحی نظیر حفرات، تونل‌های معدنی، اتفاک‌های باستانی، رگه‌ها و نهشته‌های معدنی از جمله مواردی هستند که مورد توجه پژوهشگران حوزه معدن، علوم زمین، عمران و باستان‌شناسان قرار دارد. تعیین موقعیت چنین ساختارهایی تنها از طریق داده‌ها و اطلاعات سطحی زمین‌شناسی امکان‌پذیر نبوده و بدون استفاده از روش‌های ژئوفیزیکی بسیار سخت و پرهزینه خواهد بود. به همین منظور در ابتدای کار اکتشافی از روش‌های ژئوفیزیکی در شناسایی اینگونه ساختارها می‌توان بهره برد. یکی از مناسب‌ترین روش‌های تعیین این چنین پدیده‌هایی که تباین چگالی قابل قبولی با محیط اطرافشان دارند، روش گرانی‌سنجدی می‌باشد.

در تفسیر داده‌های گرانی پس از حذف بی‌هنجری‌های ناحیه‌ای و تهیه نقشه باقی مانده آنها، جهت تعیین پارامترهای هندسی ساختار مربوطه، از مدل‌سازی استفاده می‌شود. در این تحقیق به منظور شناسایی و مدل‌سازی تونل معدنی-آموزشی زغال‌سنگ دهملا-شاہرود، عملیات برداشت داده‌های میکرو‌گرانی‌سنجدی بر روی بخشی از محدوده تونل اصلی (عمود بر لایه<sup>۱</sup>) و انحرافی (دبایه لایه<sup>۲</sup>) انجام شد. پس از انجام تصحیحات و پردازش‌های لازم، داده‌های بی‌هنجری محلی برای انجام مدل‌سازی آماده شد. همچنین به منظور بررسی و تحقیق بیشتر، از داده‌های گرانی‌سنجدی یک سوله زیرسطحی در منطقه نوادا آمریکا نیز استفاده شد.

برای انجام مدل‌سازی از روش وارون‌سازی غیرخطی کاماچو<sup>۳</sup> استفاده شد؛ که توانایی وارون‌سازی بصورت متمرکز<sup>۴</sup> را دارا می‌باشد. جهت ارزیابی این روش، از داده‌های مدل مصنوعی دو منشور متوازی‌السطح افقی در دو عمق مختلف استفاده شد که نتایج حاصل با عمق و راستای دو منشور تطابق خوبی داشت.

---

<sup>۱</sup>Adit

<sup>۲</sup> Drift

<sup>۳</sup> Camacho

<sup>۴</sup> Focusing inversion

با توجه به پیچیدگی‌های منطقه مورد مطالعه، نتایج حاصل از مدل‌سازی داده‌های واقعی نشان می‌دهد که تفکیک مناسبی بین تونل، دویل‌های حفاری شده با ساختارهای اطراف آنها وجود دارد. همچنین لایه زغال‌داری که در راستای تونل انحرافی (شرقی- غربی) وجود دارد تا حد مطلوبی شناسایی و مدل- سازی شده است. خصوصیات شبکه برداشت، تعداد ایستگاه‌ها و دقت در اندازه‌گیری داده‌ها می‌تواند در به دست آوردن یک مدل مطلوب و مناسب بسیار پر اهمیت باشد.

**کلمات کلیدی:** میکروگرانی سنگی، مدل‌سازی وارون، تونل معدنی، دهملا، شهرود

مقالات مستخرج از پایان نامه:

- Gholamian, F., Aghajani, H. & Mirzaei, M., (2015)," Detecting abandoned mine tunnel using 3D inverse modeling of microgravity data", Near Surface Geophysics, (revision submitted)
- غلامیان ف، آقاجانی ح. و میرزاگی م، (۱۳۹۴) "مدل‌سازی معکوس سه‌بعدی داده‌های میکروگرانی جهت شناسایی حفریات معدنی" مجله مهندسی منابع معدنی و هیدرولوژی دانشگاه بین‌المللی قزوین، پذیرفته شده.
- غلامیان ف. و آقاجانی ح، (۱۳۹۲) "تعیین عمق و مرز ساختارهای زیرسطحی به روش سیگنال تحلیلی و اویلر دیکانولوشن" اولین کنفرانس ملی مهندسی اکتشاف منابع زیرزمینی، دانشگاه شهرورد.
- غلامیان ف، آقاجانی ح. و میرزاگی م، (۱۳۹۳) "مدل سازی معکوس سه بعدی داده های میکروگرانی جهت شناسایی تونل زیرسطحی" هجدهمین همایش انجمن زمین شناسی ایران، دانشگاه تربیت مدرس تهران.
- غلامیان ف، آقاجانی ح. و میرزاگی م، (۱۳۹۳) "شناسایی لایه زغال سنگ با استفاده از تفسیر داده های میکروگرانی" هفتمین همایش انجمن زمین شناسی اقتصادی ایران، دانشگاه دامغان.

## فهرست مطالب

۱	- فصل اول: کلیات
۲	۱- مقدمه
۲	۲- روش گرانی‌سنجد
۵	۳- شناسایی حفره‌ها (کارستی)، چاله‌ها و تونل‌ها
۶	۴- سوابق مطالعات انجام شده
۸	۵- ضرورت انجام پایان‌نامه
۸	۶- هدف از انجام پایان‌نامه و روش تحقیق
۹	۷- ساختار پایان‌نامه
۱۱	۲- فصل دوم: مبانی روش گرانی‌سنجد، پردازش و وارون‌سازی داده‌ها
۱۲	۱-۲ مقدمه
۱۲	۲-۲ شتاب جاذبه
۱۴	۳-۲ تغییرات جاذبه در سطح زمین
۱۴	۱-۳-۲ عرض جغرافیایی نقاط
۱۴	۲-۳-۲ اختلاف ارتفاع بین ایستگاه‌های اندازه‌گیری و سطح مبناء
۱۵	۳-۳-۲ اثر جذر و مدد
۱۵	۴-۳-۲ عوامل توپوگرافی
۱۵	۵-۳-۲ تغییرات در ساختارهای زیرسطحی و زمین‌شناسی
۱۶	۴-۲ مراحل کاربرد روش‌گرانی‌سنجد در اکتشافات ژئوفیزیکی
۱۶	۱-۴-۲ مرحله برنامه‌ریزی
۱۶	۲-۴-۲ اندازه‌گیری صحراوی
۱۶	۳-۴-۲ پردازش داده‌ها

۱۷	۴-۴-۲ تفسیر مدل فیزیکی به مفهوم زمین‌شناسی
۱۷	۵-۲ پردازش داده‌های میدان پتانسیل
۱۹	۱-۵-۲ تفکیک بی‌هنگاری‌های ناحیه‌ای و باقیمانده
۲۰	۲-۵-۲ نقشه‌ی روند سطحی
۲۱	۳-۵-۲ روش گسترش میدان به سمت بالا (ادامه فراسو)
۲۳	۴-۵-۲ تخمین گسترش افقی (سطحی) و عمقی بی‌هنگاری‌ها
۲۳	۲۳ فیلتر مشتق قائم
۲۳	۲۳ محاسبه فیلتر مشتق قائم
۲۴	۲۴ سیگنال تحلیلی
۲۵	۲۵ تخمین عمق به روش اویلر دیکانولوشن
۲۸	۵-۲ انتخاب ابعاد پنجره
۳۰	۶-۲ انتخاب شاخص ساختاری
۳۱	۶-۲ مقدمه‌ای بر مسائل وارون و مستقیم در ژئوفیزیک
۳۲	۷-۲ فرمول بندی مسائل وارون
۳۳	۸-۲ پتانسیل گرانشی اساس مسائل وارون گرانی‌سنگی
۳۵	۹-۲ مسائل وارون خطی
۳۶	۱۰-۲ مسائل وارون گسسته خطی
۳۷	۱۱-۲ تخمین‌های اندازه بردار خطای
۳۹	۱۲-۲ معیارهای اندازه‌گیری‌های طول
۴۰	۱۳-۲ راه حل کمترین مربعات برای مسائل وارون خطی
۴۱	۱۴-۲ وارون‌سازی سه‌بعدی خطی به روش کاماچو
۴۹	۳-۲ فصل سوم: مدل‌سازی مصنوعی جهت بررسی توانمندی روش
۵۰	۱-۳ مقدمه
۵۰	۲-۳ تولید مدل مصنوعی
۵۲	۳-۳ اعمال نویه دو درصد به داده‌های مدل مصنوعی
۵۳	۴-۳ وارون‌سازی داده‌های مدل مصنوعی

۵۳ .....	۱-۴-۳ مدل سازی با نوفه دو درصد
۵۵ .....	۳-۵ نتایج مدل سازی
<b>۴- فصل چهارم: برداشت، پردازش و مدل سازی داده های گرانی تونل معدنی دهملا - شاهروд و سوله زیر سطحی نوادا آمریکا</b>	
۵۷ .....	۵۷ زیر سطحی نوادا آمریکا
۵۸ .....	۱-۴ محدوده مورد مطالعه
۵۹ .....	۲-۴ زمین شناسی منطقه
۶۴ .....	۳-۴ برداشت داده های گرانی منطقه مورد مطالعه
۶۵ .....	۱-۳-۴ تهیه مختصات ایستگاه ها و نقشه توپوگرافی منطقه
۶۶ .....	۲-۳-۴ کالیبره کردن دستگاه گرانی سنجی
۶۷ .....	۳-۳-۴ قرائت ایستگاه ها
۶۷ .....	۴-۴ تصحیح داده های گرانی سنجی
۷۰ .....	۱-۴-۴ تصحیح رانه دستگاه
۷۱ .....	۲-۴-۴ شتاب گرانی ناشی از بیضوی مرجع (گرانی نرمال)
۷۲ .....	۳-۴-۴ تصحیح عرض جغرافیایی
۷۳ .....	۴-۴-۴ تصحیح ارتفاعی (هوای آزاد + بوگه)
۷۴ .....	- ز تصحیح هوای آزاد
۷۶ .....	- ح تصحیح بوگه
۷۷ .....	۵-۴-۴ تصحیح توپوگرافی
۸۰ .....	۶-۴-۴ نقشه بی هنجاری بوگه
۸۰ .....	۵-۴ پردازش و تفسیر داده های گرانی منطقه دهملا
۸۰ .....	۱-۵-۴ مقدمه
۸۱ .....	۲-۵-۴ روند سطحی
۸۳ .....	۳-۵-۴ روش گسترش میدان گرانی به سمت بالا
۸۵ .....	۴-۵-۴ فیلتر مشتق قائم
۸۵ .....	۵-۵-۴ فیلتر سیگنال تحلیلی

۶-۵-۴ تخمین عمق با استفاده از روش اویلر دیکانولوشن.....	۸۶
۶-۴ مدل سازی وارون داده های توپل معدنی دهملا.....	۸۷
۷-۴ مطالعه موردی داده های گرانی سوله زیر سطحی نوادا.....	۹۲
۴-۷-۴ فیلتر های مشتق قائم و سیگنال تحلیلی.....	۹۵
۴-۷-۴ تخمین عمق به روش اویلر دیکانولوشن.....	۹۵
۴-۴ مدل سازی وارون سوله زیر سطحی.....	۹۶
<b>۵- فصل پنجم: نتایج و پیشنهادات.....</b>	<b>۹۹</b>
۱-۵ جمع بندی و نتایج.....	۱۰۰
۲-۵ پیشنهادات.....	۱۰۱

## فهرست شکل‌ها

شکل ۱-۱: ارزیابی روش‌های مختلف ژئوفیزیکی در شناسایی ساختارهای کارستی	۴
شکل ۱-۲: نیروی گرانش بین دو جرم M <sub>1</sub> و M <sub>2</sub>	۱۳
شکل ۲-۱: بردار نیروی گرانی حاصل از برآیند بردار نیروهای گریز از مرکز و گرانش زمین	۱۴
شکل ۲-۲: نحوه حرکت پنجره روی داده‌های شبکه	۲۹
شکل ۴-۱: فرم کلی مسایل مستقیم و وارون	۳۱
شکل ۵-۱: برازش کمترین مربعات یک خط راست	۳۸
شکل ۶-۱: خط راست برازش شده	۴۰
شکل ۷-۱: نمایی از سلول‌بندی و محاسبه اثر گرانی هر سلول در سطح زمین	۴۲
شکل ۱-۳: مقطع افقی و قائم از دو منشور مدل مصنوعی	۵۱
شکل ۲-۳: نمای سه‌بعدی از دو منشور مدل مصنوعی	۵۱
شکل ۳-۱: نقشه بوگه کامل مدل مصنوعی دو منشور	۵۲
شکل ۳-۲: نقشه بوگه کامل مدل مصنوعی همراه با نوافه دو درصد	۵۳
شکل ۳-۳: نتیجه مدل‌سازی داده‌های مصنوعی با نوافه دو درصد	۵۴
شکل ۳-۴: نتیجه مدل‌سازی داده‌های مصنوعی با نوافه دو درصد	۵۴
شکل ۴-۱: موقعیت جغرافیایی محدوده معدن زغال‌سنگ دهملا و راههای دسترسی به منطقه	۵۸
شکل ۴-۲: نمایی از اردوگاه آموزشی تفریحی دهملا	۵۸
شکل ۴-۳: تونل معدنی آموزشی زغال‌سنگ (در سمت چپ محدوده) - دید به سمت غرب	۵۹
شکل ۴-۴: تونل معدنی آموزشی زغال‌سنگ (محدوده مورد نظر) - دید به سمت شمال غرب	۵۹
شکل ۴-۵: توالی لایه‌های ماسه‌سنگ، شیل و زغال‌سنگ - دید به سمت شرق محدوده	۶۰
شکل ۴-۶: نمایی از رگه زغال‌سنگ در انتهای تونل دنباله لایه	۶۱
شکل ۴-۷: نمایی از دویل‌های حفاری شده در سطح محدوده دهملا - دید به سمت جنوب	۶۲
شکل ۴-۸: نقشه موقعیت تونل‌های معدنی دهملا، دویل‌ها، ترانشه‌ها، لایه‌های زغال و توپوگرافی محدوده	۶۳
شکل ۴-۹: برداشت داده‌های توپوگرافی و مختصات ایستگاه‌های اندازه‌گیری	۶۵

..... شکل ۱۰-۴: نقشه توپوگرافی محدوده برداشت و ایستگاه اندازه‌گیری	۶۶
..... شکل ۱۱-۴: نقشه توپوگرافی زون نزدیک	۶۶
..... شکل ۱۲-۴: قرائت ایستگاه‌های گرانی در منطقه برداشت	۶۷
..... شکل ۱۳-۴: فلوچارت تصحیح مقادیر گرانی مشاهده‌ای در ایستگاه اندازه‌گیری	۶۹
..... شکل ۱۴-۴: برنامه گرافیکی تصحیح داده‌های گرانی سنجی در محیط متلب	۷۰
..... شکل ۱۵-۴: تصحیح هوای آزاد	۷۵
..... شکل ۱۶-۴: نقشه بی‌هنجری هوای آزاد محدوده تونل دهملا	۷۵
..... شکل ۱۷-۴: تصحیح تخته بوگه	۷۶
..... شکل ۱۸-۴: نقشه بی‌هنجری بوگه ساده محدوده دهملا	۷۷
..... شکل ۱۹-۴: اثر میدان جاذبه توپوگرافی اطراف یک ایستگاه روی مقدار گرانی اندازه‌گیری شده	۷۸
..... شکل ۲۰-۴: نقشه توپوگرافی زون نزدیک منطقه دهملا - شهرود	۷۹
..... شکل ۲۱-۴: نقشه توپوگرافی زون دور	۷۹
..... شکل ۲۲-۴: نقشه بی‌هنجری بوگه کامل - محدودی معدنی دهملا	۸۰
..... شکل ۲۳-۴: نقشه بی‌هنجری باقیمانده درجه ۲	۸۲
..... شکل ۲۴-۴: نقشه بی‌هنجری باقیمانده درجه ۳	۸۲
..... شکل ۲۵-۴: نقشه فیلتر ادامه فراسو در ارتفاع‌های ۴ الی ۱۴ متری با فاصله ۲ متر.	۸۴
..... شکل ۲۶-۴: نقشه حاصل از اعمال فیلتر مشتق قائم بر روی داده‌های گرانی منطقه دهملا	۸۵
..... شکل ۲۷-۴: نقشه حاصل از اعمال فیلتر سیگنال تحلیلی بر روی داده‌های گرانی منطقه دهملا	۸۶
..... شکل ۲۸-۴: تخمین عمق با استفاده از روش اویلر	۸۷
..... شکل ۲۹-۴: نتایج مدل‌سازی وارون تونل معدنی دهملا	۸۸
..... شکل ۳۰-۴: نتایج مدل‌سازی وارون تونل معدنی دهملا	۸۸
..... شکل ۳۱-۴: نتایج مدل‌سازی وارون تونل معدنی دهملا	۸۹
..... شکل ۳۲-۴: مدل سه‌بعدی تونل معدنی دهملا؛ نما از بالا (محدود شده به دامنه چگالی ۰ تا ۲۰۰۰)	۹۱
..... شکل ۳۳-۴: مدل سه‌بعدی تونل معدنی دهملا (محدود شده به دامنه چگالی ۰ تا ۲۰۰۰)	۹۱
..... شکل ۳۴-۴: مدل سه‌بعدی تونل معدنی دهملا؛ راستای تونل فرعی و اصلی	۹۱

..... ۹۲	شکل ۳۵-۴: مدل سه بعدی تونل معدنی دهملا؛ مکان دویل انتهای تونل
..... ۹۳	شکل ۳۶-۴: نمایی از سوله زیرسطحی نوادا امریکا
..... ۹۴	شکل ۳۷-۴: نقشه بی هنجاری بوگه کامل سوله زیرسطحی منطقه نوادا
..... ۹۴	شکل ۳۸-۴: نقشه توپوگرافی محدوده سوله زیرسطحی منطقه نوادا
..... ۹۴	شکل ۳۹-۴: نقشه بی هنجاری محلی از درجه دوم
..... ۹۴	شکل ۴۰-۴: نقشه بی هنجاری محلی از درجه سوم
..... ۹۵	شکل ۴۱-۴: نقشه حاصل از اعمال فیلتر مشتق قائم بر روی داده های سوله زیرسطحی نوادا
..... ۹۵	شکل ۴۲-۴: نقشه حاصل از اعمال فیلتر سیگنال تحلیلی بر روی داده های سوله زیرسطحی نوادا
..... ۹۶	شکل ۴۳-۴: تخمین عمق با استفاده از روش اویلر
..... ۹۷	شکل ۴۴-۴: نتایج مدل سازی سه بعدی به روش کاماچو

## فهرست جداول

جدول ۱-۲: تعیین شاخص ساختاری معادله اویلر برای مدل‌های ساده.....	۳۰
جدول ۱-۳: خصوصیات هندسی و فیزیکی مدل مصنوعی.....	۵۰

## علائم اختصاری مورد استفاده در متن

U: مقدار پتانسیل گرانی

g: شتاب گرانی

p: چگالی

G: ثابت جهانی شتاب جاذبه  $G = 6.672 \times 10^{-11} N.m^2/kg^2$

g<sub>m</sub>: شتاب گرانش قائم

b<sub>n</sub>: ضرایب لزادر

N: تعداد داده‌ها

M: پارامترهای مدل

A: عملگر خطی

$\Psi(p, Q)$ : تابع گرین

W: معرف توابع وزنی

$\Delta\rho$ : اختلاف چگالی جسم بی‌هنجار و سنگ‌های اطراف آن



فصل اول

کلمات

۸۰

## ۱-۱ مقدمه

ارزیابی خطرات ناشی از فرو ریزش حفره‌ها و تونل‌ها در مناطق شهری، فرودگاه‌ها، کارخانه‌ها و معادن باعث شده است تا با شناسایی اینگونه ساختارها از بروز خسارت‌های جانی و مالی جلوگیری شود. چنین محیط‌هایی اغلب در سنگ‌های رسوبی با نفوذ آب باران و کارستی شدن آن و یا به دست بشر ساخته می‌شود. کاهش این مخاطرات می‌تواند از طریق مطالعات دقیق علوم زمین حاصل شود. بطور سنتی، مهندسین از تکنیک‌های جستجوی مخرب در سرتاسر یک شبکه به طور منظم و یا تصادفی استفاده می‌کنند. اینگونه کاوش‌ها به دلیل عدم اطمینان از شناسایی تمامی حفره‌ها، به خودی خود کافی نبوده و تعداد زیاد جستجوها و حفر گمانه (طی زمانی طولانی و کند)، باعث بالا رفتن هزینه‌ها گشته و در نهایت هیچ تصویری جانبی کاملی از بخش‌های زیر این سطح زمین ارائه نمی‌دهد. این چنین ساختارهای نزدیک به سطح را می‌توان با دقت بسیار خوبی به روش‌های ژئوفیزیکی شناسایی نمود.  
[De Giorgi & Leucci, 2014]

## ۲-۱ روش گرانی‌سنجدی

موثرترین روش در تعیین ساختارهایی با تباين چگالی مناسب، استفاده از داده‌های گرانی‌سنجدی است. از داده‌های اندازه‌گیری شده گرانی با وضوح و دقت بالا (میکروگرانی‌سنجدی)، جهت بررسی بی‌نظمی‌های سنگ بستر، گسل‌ها، مناطق شکستگی، حفره‌ها، تونل‌ها، کانل‌های مدفون و غیره، به عنوان یک روش مستقل در کنار سایر روش‌های ژئوفیزیکی (مانند لرزه‌نگاری انکساری، مقاومت ویژه و یا رadar نفوذی به زمین) می‌توان استفاده نمود  
[Butler, 1980; Franklin et al., 1980]. از این روش می‌توان در اکتشافات مقدماتی مناطق فلات قاره که امکان دستیابی به اطلاعات زمین‌شناسی سطحی وجود ندارد، نیز استفاده نمود. همچنین در اکتشاف منابع معدنی به طور محدود و تنها برای اهدافی که دارای اختلاف چگالی قابل توجهی نسبت به سنگ‌های میزبان می‌باشند، مورد استفاده قرار می‌-

گیرد. علاوه بر کارهای اکتشافی، با این روش می‌توان در مقیاس ناحیه‌ای جهت تشخیص ناهمواری-های ناحیه‌ای مثل انفصال موهورویج، گسل‌های بزرگ و عمیق و نیز تعیین سطح دقیق ژئوئید صفر (سطح آب‌های آزاد) و یا بیضوی مرجع استفاده کرد [Heiskanen and Moritz, 1967]. در بیشتر مطالعات و بررسی‌های گرانی مقدار شتاب جاذبه واقعی اندازه‌گیری نمی‌شود، بلکه تغییرات جانبی این شتاب مدنظر می‌باشد؛ که تابع تغییرات چگالی سنگ‌های درون زمین می‌باشد [Dobrin and Savit, 1988]. تئوری تفسیر روش‌های میدان پتانسیل در طی مراحل مختلفی از حدود دهه ۴۰ میلادی تاکنون توسعه یافته است. این توسعه از یک سو به فرآیند اکتشاف و نیازمندی‌های اکتشافی وابسته بوده و از طرف دیگر متاثر از پیشرفت انقلابی صنایع الکترونیکی و کامپیوتری بوده است. اکتشاف به روش گرانی‌سنجدی براساس قانون نیوتون بنا شده است؛ که بیان می‌کند بین دو جرمی که به فاصله مشخص از یکدیگر قرار گرفته‌اند، نیرویی حاکم خواهد بود. مقدار نیروی میان این اجرام را شتاب جاذبه خوانده می‌شود؛ که اگر یکی از اجرام زمین فرض شود، مقدار نیروی مذکور شتاب جاذبه زمین CGS گفته می‌شود [Dobrin and Savit, 1988; Telford et al., 1991]. واحد شتاب در سیستم حدود ۹۸۰ سانتی‌متر بر مجدور ثانیه است؛ که به افتخار گالیله مقدار واحد آن گال گفته می‌شود.

روش	روش اندازه گیری	بدون پوشش رسوبی			پوشش رسوبی		
		با پوشش رسوبی	بدون پوشش رسوبی	محدوده ای	محدوده ای	بدون شکسته	مسیر ممتاز
زئوفزیک زمینی							
زئوفزیک زمینی	ES	++	++	0	0	+++	+
	ERT	++	++	++	++	+++	++
	Mise-à-la-masse	0	0	0	0	0	0
	SP	0	++	0	++	0	0
الکترووگرافی	Slingram	++	++	++	++	++	++
	TDEM	++	++	0	0	0	0
	GPR	0	+	+	+	+	+
	CSAMT	++	++	++	++	++	++
	VLF res.-RMT	++	++	++	++	++	++
لرزه نگاری	VLF EM	++	++	++	++	++	++
	Tomography	+++	++	++	++	++	++
	MASW	++	++	++	++	++	++
عکسبرداری سنجی	Profiling or mapping	0	++	++	0	++	0
منابع سنجی	Profiling or mapping	0	0	0	0	0	0
MRS	Sounding	0	0	0	+++	0	0
	بسیارهادی	+++	++	+	+	+++	+
	مناسب اما ناکافی	+	+	+	+	0	0
	مناسب اما محدود	+	+	+	+	0	0
	بسیارهاد نبی شود ()						

شکل ۱-۱: ارزیابی روش‌های مختلف زئوفزیکی در شناسایی ساختارهای کارستی [Chalikakis et al., 2011]

### ۱-۳- شناسایی حفره‌ها (کارستی)، چاله‌ها و تونل‌ها

دو عامل مهم در منشأ حفره‌های زیرسطحی در بسیاری از مناطق جهان، فعالیت‌های انسانی نظیر حفر تونل‌های راه و معدنی و چاه‌های آب بوده و یا به دلیل کارستی شدن همچون غارها، چاله‌ها و کانال‌های زهکشی زیرسطحی می‌باشد. بطور کلی حفره‌ها، چاله‌ها و تونل‌ها را می‌توان به دو دسته خالی از ماده (پر شده از هوا) و دارای ماده (بطور مثال آب) تقسیم‌بندی نمود. چگالی حفره‌های خالی بیشترین بی‌هنجری را به دلیل تباین چگالی بالا با محیط اطراف ایجاد می‌کنند. حفره‌های پر شده از آب در حدود ۶۰ درصد از میزانی که حفره خالی باشد، تباین چگالی دارند و این مقدار برای حفره‌های پر شده از گل و لای چیزی در حدود ۴۰ درصد می‌باشد. در صورتی که این حفره‌ها در محیطی با چگالی متوسط پوسته زمین (۲/۶۷ گرم بر سانتی‌متر مکعب) قرار گرفته باشند، حداقل تباین چگالی برای حفره‌های خالی ۲/۵ - ۲/۵ گرم بر سانتی‌متر مکعب، برای حفره‌های پر شده از آب ۱/۵ - ۱/۵ گرم بر سانتی‌متر مکعب و برای حفره‌های پر شده از گل و لای ۱ - ۱ گرم بر سانتی‌متر مکعب خواهد بود [Bishop et al., 1997]. شناسایی این ساختارها به روش میکروگرانی نیازمند سنجش بی‌هنجری‌های منفی کوچک در مقیاس با یک زمینه گرانی بزرگ می‌باشد. برداشت داده‌ها با دقت بالا و حذف آثار توپوگرافی و نوشهای منطقه می‌تواند این پدیده‌ها را شناسایی نماید. تصور ساده‌ای که درباره شناسایی حفره‌ها و تونل‌های انفرادی (ساخت انسان و یا طبیعی) وجود دارد صحیح نیست. زیرا تخریب و شکستگی‌های زیاد سنگ‌های اطراف این ساختارها، بویژه در مورد تونل‌های معدنی، که تابعی از اندازه و قدرت سنگ است باعث افزایش قطر تونل یا حفره به میزان دو برابر و یا بیشتر می‌شود [Daniels, 1988]. در نتیجه اندازه موثر هدف مورد نظر، نه تنها بستگی به حجم دقیق حفره دارد، بلکه شامل تاثیر دیگری است که آن حفره بر سنگ‌های اطراف می‌گذارد. این پدیده که معمولاً هاله‌ی اثر نام دارد و باعث افزایش موثر اندازه هدف می‌شود؛ تضمین می‌کند که می‌توان حفره را بطور غیر مستقیم شناسایی کرد. البته گاهی اوقات ممکن است این اثر توسط بی‌هنجری‌ها مختل شده و

دیده نشود [Bishop et al., 1997]

## ۴-۱ سوابق مطالعات انجام شده

کاربرد روش گرانی‌سنجدی در اکتشافات ساختارهای زیرسطحی نظیر حفره‌ها و تونل‌ها توسط محققین زیادی گزارش شده و روش‌های مختلفی جهت پردازش و تفسیر کمی و کیفی و مدل‌سازی این داده‌ها ارائه شده است. برخی از این روش‌ها به تخمین عمق و برخی دیگر به گستردگی و تشخیص لبه و مرزهای بی‌هنجری تأکید داشته‌اند. از سال ۱۹۶۰ میلادی روش‌های ژئوفیزیکی بطور کل در ارزیابی مشکلات ژئوتکنیکی که عمداً مربوط به شناسایی حفره‌ها، فروچاله‌ها و ساختارهای توخالی شبه کارست (تونل) دخیل بوده‌اند [Colley, 1963; Neumann, 1965; Arzi, 1975; Fajkiewicz, 1976; Blizkovsk'y, 1979; Butler, 1980 and 1984; Benderitter, 1997]. توماس و روس (۱۹۹۹) یک مطالعه مقایسه‌ای بین دوازده روش ژئوفیزیکی برای شناسایی حفرات ارائه دادند. ریباکوو و همکاران (۲۰۰۱) حفره‌های زیرسطحی را با دقیق‌ترین روش میکروگرانی تعیین نمودند. برس و همکاران (۲۰۰۱) با تلفیق روش‌های میکروگرانی و رادر نفوذی به زمین، موفق به شناسایی حفره‌های کم عمق شدند. هاتیچسون و همکاران (۲۰۰۲) یک مقایسه مفید از چندین روش ژئوفیزیکی برای شناسایی حفره‌ها ارائه دادند. فاوچارد و پوترات (۲۰۰۴) یک دستور العمل برای شناسایی حفره‌های خالی (پر شده از هوا مانند تونل) با استفاده از روش‌های ژئوفیزیکی تهییه و ارائه دادند. گوتیرز و همکاران (۲۰۰۸) روش‌های ژئوفیزیکی را در تشخیص فروچاله در مناطق تبخیری جهت اکتشاف کارست که توسط هوور (۲۰۰۳) پیشنهاد شده بود؛ را ارزیابی و بررسی نمودند. همچنین هر چند سال یکبار؛ موسسه استاندارد آمریکا<sup>۱</sup> ASTM (۲۰۰۶) راهنمای استانداردی را برای انتخاب ابزارهای ژئوفیزیکی ارائه می‌کند.

در زمینه مدل‌سازی ساختارهای زیرسطحی نیز تحقیقات بسیاری توسط پژوهشگران ارائه شده است.

<sup>۱</sup>American Society for Testing and Materials

کاماچو و همکاران (۱۹۹۴) روش وارون‌سازی سه‌بعدی داده‌های گرانی را جهت شناسایی حفره‌های خالی (پرشده از هوا) ارائه دادند. تیری و همکاران (۲۰۰۵) و دبگلیا و همکاران (۲۰۰۶) با اندازه‌گیری میکرو‌گرانی موفق به شناسایی ساختارهای کارستی در یک محیط شهری شدند. سیخون و بایکسو (۲۰۱۰) توانستند حفره‌های زیرسطحی را با اعمال داده‌های مقاومت ویژه به عنوان اطلاعات اولیه در وارون‌سازی بیزوی داده‌های میکرو‌گرانی، شناسایی و مدل‌سازی کنند. سوو و لی (۲۰۱۰) یک روش وارون‌سازی مشترک مقید برای داده‌های گرانی سطحی و درون گمانهای ارائه داده‌اند که باعث افزایش کیفیت وارون‌سازی و تعیین بهتر چگالی بی‌هنجاری‌های زیرسطحی شد. شمسی‌پور و همکاران (۲۰۱۲) به منظور برآورد چگالی و خودپذیری مغناطیسی ساختارهای نزدیک به سطح، یک روش جدید وارون‌سازی مشترک تصادفی بر اساس کریجینگ با استفاده از داده‌های میدان کل مغناطیسی و گرانی‌سنجدی ارائه دادند. ژادونف و کوکس (۲۰۱۳) با ارائه روش وارون‌سازی مولتینری که از طریق بهینه‌سازی قطعی داده‌های نوفه‌دار گرانی، که بطور صریح تضاد خواص فیزیکی بین ساختار مورد نظر و محیط در برگیرنده آن را تعیین می‌کند، توانستند تونل‌های زیرسطحی را مدل‌سازی کنند. کیس و همکاران (۲۰۱۳) به روش المان محدود سه‌بعدی داده‌های گرانی، حفره‌های زیرسطحی را شناسایی و مدل‌سازی کردند. پیوتا و بریتنبرگ (۲۰۱۵) با ارائه یک روش خلاقانه و استفاده از اسکن لیزری سقف و کف یک غار کارستی به عنوان قید اولیه برای وارون‌سازی و محاسبه چگالی آزمایشگاهی توانستند با دقت بسیار بالایی مدل این ساختار را به دست آورند.

در ایران نیز از روش مدل‌سازی وارون در تفسیر داده‌های گرانی‌سنجدی استفاده شده است. عابدی و همکاران (۱۳۹۰) با مدل‌سازی دوبعدی داده‌های گرانی و استفاده از روش وارون‌سازی فشرده و معیار توقف تغییر چگالی توانستند عمق بالا و پایین زغال‌های بیتومینه دهلران را تعیین کنند. مرادزاده و همکاران (۱۳۸۴) از طریق روش وارون‌سازی سه‌بعدی کمترین مربيعات، تله‌های هیدروکربنی را در منطقه طبس مدل‌سازی کردند. نجاتی و همکاران (۱۳۸۳ و ۱۳۸۸) توانستند مدل‌سازی وارون دو و سه‌بعدی داده‌های گرانی‌سنجدی را با استفاده از روش وارون‌سازی فشرده و داده‌های مغناطیسی با

استفاده از روش زیرفضا به خوبی انجام دهنده. جهانداری (۱۳۸۸) از روش لونبرگ-مارکوارت<sup>۱</sup> برای مدل‌سازی داده‌های مغناطیسی و داده‌های گرانی کاذب استفاده نموده است. اردستانی (۲۰۰۸) زون-های کارستی را با کمک وارون‌سازی سه‌بعدی داده‌های میکروگرانی به روش گسترش سلولی شناسایی و مدل‌سازی کرد. اردستانی (۲۰۰۹) چاله‌ها و حفرات زیرسطحی در زیر یک نیروگاه برق را با وارون-سازی سه‌بعدی داده‌های میکروگرانی به روش لست و کوبیک<sup>۲</sup> مدل‌سازی کرد.

## ۱-۵ ضرورت انجام پایان‌نامه

شناسایی دقیق موقعیت، عمق و شکل ساختارهای زیرسطحی نظیر حفرات کارستی شده، چاله‌ها و تونل‌های معدنی متروکه به صورت یک مدل سه‌بعدی، جهت اجرای عملیات عمرانی، اکتشافی و استخراج بسیار اهمیت دارد. مدل‌سازی وارون به عنوان یکی از کارآمدترین ابزارهای ژئوفیزیکی در بدست آوردن مدل‌های دو و سه بعدی ساختارهای زیرسطحی و تفسیر آنها مطرح است. موفقیت روش‌های وارون‌سازی تا حدود زیادی به نوع روش به کار برده شده در مدل‌سازی وابسته‌اند. با توجه به مرور سوابق مطالعات انجام شده در مورد مدل‌سازی ملاحظه می‌شود که همواره ارائه یک مدل صریح که بتواند مرز اینگونه ساختارها را به خوبی و بدون پخش‌شدگی ارائه نماید، مورد جستجو بوده است. به همین منظور در این مطالعه سعی شده است با استفاده از روش وارون‌سازی کامacho<sup>۳</sup>، مدل سه‌بعدی دو تونل معدنی متروکه و دویل‌های حفر شده اطراف آن تهیه و مورد تفسیر و بررسی قرار گیرد.

## ۱-۶ هدف از انجام پایان‌نامه و روش تحقیق

هدف از این مطالعه، بررسی روش کامacho در وارون‌سازی سه‌بعدی داده‌های میکروگرانی جهت مدل-سازی ساختارهای زیرسطحی نظیر حفره‌ها و تونل‌های متروکه نزدیک به سطح می‌باشد. به همین

---

<sup>1</sup> Marquard-Levenberg

<sup>2</sup> Last and Qubic

<sup>3</sup> Camacho

منظور، تونل‌های متروکه منطقه معدنی آموزشی دهملا-شاھرود به عنوان محدوده مورد مطالعه انتخاب شده است. پس از برداشت صحرایی داده‌های میکروگرانی و انجام تصحیحات و پردازش‌های لازم، نقشه بوگه کامل و بی‌هنگاری محلی محاسبه خواهد شد. سپس با استفاده از کدبسته Growth2.0 در محیط فرتون، سطح زیر محدوده مورد نظر به منشورهای متوازی‌السطح تقسیم بندی و طی یک فرآیند تکراری، مدل سه‌بعدی ساختارهای مذکور بدست خواهد آمد.

## ۷-۱ ساختار پایان‌نامه

در فصل اول این مجموعه ابتدا به طور مختصر درباره‌ی روش گرانی‌سنجدی، اهمیت شناسایی حفره‌ها و تونل‌ها و مدل‌سازی آنها، پیشینه تاریخی مطالعه، ضرورت و اهداف، انجام این مطالعه تشریح شده است.

با توجه به استفاده از داده‌های گرانی‌سنجدی و وارون‌سازی آنها، در ادامه بحث در فصل دوم، به بیان تعاریف، مفاهیم روش گرانی‌سنجدی و فرمول‌بندی مساله وارون و اصول وارون‌سازی به روش کاماچو پرداخته خواهد شد. در فصل سوم به منظور بررسی کارایی روش کاماچو از مدل‌های مصنوعی استفاده شده و نتایج آن مورد بررسی قرار گرفته است. در فصل چهارم به شرح زمین‌شناسی منطقه مورد مطالعه، برداشت داده‌های صحرایی و تصحیحات آنها و سپس اعمال فرآیند وارون‌سازی بر روی داده‌های واقعی پرداخته شده است. در خاتمه نتایج و پیشنهادات حاصل از مطالعه حاضر در قالب فصل پنجم ارائه گردیده است.



## فصل دوم

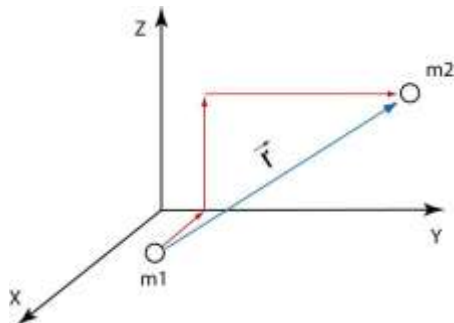
مبانی روشنگرانی سنجی، پردازش و وارونسازی داده‌ها

## ۱-۲ مقدمه

اساس کار روش گرانی‌سنجدی اندازه‌گیری تغییرات میدان گرانی حاصل از تباین چگالی بین هدف مورد نظر و سنگ میزبان می‌باشد. از قرن هفدهم تا بیستم میلادی به طور مستمر از روش گرانی جهت مطالعات زمین استفاده شده و عمدۀ اکتشافات آن مربوط به شناسایی ساختارهای بزرگ مقیاس بوده است. در دو، سه دهه‌ی اخیر با پیشرفت تجهیزات اندازه‌گیری و توسعه برنامه‌های رایانه‌ای این روش در زمینه‌های هوایی، زمینی، دریایی و ماهواره‌ای به جهت اکتشاف منابع هیدرولوکربنی، معدنی و ساختارهای زمین‌شناسی، تونل‌ها و حفرات زیرسطحی استفاده می‌شود. از گرانی‌سنجدی در اکتشاف منابع معدنی به طور محدود و تنها برای اهدافی که دارای اختلاف چگالی قابل توجهی نسبت به سنگ‌های میزبان می‌باشند، مورد استفاده قرار می‌گیرد. همچنین برای شناسایی تونل‌ها، کانال‌های مدفون و رسوبات آبرفتی سنگ نشده که در پی‌جوبی آبهای زیرزمینی اهمیت دارند، حفرات و فضاهای خالی موجود در سنگ‌ها به ویژه در سنگ آهک‌های کارستی و در آشکارسازی آثار باستانی مدفون می‌توان از این روش استفاده نمود. زیرا چگالی این رسوبات نسبت به سنگ‌های اطراف و سنگ بستر کم بوده و قابل آشکارسازی به وسیله این روش می‌باشد. با استفاده از این روش در مرحله اکتشاف مقدماتی که هیچ گونه اطلاعات قبلی موجود نیست با صرف وقت و هزینه کم، می‌توان مشخصات ساختاری منطقه را بررسی کرد [Dobrin and Savit, 1988].

## ۲-۲ شتاب جاذبه

نیروی گرانش با قانون نیوتون بیان می‌شود که مبنای گرانی‌سنجدی است. طبق این قانون نیروی موجود بین دو ذره (شکل ۱-۲) به جرم‌های  $m_1$  و  $m_2$  با حاصل ضرب جرم آن‌ها نسبت مستقیم و با مجدد فاصله آن‌ها رابطه عکس دارد [Telford et al., 1991].



شکل ۱-۲: نیروی گرانش بین دو جرم  $m_1$  و  $m_2$

$$\vec{F} = -G \frac{m_1 m_2}{r^2} \vec{r}_1 \quad (1-2)$$

که در آن  $\vec{F}$  نیروی وارد بر جرم  $m_1$ ,  $\vec{r}_1$  بردار واحد در راستای  $m_1$  به  $m_2$ ,  $r$  فاصله بین جرم‌های  $m_1$  و  $m_2$  و  $G$  ثابت عمومی جاذبه می‌باشد و مقدار آن برابر است با :

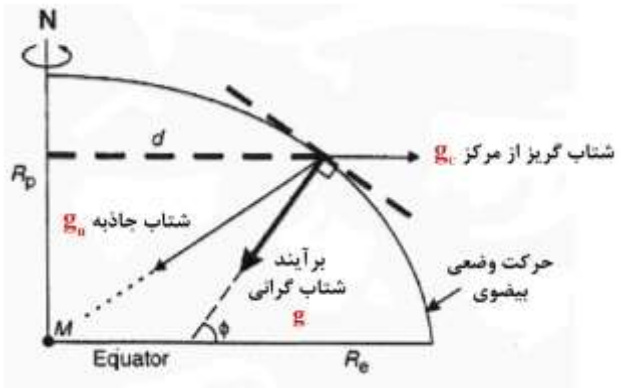
$$G = 6.67 \times 10^{-11} \text{ m}^3 / \text{kg} \cdot \text{s}^2 \quad (2-2)$$

طبق قانون دوم حرکت نیوتون شتاب جرم  $m_2$  ناشی از حضور جرم  $m_1$  از تقسیم  $F$  بر  $m_2$  به دست می‌آید. در حالت خاص اگر  $m_1$  را برابر با  $M_e$  یعنی جرم زمین در نظر گرفته شود، با توجه به معادله

(۱-۲) اندازه شتاب جاذبه در سطح زمین برابر است با [Telford et al., 1991]

$$g = \frac{F}{m_2} = G \frac{M_e}{R_e^2} \quad (3-2)$$

مقداری را که دستگاه‌های گرانی‌سنج نسبی اندازه‌گیری می‌کنند شتاب جاذبه زمین نمی‌باشد بلکه برآیند برداری شتاب گریز از مرکز و شتاب جاذبه زمین می‌باشد که تحت عنوان شتاب گرانی خوانده می‌شود.



شکل ۲-۲: بردار نیروی گرانی حاصل از برآیند بردار نیروهای گریز از مرکز و گرانش زمین

واحد اندازه‌گیری شتاب چاذبه گال ( $Gal = 1 \text{ Cm}/\text{Sec}^2$ ) است اما در عمل معمولاً از واحد کوچکتری به نام میلی گال ( $Gal = 1000 \text{ mGal}$ ) یا میکروگال استفاده می‌شود.

### ۳-۲ تغییرات چاذبه در سطح زمین

شتاب چاذبه در همه جای سطح زمین یکسان نیست، بلکه تحت تأثیر چندین فاکتور از قبیل عرض جغرافیایی، ارتفاع، جرم، توپوگرافی و نهایتاً زمین‌شناسی منطقه تغییر می‌کند. بنابراین برای به دست آوردن اطلاعات زمین‌شناسی باید تصحیحاتی از قبیل تصحیح هوای آزاد، تصحیح بوگه، تصحیح عرض جغرافیایی و تصحیح توپوگرافی بر روی مقادیر اولیه اندازه‌گیری شده اعمال شود.

### ۳-۱ عرض جغرافیایی نقاط

موقعیت جغرافیایی نقاط سطح زمین عامل مؤثری در تغییرات شتاب چاذبه می‌باشد. زیرا اجسام در سطح زمین تحت تأثیر نیروی گریز از مرکز ناشی از حرکت وضعی زمین قرار داشته و این نیرو که در جهت مخالف چاذبه اثر می‌نماید در استوا حداقل و در قطب مساوی صفر می‌باشد.

### ۳-۲ اختلاف ارتفاع بین ایستگاه‌های اندازه‌گیری و سطح مبنای

با توجه به فرمول  $G \frac{m}{r^2} = g$ ، هر چه ارتفاع نقطه‌ای از سطح دریا (سطح مبنای) بیشتر باشد شدت چاذبه در آن نقطه کمتر خواهد بود.

### ۳-۳-۲ اثر جذر و مد

اجسام سطح زمین تحت تأثیر جاذبه ماه و خورشید نیز می‌باشند و موقعیت نسبی این دو کره در فضا در زمان اندازه‌گیری باعث مشاهده تغییراتی جرم و درنتیجه در شتاب جاذبه می‌شود.

### ۴-۳-۲ عوامل توپوگرافی

وجود عوارض توپوگرافی مانند کوههای مرتفع و دره‌های عمیق در نزدیکی محل اندازه‌گیری در شتاب اندازه‌گیری شده مؤثر می‌باشد. هر دو این آثار توپوگرافی در یک جهت روی مقدار گرانی اثر می‌گذارند. زیرا کشش به سمت بالا (در مورد تپه‌ها) و عدم کشش به سمت پایین (در مورد دره‌ها) هر دو باعث کاهش مقدار گرانی در نقطه اندازه‌گیری می‌شود. بنابراین هر دو حالت سبب می‌شوند تا مقدار شتاب جاذبه در ایستگاههای گرانی، کمتر از مقدار واقعی اندازه‌گیری شود ([توكلی، ۱۳۷۵](#)).

### ۵-۳-۲ تغییرات در ساختارهای زیرسطحی و زمین‌شناسی

تغییرات در وزن مخصوص سنگ‌ها و یا ساختارهای نسبتاً سطحی زمین مانند حفره‌ها و تونل‌ها در محل اندازه‌گیری و یا وجود پدیده‌های زمین‌شناسی نظیر گنبدهای نمکی، طاقدیس‌ها، ناویدیس‌ها، گسل‌ها باعث اختلافاتی بین مقادیر گرانی قرائت شده در ایستگاههای مختلف می‌شوند. شتاب گرانی در نقاط فراوانی از منطقه مورد مطالعه به فاصله چند متر و یا چند کیلومتر از یکدیگر اندازه‌گیری شده و سپس نتایج حاصله برای تغییرات سایر عوامل مزاحم مانند تصحیح عرض جغرافیایی، تصحیح هوای آزاد، تصحیح بوگه، تصحیح توپوگرافی، تصحیح جزر و مد تصحیح می‌شوند. در صورتی که هنوز اختلافی بین مقادیر تصحیح شده باقی مانده باشد، مربوط به دسته پنجم خواهد بود. مطالعه و تعبیر و تفسیر این مقادیر که بی‌هنجری نامیده می‌شوند برای مکان‌یابی توده‌های زیرسطحی هر منطقه‌ای به کار می‌رود. شدت این بی‌هنجری‌ها بستگی به میزان اختلاف تباین ساختار مورد نظر با محیط در برگیرنده و عمق آن‌ها دارد.

## **۴-۲ مراحل کاربرد روش گرانی سنجی در اکتشافات ژئوفیزیکی**

به کارگیری روش‌های گرانی سنجی برای اکتشافات ژئوفیزیکی را می‌توان در چهار مرحله زیر خلاصه نمود:

### **۴-۱ مرحله برنامه‌ریزی**

مرحله برنامه‌ریزی شامل بررسی طیف وسیعی از ویژگی‌بی‌هنگاری‌ها می‌باشد. با توجه به ساختار مورد مطالعه و استفاده از اطلاعات زمین‌شناسی و پیش‌بینی عمقی اولیه، نوع برداشت (زمینی، هوایی، و یا دریایی) و پارامترهای شبکه برداشت (طول پروفیل‌ها و فاصله بین آنها، فاصله ایستگاه اندازه‌گیری، ارتفاع پرواز و غیره)، روش‌های پردازش و تفسیر وغیره محاسبه و طراحی می‌شوند که در تمامی این مراحل باید ملاحظات هزینه و سود در نظر گرفته شود.

### **۴-۲ اندازه‌گیری صحرایی**

جمع آوری داده‌ها با توجه به روش مشخص شده در مرحله برنامه‌ریزی (مرحله قبل)، به طوری که مشاهدات همراه با دقت و تراکم مناسب باشند، انجام می‌شود. تراکم بالای داده‌ها منجر به افزایش هزینه می‌شود، در نتیجه لازم است با توجه به هدف مورد مطالعه و گسترش طولی و عمقی آن، حالت بهینه شبکه برداشت را در نظر گرفت.

### **۴-۳ پردازش داده‌ها**

پردازش داده‌های به دست آمده به طور کلی شامل دو مرحله است. اول کاهش (تصحیح) داده‌ها به یک شکل تفسیری با حذف تمام اثرات گرانش قابل پیش‌بینی و باقی گذاشتن تنها شتاب گرانی از منابع زیرسطحی (بی‌هنگاری) ناشناخته است. این مرحله با مقایسه داده‌های مشاهده‌ای با یک مدل نظری از شتاب گرانی در هر ایستگاه مشاهده‌ای انجام می‌شود. بخش دوم شامل تقویت بی‌هنگاری-های مورد نظر با روابط ریاضی و آماری است به طوری که بتوان آنها را شناسایی و تجزیه و تحلیل

کرد. داده‌های برداشت شده در یک منطقه، طیفی از بی‌هنجاري‌های سطحی یا باقی‌مانده تا بی-هنجاري‌های عمیق یا ناحیه‌ای را شامل می‌گردد. بی‌هنجاري‌های ناحیه‌ای دارای طول موج بلند می-باشند، در حالی که بی‌هنجاري‌های باقی‌مانده دارای طول موج کوتاه هستند [Reynolds, 1997]. بنابراین با توجه اهداف مورد مطالعه لازم است این دو دسته بی‌هنجاري‌ها از یکدیگر تفکیک شوند.

#### ۴-۴-۲ تفسیر مدل فیزیکی به مفهوم زمین‌شناسی

این بخش ممکن است تنها با یک بیان ساده در رابطه با تشخیص محل منابع بی‌هنجاري انجام شود، اما معمولاً شامل یک تفسیر کمی به شکل وارون‌سازی از منابع ایجاد کننده بی‌هنجاري‌های است. روند وارون‌سازی معمولاً نه تنها محل و پیکربندی منبع، بلکه عمق و تباین آن را در مقابل با سنگ‌های اطراف تخمین می‌زند. بطور کلی فرآیند وارون‌سازی دارای ابهام ذاتی است، اما ترکیب دیگر داده‌ها همچون زمین‌شناسی و ژئوفیزیک به تجزیه و تحلیل وارون‌سازی، طیف وسیعی از منابع احتمالی (ابهام مساله) را محدود می‌کند و یک مدل مفهومی نهایی ارائه می‌شود. در نهایت مدل فیزیکی نتیجه شده از فرآیند وارون‌سازی بر اساس اطلاعات زمین‌شناسی و مشاهدات منطقه به صورت یک گزارش زمین‌شناسی ارائه می‌شود. تجزیه و تحلیل خطای کار و بیان روش هزینه‌های انجام شده بخش مهمی از یک گزارش گرانی‌سنگی است.

#### ۵-۲ پردازش داده‌های میدان پتانسیل

یکی از مهم‌ترین مراحل در تفسیر داده‌های میدان پتانسیل، تفکیک عمودی بی‌هنجاري‌های ناشی از منابع محلی و منطقه‌ای و شناسایی مرزهای افقی آن‌ها است. روش‌هایی چون فیلترهای گسترش به سمت بالا<sup>۱</sup> و گسترش به سمت پایین<sup>۲</sup> بر اساس طول موج‌های متفاوت بی‌هنجاري‌ها (توده‌های عمیق

<sup>۱</sup> Upward continuation

<sup>۲</sup> Downward continuation

طول موج بلندتری نسبت به توده‌های سطحی دارند، تفکیک عمودی توده‌های بی‌هنجر را انجام می-

دهند اما کمکی به تفکیک جانبی آن‌ها نمی‌کنند.

در بررسی ناهمگنی جانبی توده‌های زمین‌شناسی، به ویژه موقعیت لبه‌ی آن‌ها، داده‌های میدان

پتانسیل مزایای منحصر به فردی دارند. زمانی که صحبت از لبه‌ها یا مرزهای زمین‌شناسی می‌شود،

به‌طور عمده منظور مرز گسل‌ها، شکستگی‌ها و یا واحدهای زمین‌شناسی و یا واحدهای سنگی با

چگالی متفاوت می‌باشد ([حدادیان، ۱۳۹۰](#)).

فیلترهای متعددی برای شناسایی مرزهای افقی توده‌های بی‌هنجر وجود دارد. این فیلترها می‌توانند

مرز بین واحدهای زمین‌شناسی را با وضوح بیشتری مشخص کنند و ساختمان‌های سطحی و عمیق را

برجسته نمایند و یا عوارض را از زوایای مختلف نمایش دهند. روش‌ها بر اساس مکان نقاط ماکریم و

یا صفر حاصل از به‌کارگیری مشتقات افقی یا قائم و یا ترکیبات متفاوت آن‌ها می‌باشند. اما به هر حال

تفاوتی بین لبه‌های بدست آمده و لبه‌های واقعی وجود دارد که این تفاوت با شکل مرز، عمق، اندازه و

دیگر فاکتورهای توده‌ی زمین‌شناسی تغییر می‌کند.

بعد از برداشت داده‌های میدان پتانسیل، نتیجه کار یک سری داده گسسته با ماهیت عددی است که

در نقاط پروفیل یا شبکه برداشت (حوزه مکان) حاصل شده است. فیلترها بعد از اینکه داده‌ها

گردآوری و به برخی فرمتهای استاندارد (برای مثال بی‌هنجری بوگه) جمع‌آوری شدند به داده‌های

میدان پتانسیل اعمال می‌شوند. عمل فیلتر کردن اغلب شامل قرار دادن یک یا چند پنجره متحرک بر

روی داده‌ها و آنالیز داده‌های محاط در هر پنجره است. این آنالیز شامل عملیات ریاضی پیچیده مانند

تبديل فوريه و يا متوسط‌گيري رياضي ساده می‌باشد. بعد از اعمال فیلتر، داده‌ها به صورت یک فايل

جدید ذخیره می‌شوند. امروزه به کارگیری روش‌های جدید با استفاده از کامپیوتر به علت صرفه‌جویی

در زمان و سهولت در به کارگیری این روش‌ها برای حجم وسیعی از داده‌ها، رواج یافته است که می-

توان از جمله به روش‌های خودکار مانند روش اویلر دیکانولوشن اشاره کرد.

## ۱-۵-۲ تفکیک بی‌هنجری‌های ناحیه‌ای و باقی‌مانده

نقشه‌های میدان‌های پتانسیل تهیه شده از برداشت‌های گرانی، مجموع اثرات توده‌هایی با دانسیته متفاوت در اعماق مختلف می‌باشند. به عبارت دیگر نتیجه برداشت به کلیه بی‌هنجری‌های موجود در منطقه مربوط می‌شود. در نقشه میدان‌های پتانسیل، تاثیرات سنگ بستر با تغییرات خطی و ملائم مشخص می‌شوند (دولتی اردنه‌جانی، ۱۳۷۲)، که به آن‌ها بی‌هنجری ناحیه‌ای گفته می‌شود. بی‌هنجری ناحیه‌ای دارای یک فرکانس پایین و طول موج بلند است، در حالی که بی‌هنجری‌های باقی‌مانده که مربوط به اجسام زیرسطحی کم عمق می‌شوند دارای فرکانس بالا و طول موج کوتاه می‌باشند [Reynolds, 1997].

در مطالعات ناحیه‌ای گرانی به منظور واضح‌تر شدن بی‌هنجری‌های حاصله از اشکال بزرگ مقیاس (بی‌هنجری‌های ناحیه‌ای)، باید بی‌هنجری‌های باقی‌مانده (حاصله از منابع زیرسطحی با گسترش جانبی محدود) را از روی بی‌هنجری‌های مشاهده حذف نمود (کلاغری، ۱۳۷۱). بر عکس، در کارهای اکتشافی گرانی و بزرگ مقیاس معمولاً بی‌هنجری‌های ناحیه‌ای را به منظور خوب نمایان شدن بی‌هنجری‌های باقی‌مانده از روی بی‌هنجری‌های مشاهده حذف می‌نمایند.

در نقشه‌های میدان‌های پتانسیل تاثیرات توده‌های عمیق محدوده وسیعی را در نقشه بی‌هنجری در برگرفته و بر عکس تاثیرات سطحی مناطق کوچکی را شامل می‌شوند. بنابراین مقادیر بی‌هنجری باقی‌مانده طبق رابطه زیر بیان خواهد شد.

$$\Delta g_{res} = \Delta g - \Delta g_{reg} \quad (4-2)$$

که در آن  $\Delta g_{res}$  بی‌هنجری باقی‌مانده،  $\Delta g$  بی‌هنجری میدان گرانی و  $\Delta g_{reg}$  بی‌هنجری ناحیه‌ای می‌باشد. تخمین درست و حذف میدان ناحیه‌ای از داده‌های مشاهده‌ای، میدان باقی‌مانده تولید شده که به منابع هدف مربوط می‌شود، را نتیجه می‌دهد. در اغلب کارهای اکتشافی تفسیر و مدل‌سازی عددی برای داده‌های میدان باقی‌مانده انجام می‌شود و اعتبار تفسیر به درجه تفکیک بی‌هنجری‌های باقی‌مانده و ناحیه‌ای بستگی دارد.

در این پایاننامه برای تفکیک بی‌هنگاری‌های گرانی‌سنجدی منطقه معدنی دهملا، فیلترهای روند سطحی و گسترش به سمت بالا با استفاده از نرم‌افزار ژئوسافت<sup>۱</sup> روی داده‌ها اعمال شد. اگرچه تفکیک بی‌هنگاری‌ها با استفاده از نرم‌افزار صورت پذیرفته است اما برای درک چگونگی و عملکرد آن-ها، تئوری هر یک از آن‌ها لازم و مفسر باید کاملاً آگاهی داشته باشد.

## ۲-۵-۲ نقشه‌ی روند سطحی

یکی از انعطاف‌پذیرترین تکنیک‌های تحلیلی برای تعیین اثرات ناحیه‌ای، روش روند‌سطحی می‌باشد. در این روش میدان ناحیه‌ای از مقادیر مشاهده شده بوسیله روش حداقل مربعات تقریب زده می‌شود [Hinze, 1990]. این روش بر اساس محاسبه سطحی (به روش ریاضی) استوار است که بهترین تطابق را نسبت به مقادیر مشاهده‌ای داشته باشد. در حالت کلی معادله سطح مذکور برای حالت دو بعدی به شرح زیر است [Dobrin and Savit, 1988]

$$T(x, y) = A_{00} + A_{01}x + A_{01}y + A_{11}xy + A_{20}x^2 + A_{21}x^2y + \dots + A_{pq}x^p y^q \quad (5-2)$$

که در آن  $T(x, y)$  مقدار بی‌هنگاری ناحیه‌ای،  $A_{ij}$  ضرایب سطح مذکور،  $x$  و  $y$  مختصات نقاط برداشت شده می‌باشد. بعد از عبور سطح فوق الذکر بر داده‌های مشاهده شده، بی‌هنگاری باقی‌مانده به صورت زیر محاسبه می‌شود [Dobrin and Savit, 1988]

$$R_i = G_i - T_i \quad (6-2)$$

که در آن  $G_i$  اطلاعات مشاهده‌ای،  $T_i$  مقدار گرانی محاسبه‌ای براساس رابطه (۵-۲) به عنوان اثر ناحیه‌ای و  $R_i$  بی‌هنگاری باقی‌مانده می‌باشند. برای انجام این روش مربع تفاضل اطلاعات مشاهده شده و اطلاعات سطح انتخابی با استفاده از روش حداقل مربعات کمینه می‌گردد تا سطح مناسب جهت محاسبه اثرات ناحیه‌ای به دست آید.

درجه روند سطحی به پیچیدگی زمین‌شناسی ناحیه‌ای بستگی دارد [Dobrin and Savit, 1988]. از

<sup>۱</sup> Geosoft

درجه‌های بیشتر روند سطحی برای حالت‌های پیچیده‌تر استفاده می‌شود. هرچه درجه روند بیشتر باشد بی‌هنگاری‌های باقی‌مانده کوچک‌تر و برجسته‌تر می‌شوند و همپوشانی بین مقادیر سطح مذبور و مشاهده‌ای بیشتر خواهد شد. بنابراین مقادیر باقی‌مانده به سمت صفر میل خواهند نمود. در این حالت تفکیک اطلاعات به دو مؤلفه باقی‌مانده و ناحیه‌ای مفهومی نخواهد داشت و به این ترتیب هدف اصلی ما نادیده گرفته می‌شود ([دولتی اردنه‌جانی، ۱۳۷۵](#)).

### ۳-۵-۲ روشن گسترش میدان به سمت بالا (ادامه فراسو)

روشن گسترش به سمت بالای داده‌های میدان پتانسیل در سطح وسیعی در ژئوفیزیک استفاده می‌شود. این روش به عنوان مثال برای افزایش و آشکارسازی پاسخ‌های منابع عمیق‌تر در جایی که منابع کم عمق‌تر نیز موجودند، به کار برده می‌شوند [\[Reynolds, 1997\]](#).

در این روش داده‌های میدان پتانسیل از یک سطح مبنا به طریق ریاضی بر روی سطوح ترازی در بالای سطح مبنای اصلی تصویر می‌شوند. بدین ترتیب تأثیرات سطحی حذف شده و تأثیرات عمیق به وضوح مشخص می‌شوند. در واقع این روش بی‌هنگاری‌های با طول موج کوتاه‌تر را حذف کرده و دامنه بی‌هنگاری‌ها را تضعیف و نویز را کاهش می‌دهد. بنابراین، این روش مانند یک فیلتر پایین‌گذر عمل می‌کند [\[Reynolds, 1997\]](#). گسترش داده‌های گرانی به سطوح بالاتر در مقایسه با روش گسترش به سمت پایین، افزایش نویز ندارد. برای این تبدیلات از رابطه زیر که به انتگرال فراسو معروف است،

استفاده می‌شود [\[Blakely, 1995\]](#)

$$U(x, y, z_0 - \Delta z) = \frac{\Delta z}{2\pi} \int_{-\infty}^{\infty} \int_{-\infty}^{\infty} \frac{U(x', y', z_0) dx dy}{[(x - x')^2 + (y - y')^2 + \Delta z^2]^{3/2}} \quad (7-2)$$

با در نظر گرفتن رابطه کانولوشن،

$$f * g = \int_{-\infty}^{\infty} f(x) g(x - x') dx \quad (8-2)$$

رابطه (7-2) را می‌توان به صورت آتی بازنویسی نمود.

$$U(x, y, z_0 - \Delta z) = \frac{\Delta z}{2\pi} \int_{-\infty}^{\infty} \int_{-\infty}^{\infty} U(x', y', z_0) \psi_n(x - x', y - y', \Delta z) dx' dy' \quad (9-2)$$

که در آن  $\psi_n$  و  $r$  به ترتیب از رابطه‌های زیر قابل محاسبه است.

$$\psi_n = \frac{\Delta z}{2\pi} \frac{1}{(x^2 + y^2 + \Delta z^2)^{3/2}} = \frac{-1}{2\pi} \frac{\partial}{\partial \Delta z} \left( \frac{1}{r} \right) \quad (10-2)$$

$$r = (x^2 + y^2 + z^2)^{1/2} \quad (11-2)$$

با انتقال رابطه (9-2) به حوزه فرکانس می‌توان نوشت:

$$F[U_n] = F[U]F[\psi_n] \quad (12-2)$$

$$F[\psi_n] = \frac{-1}{2\pi} \frac{\partial}{\partial \Delta z} F\left(\frac{1}{r}\right) = -\frac{\partial}{\partial \Delta z} \frac{e^{-|k|\Delta z}}{|k|} = e^{-|k|\Delta z} \quad (13-2)$$

که در آن جمله‌ی  $e^{-|k|\Delta z}$  را فیلتر ادامه فراسو می‌گویند. حال با گرفتن فوریه معکوس، می‌توان  $U_n$  را به دست آورد.

$$U_n = F^{-1}(F[U_n]) \quad (14-2)$$

به این ترتیب می‌توان مراحل انجام تبدیل میدان گرانی با استفاده از فیلتر گسترش میدان به سمت بالا را به شرح زیر خلاصه نمود:

۱- تبدیل فوریه داده‌ها و انتقال آنها به حوزه فرکانس.

۲- ضرب نتیجه مرحله یک در عبارت  $e^{-|k|\Delta z}$  که در آن  $\Delta z$  ارتفاع گسترش به متر و  $k$  عدد موج است.

۳- برگرداندن نتایج مرحله دو به حوزه مکان به وسیله تبدیل فوریه معکوس.

در صورتی که مقدار  $\Delta z$  در این رابطه مثبت باشد گسترش به سمت بالا و در صورتی که مقدار  $\Delta z$  منفی باشد گسترش به سمت پایین نامیده می‌شود.

با توجه به هدف مساله که مدل‌سازی ساختارهای زیرسطحی می‌باشد، تعیین و تشخیص گستردگی افقی (سطحی) و نیز عمقی توده‌های بی‌هنجار نقش موثری دارد. بنابراین پس از تفکیک بی‌هنجاری باقیمانده از ناحیه‌ای، از روش‌های مختلفی مانند فیلتر گرادیان قائم، سیگنال تحلیلی و روش اویلر استفاده شده است که در ادامه به اختصار توضیح داده می‌شود.

#### ۴-۵-۲ تخمین گسترش افقی (سطحی) و عمقی بی‌هنجاری‌ها

##### أ- فیلتر مشتق قائم

یکی از پرکاربردترین فیلترهای مورد استفاده در تفسیر داده‌های میدان پتانسیل، فیلترهای مشتق است و نقش آن‌ها در جداسازی بی‌هنجاری‌های ناحیه‌ای و باقی‌مانده و تخمین مرز است [Verduzco et al., 2004]. اندازه مشتق قائم در محل لبه‌های توده‌های زیرسطحی صفر است و از این خاصیت برای تخمین مرز این ساختارها استفاده می‌شود. فیلتر مشتق قائم با افزایش مرتبه مشتق مرزها و بی‌هنجاری‌ها را برجسته‌تر نشان می‌دهد؛ ولی چون در گروه فیلترهای بالاگذر جای می‌گیرد، همراه با بی‌هنجاری‌ها نویله‌های موجود در نقشه‌ها نیز برجسته می‌شود. به همین دلیل معمولاً از مشتقات مرتبه اول و دوم بیشتر استفاده می‌شود.

##### ب-محاسبه فیلتر مشتق قائم

اگرتابع  $(x,y)g$  بیانگر داده‌های میدان پتانسیل گرانی باشد، آنگاه با استفاده از خواص تابع لاپلاس می‌توان مشتق قائم داده‌های میدان پتانسیل گرانی را محاسبه کرد. بر طبق این تئوری اگر  $(x,y)g$  یک میدان پتانسیل باشد؛ آنگاه  $\nabla^2 g = 0$  بنابراین می‌توان نوشت [Verduzco et al., 2004]

$$\frac{\partial^2 g}{\partial x^2} + \frac{\partial^2 g}{\partial y^2} + \frac{\partial^2 g}{\partial z^2} = 0 \rightarrow \frac{\partial^2 g}{\partial z^2} = -\left(\frac{\partial^2 g}{\partial x^2} + \frac{\partial^2 g}{\partial y^2}\right) \quad (15-2)$$

به علاوه هنگامی که داده‌ها در یک سطح افقی برداشت شده باشند، می‌توان تابع لاپلاس را به حوزه فوريه منتقل و سپس مشتق قائم مرتبه  $n$  ام داده‌های میدان پتانسیل را نیز محاسبه کرد که هر مقدار

حقیقی می‌تواند باشد.

$$F\left[\left(\frac{\partial^n \varphi}{\partial x^n}\right)\right] = |k|^n F[\varphi] \quad (16-2)$$

در این رابطه  $k = 2\pi/\lambda$  عدد موج،  $\lambda$  طول موج و  $F$  بیانگر تبدیل فوریه می‌باشد.

### ج- سیگنال تحلیلی

سیگنال تحلیلی یا گرادیان کامل به صورت ترکیب مشتقات افقی و قائم داده‌های میدان پتانسیل تعریف می‌شود. ماکزیمم مقدار سیگنال تحلیلی بر روی لبه‌های توده قرار می‌گیرد. یکی از نکات این روش این است که مشتقات افقی و قائم یکتابع پتانسیل، تبدیل هیلبرت یکدیگر هستند. تبدیل هیلبرت دامنه تابع ورودی را بدون تغییر ولی فاز آن را به اندازه ۹۰ درجه تغییر می‌دهد. در نتیجه تبدیل هیلبرت مشتق افقی داده‌های میدان پتانسیل، مشتق قائم داده‌ها را ارائه می‌دهد [Nabighian, 1972].

[1972]

سیگنال تحلیلی تابع  $(x)g$  کمیتی مختلف است و در حالت دو بعدی به صورت زیر تعریف می‌شود :[Li, 2006]

$$A(x) = g(x) - iH[g(x)] \quad (17-2)$$

که در آن  $A(x)$  سیگنال تحلیلی و  $H[g(x)]$  تبدیل هیلبرت تابع  $(x)g$  است. تبدیل هیلبرت تابع  $(x)g$  و معکوس آن که در محاسبات مربوط به سیگنال تحلیلی نقش اساسی دارد، به صورت زیر تعریف می‌شوند [Blakely, 1995]

$$F_1(x) = -\frac{1}{\pi} \int_{-\infty}^{\infty} \frac{g(x')}{x - x'} dx' \quad (18-2)$$

$$g(x') = -\frac{1}{\pi} \int_{-\infty}^{\infty} \frac{F_1(x)}{x' - x} dx \quad (19-2)$$

تبدیل هیلبرت  $(x)g$  مشابه کانولوشن  $(x)g$  با تابع  $1/\pi x$ -است. بنابراین تبدیل هیلبرت دارای تبدیل فوریه‌ای یک بعدی است که از ضرب تبدیل فوریه  $(x)g$  در تبدیل فوریه  $1/\pi x$ -محاسبه می‌شود

: [Blakely, 1995]

$$F[F_1] = i \operatorname{sgn}(k) F[g] \quad (20-2)$$

$$\operatorname{sgn}(k) = \begin{cases} 1 & \text{for } k > 0 \\ 0 & \text{for } k = 0 \\ -1 & \text{for } k < 0 \end{cases} \quad (21-2)$$

$$F(a) = F(g)[1 + \operatorname{sgn}(k)] \quad (22-2)$$

در این رابطه  $F(a)$  تبدیل فوریه سیگنال تحلیلی و  $F(g)$  تبدیل فوریه تابع  $g(x)$  می‌باشد.

از رابطه (22-2) نتیجه‌گیری می‌شود که تبدیل هیلبرت تأثیری بر روی دامنه  $g(x)$  ندارد، اما فاز این تابع را اگر  $k > 0$  باشد، به اندازه  $\pi/2$  و در صورتی که  $k < 0$  باشد، به اندازه  $-\pi/2$ - تغییر می‌دهد.

با توجه به مطالب بالا سیگنال تحلیلی تابع به دو روش قابل محاسبه است:

الف) محاسبه تبدیل هیلبرت تابع و ترکیب با تابع مطابق با رابطه (17-2).

ب) محاسبه تبدیل فوریه تابع و سپس به ازاء  $k < 0$  تبدیل فوریه تابع دو برابر، به ازاء  $k > 0$  تبدیل فوریه مساوی با صفر و به ازاء  $k = 0$  بدون تغییر گذاشته می‌شود و در نهایت عکس تبدیل فوریه

نتایج محاسبه می‌شود . [Blakely, 1995]

مقدار بیشینه سیگنال تحلیلی نسبت به عمق بسیار حساس می‌باشد و تنها زمانی بر روی مرزهای چشمی بی‌هنجر قرار می‌گیرد که عمق آن کم باشد و هرچه عمق جسم بی‌هنجر بیشتر می‌شود از قدرت تفکیک سیگنال تحلیلی کاسته می‌شود.

#### د- تخمین عمق به روش اویلر دیکانولوشن

مهم‌ترین خصوصیتی که در بسیاری از کارهای مهندسی و اکتشافی نقشی اساسی دارد، عمق ناهنجاری‌ها است، تا جایی که در بعضی از کاوش‌ها، عمق بی‌هنجری تنها پارامتری است که در تفسیر مورد توجه قرار می‌گیرد. به همین دلیل، روش‌های بسیاری برای برآورد عمق بی‌هنجری‌های میدان

پتانسل ارائه شده است. بیشتر این روش‌ها هم برای بی‌هنجاری‌های مغناطیسی و هم برای بی‌هنجاری‌های گرانی، قابل قبول هستند.

یکی از این روش‌ها که در تخمین عمق اجسام بی‌هنجار مورد استفاده زیادی قرار می‌گیرد، روش اویلر دیکانولوشن است که یک روش تفسیر خودکار و سریع برای بررسی داده‌های میدان پتانسیل است. روش اویلر دیکانولوشن به اطلاعات اولیه درباره‌ی بردار مغناطیس شدگی و چگالی چشمehای گرانی، نیاز ندارد و مخصوص مدل‌های ویژه‌ی هم نیست؛ بنابراین در تفسیر داده‌های مغناطیسی و گرانی به کار می‌رود. استفاده از معادله‌ی اویلر برای تخمین عمق، ابتدا توسط هود<sup>۱</sup> (۱۹۶۳) معرفی شد و سپس به وسیله‌ی تامپسون<sup>۲</sup> (۱۹۸۲)، رید<sup>۳</sup> (۱۹۹۰) و دیگران توسعه یافت و اویلر دیکانولوشن نام گرفت. اساس این روش بر مبنای معادلات دیفرانسیل جزئی اویلر بنا شده و تنها برای معادلات همگن، معتبر است [FitzGerald et al., 2004]. تابع  $(v)$  با متغیرهای  $(v_1, v_2, v_3)$  زمانی همگن از درجه‌ی  $n$  است، که در آن شرط زیر صادق باشد:

$$g(tV) = t^n g(V) \quad (23-2)$$

که در آن  $n$ ، یک عدد حقیقی است. اگر تابع  $g$  نسبت به  $v$  مشتق پذیر باشد، آنگاه می‌توان نوشت:

$$v \nabla_v g(V) = n g(V) \quad (24-2)$$

رابطه‌ی بالا معادله اویلر نامیده می‌شود و تابع  $g$  به صورت  $(x, y, z)$  در نظر گرفته می‌شود، در نتیجه می‌توان روابط (۲۳-۲) و (۲۴-۲) را بصورت زیر بازنویسی کرد:

$$g(tx, ty, tz) = t^n g(x, y, z) \quad (25-2)$$

<sup>1</sup> Hood

<sup>2</sup> Thompson

<sup>3</sup> Reid

$$x \frac{\partial g}{\partial x} + y \frac{\partial g}{\partial y} + z \frac{\partial g}{\partial z} = ng \quad (26-2)$$

اثر گرانی یا مغناطیسی اشکال مختلف هندسی به صورت کلی زیر قابل بیان است:

$$g = \frac{a}{r^N} \quad (27-2)$$

از این رابطه، نتیجه گرفته می‌شود که تابع میدان گرانی و مغناطیسی یک تابع همگن از درجه‌ی  $N$  هستند. با توجه به شرایط هندسی چشم‌های پتانسیل، می‌توان  $N$  را تغییر داد.

تمامپسون (۱۹۸۲) نشان داد که می‌توان معادله‌ی اویلر را به صورت رابطه‌ی زیر نوشت:

$$(x - x_0) \frac{\partial g}{\partial x} + (y - y_0) \frac{\partial g}{\partial y} + (z - z_0) \frac{\partial g}{\partial z} = N(B - g) \quad (28-2)$$

که در آن  $(x_0, y_0, z_0)$  موقعیت چشم‌های پتانسیل و  $(x, y, z)$ ، مختصات نقطه‌ای است که چشم‌های پتانسیل در آن باعث ایجاد بی‌هنجری میدان کل  $g$  شده است. میدان کل را می‌توان به صورت مجموع یک میدان ناحیه‌ای (زمینه، سطح پایه‌ی بی‌هنجری) و میدان مربوط به چشم‌های پتانسیل نشان داد [Durrheim and Cooper, 1998]. میدان ناحیه‌ای در رابطه‌ی (۲۸-۲) با  $B$  نشان داده شده و به جمله‌ی متعادل کننده معروف است.

$$x_0 \frac{\partial g}{\partial x} + y_0 \frac{\partial g}{\partial y} + z_0 \frac{\partial g}{\partial z} + NB = x \frac{\partial g}{\partial x} + y \frac{\partial g}{\partial y} + z \frac{\partial g}{\partial z} + Ng \quad (29-2)$$

$$g(x) = A(x) + B(x) \quad (30-2)$$

مطابق روابط (۲۸-۲) و (۲۹-۲) می‌توان نوشت که هرگاه در معادلات، جمله‌ی میدان ناحیه‌ای وجود داشته باشد،  $g$  مربوط به میدان کل است. در حالی که وقتی میدان ناحیه‌ای، صفر باشد،  $g$  مربوط به میدان تولید شده توسط چشم‌ه است.

پارامتر  $N$  که به طبیعت و هندسه‌ی چشم‌های پتانسیل وابسته است، شاخص ساختاری (SI) نامیده می‌شود. شاخص ساختاری، هندسه‌ی چشم‌ه، شکل، اندازه و موقعیت آن را در بر می‌گیرد. رید

(۱۹۹۰) شاخص ساختاری را نرخ کاهش میدان پتانسیل نسبت به افزایش فاصله از چشم‌هی سبب شونده، تعریف کرده است. تامپسون (۱۹۸۲)، نرخ کاهش را مناسب با  $N^1/r$  می‌داند که در آن فاصله‌ی بین نقطه‌ی مرزی چشم‌هی و نقطه‌ی مشاهده است.

در معادله‌ی (۲۸-۲) موقعیت چشم‌هی ( $x_0, y_0, z_0$ ) و مقدار میدان ناحیه‌ای (B) مجھول است. از آنجا که گرادیان‌های میدان کل (به خصوص در درجات بالا) اندازه‌گیری نمی‌شوند، آنها را به روش‌های مختلف عددی محاسبه می‌کنند. از این روش‌ها می‌توان به فرمول پنج نقطه‌ای مشتق لاغرانژ برای محاسبه‌ی گرادیان افقی و تبدیل هیلبرت برای محاسبه‌ی گرادیان قائم اشاره کرد [Cooper, 2006]. برای تعیین چهار مجھول B و  $x_0, y_0, z_0$  ابتدا یک پنجره با پهنه‌ای مناسب انتخاب می‌شود. پنجره‌ی مذکور روی داده‌ای دو بعدی یا سه بعدی به حرکت در می‌آید و در هر پنجره، معادله‌ی اویلر با استفاده از داده‌های درون پنجره حل می‌شود. اگر فرض شود در هر پنجره، n داده وجود دارد، می‌توان رابطه (۲۹-۲) را در هر پنجره به صورت زیر نوشت:

$$\begin{bmatrix} \frac{\partial g}{\partial x_1} & \frac{\partial g}{\partial y_1} & \frac{\partial g}{\partial z_1} & N \\ \vdots & \vdots & \vdots & \vdots \\ \frac{\partial g}{\partial x_n} & \frac{\partial g}{\partial y_n} & \frac{\partial g}{\partial z_n} & N \end{bmatrix} \begin{bmatrix} x_0 \\ y_0 \\ z_0 \\ B \end{bmatrix} = \begin{bmatrix} x_1 \frac{\partial g}{\partial x_1} + y_1 \frac{\partial g}{\partial y_1} + z_1 \frac{\partial g}{\partial z_1} + Ng_1 \\ \vdots \\ x_n \frac{\partial g}{\partial x_n} + y_n \frac{\partial g}{\partial y_n} + z_n \frac{\partial g}{\partial z_n} + Ng_1 \end{bmatrix} \quad (۳۱-۲)$$

معادله‌ی ماتریسی بالا در هر پنجره به روش کمترین مربعات حل می‌شود و مقادیر مجھول به دست می‌آیند. در واقع بدین ترتیب اویلر دیکانولوشن به صورت یک وارون‌سازی خطی، اجرا می‌شود.

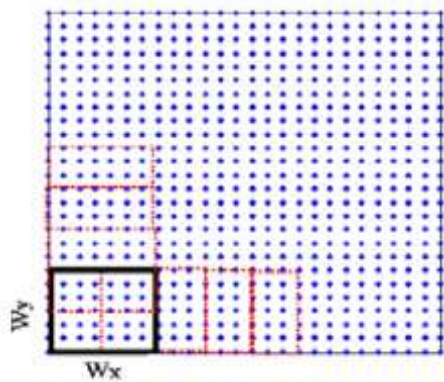
## ۵- انتخاب ابعاد پنجره

معادله‌ی اویلر با داشتن داده‌ها و گرادیان‌های میدان کل در سه نقطه، قابل حل است. اما به دلیل وجود نویه در داده‌های واقعی و امکان به وجود آمدن خطای زیاد در نتایج، این معادله را با استفاده از تعداد نقاط بیشتر حل می‌کنند [Durrheim and Cooper, 1998].

بعاد پنجره‌ی مورد استفاده، تاثیر مهمی روی نتایج حاصل از اویلر دیکانولوشن دارد. ابعاد پنجره، تابع عمق چشم‌هی است. ابعاد پنجره بزرگ‌تر از نصف گسترش بی‌هنجاری در نظر گرفته می‌شود

[FitzGerald et al., 2004] در حالتی که از شبکه استفاده می‌گردد، حداقل عمق، به وسیله‌ی ابعاد پنجره‌ای معادل با فاصله‌ی شبکه‌بندی و حداقل عمق، توسط ابعاد پنجره‌ای برابر با دو برابر فاصله‌ی شبکه‌بندی به دست می‌آید. معمولاً با استفاده از ابعاد پنجره‌ی بزرگ، امکان ورود نوفه تصادفی به درون نتایج کاهش می‌یابد و خطای برآورد مشخصات چشم می‌شود. همچنین پنجره‌ی بزرگ، احتمال کشف چشم‌های عمیق را بیشتر می‌کند؛ چون توده‌های عمیق، بی‌هنجاری‌های وسیع‌تری را ایجاد می‌کنند.

به دلیل اینکه بی‌هنجاری تولید شده توسط چشم‌های گرانی، وسیع‌تر از بی‌هنجاری ایجاد شده به وسیله‌ی چشم‌های مغناطیسی است، ابعاد پنجره‌ی مناسب برای کشف چشم‌های گرانی عمیق، بزرگ‌تر از ابعاد پنجره‌ی مناسب برای چشم‌های عمیق مغناطیسی می‌باشد. قابل ذکر است که برای داده‌های قدرت تفکیک بالا، نتایج بهتر با پنجره‌های کوچک‌تر به دست می‌آیند [FitzGerald et al., 2004].



شکل ۳-۲: نحوه‌ی حرکت پنجره روی داده‌های شبکه. نقاط آبی بیانگر داده‌ها و جایگایی پنجره در هر بار به اندازه نصف طول و عرض آن (علمدار، ۱۳۸۸).

ابعاد پنجره مورد استفاده تأثیر مهمی بر روی نتایج حاصله دارد و معمولاً گفته می‌شود که باید ابعاد بهینه پنجره مورد استفاده قرار گیرد. اویلدیکانولوشن بر این فرض استوار است که در هر پنجره، تنها داده‌های مربوط به یک بی‌هنجاری وجود دارد. بنابراین هنگام استفاده از پنجره‌های بزرگ باید توجه داشت که داده‌های بی‌هنجاری‌های هم‌جوار درون یک پنجره قرار نگیرند؛ چون در این صورت، نتایج

به دست آمده، غیرقابل قبول خواهند بود. برخی پژوهشگران معتقدند که اندازه‌ی پنجره، باید بیشتر از عمق مورد بررسی و همچنین در پنجره مورد نظر باید تعداد کافی از نقاط مشاهده‌ای قرار گیرد. معمولاً اندازه‌ی پنجره به صورت تجربی و با توجه به کیفیت نتایج، انتخاب می‌شود.[\[Stavrev, 1997\]](#) هنگام بررسی چشممه‌های کم‌عمق نیز باید دقیق کرد که ابعاد پنجره، به حدی کم نباشد که مقدار داده‌ها و گرادیان میدان کل محاط در پنجره، تغییرات محسوسی نداشته باشد.

## و- انتخاب شاخص ساختاری

هنگام استفاده از روش اویلر دیکانولوشن، اساسی‌ترین عامل، انتخاب شاخص ساختاری مناسب است. همان‌طور که قبل‌ا ذکر شد، شاخص ساختاری به طبیعت و هندسه‌ی چشممه‌ی تولیدکننده‌ی بی-هنجاری وابسته است. بنابراین یکی از مشکلات غیرقابل اغماض روش مذکور، نیاز به اطلاعات قبلی درباره‌ی طبیعت و شکل توده‌ی تولیدکننده بی‌هنجاری است. جدول ۱-۲ شاخص ساختاری بعضی از مدل‌های ساده زمین‌شناسی برای داده‌های گرانی را نشان می‌دهد.

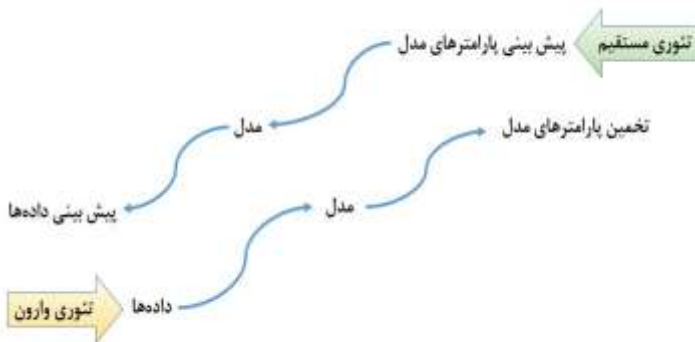
جدول ۱-۲: تعیین شاخص ساختاری معادله اویلر برای مدل‌های ساده [\[Reid et al., 1990\]](#)

کره	لوله	(Ribbon) نواری	سیل/دایک/اکنتاکت	مدل گرانی
۲	۱	۰/۵	۰	شاخص ساختاری

پس از انجام پردازش‌های لازم، همواره ارائه یک مدل از ساختار زیرسطحی که خصوصیات هندسی و فیزیکی آن را بیان می‌کند، در تعیین و تفسیر بهتر بی‌هنجاری می‌تواند مفید واقع گردد، که این گام جزو آخرین مرحله پردازشی در عملیات گرانی‌سنگی می‌باشد. جهت انجام وارون‌سازی نیاز به تولید مدل اولیه‌ای از ساختار زیرسطحی می‌باشد که در مسیر وارون‌سازی بینه شده و مدل نهایی به دست می‌آید. در اغلب مسایل وارون‌سازی برای تولید بی‌هنجاری گرانی ناشی از مدل‌های پیچیده با اشکال نامنظم از روش تالوانی استفاده شده که با نوشتن برنامه‌های رایانه‌ای و با تعیین مشخصات هر مدل، مقدار اثر گرانی آنها محاسبه می‌شود.

## ۶-۲ مقدمه‌ای بر مسائل وارون و مستقیم در ژئوفیزیک

اگر نظریه فیزیکی، شامل پارامترهای فیزیکی برای توصیف یک سیستم تحت مطالعه باشد، تئوری وارون در مورد قوانین کمی به جهت مقایسه بین پارامترهای پیش‌بینی شده و مشاهدهای آن سیستم صحبت می‌کند [Tarantola, 2005]. تئوری وارون محدود به مشاهدات (اندازه‌گیری‌ها یا داده‌ها) و سوالاتی است که می‌تواند به صورت عددی بیان گردد. در تئوری وارون پارامترهای مدل به صورت مقادیر عددی یا آماری بوده که خصوصیات هندسی و فیزیکی مدل را معین می‌کنند که برای ارتباط دادن پارامترهای مدل به داده‌ها، متدهای بخصوصی وجود دارد [Menke, 2012]. عبارت تئوری وارون در مقابل تئوری مستقیم به کار می‌رود. تئوری مستقیم روند پیش‌بینی نتایج اندازه‌گیری‌ها (پیش‌بینی داده‌ها) بر اساس بسیاری از اصول عمومی اثبات شده و یک مدل و دسته‌ای از شرایط خاص مربوط به مساله مورد مطالعه است. مساله وارون با استفاده از مجموعه‌ای از داده‌ها و یک مدل بر اساس اصول منطقی پذیرفته شده به تخمینی از پارامترهای مدل می‌پردازد که به طور خلاصه می‌توان گفت:



شکل ۶-۲: فرم کلی مسایل مستقیم و وارون [Menke, 2012]

از مسائل وارون در بسیار از شاخه‌های علوم مانند پرتونگاری پزشکی، برآش منحنی، بهینه‌سازی تصویر، محل زلزله، تعیین ساختارهای زمین‌شناسی با استفاده از داده‌های ژئوفیزیکی و مکان‌یابی و هدایت ماهواره استفاده می‌شود [Menke, 2012]

## ۷-۲ فرمول بندی مسائل وارون

گام اول در اکثر مسائل وارون، توصیفی از فضای داده‌هاست. از این رو در بسیاری از مسائل وارون داده‌ها به صورت مجموعه‌ای از مقادیر عددی، که عناصر یک بردار را تشکیل می‌دهند، نشان داده می‌شوند. اگر  $N$  اندازه‌گیری در آزمایش بخصوصی انجام گیرد، این اعداد به صورت عناصری از بردار  $d$  به طول  $N$  مشخص می‌شوند. بطور مشابه پارامترهای مدل نیز به صورت عناصری از بردار  $m$  با طول  $M$  بیان می‌شوند.

$$d = [d_1, d_2, d_3, d_4, \dots, d_N]^T \quad (32-2)$$

$$m = [m_1, m_2, m_3, m_4, \dots, m_M]^T \quad (33-2)$$

که نماد  $T$  بیانگر ترانهاده<sup>۱</sup> است. در مساله‌ی وارون اساس کار پیدا کردن رابطه‌ای بین پارامترهای مدل (ناشناخته) و داده‌ها می‌باشد. این رابطه را مدل کمی (که به اختصار مدل و یا تئوری) می‌گویند که شامل یک یا چند رابطه بوده که انتظار می‌رود داده‌ها و پارامترهای مدل از آن پیروی کنند

.[Menke, 2012]

به عنوان مثال، تلاش بر این است که چگالی یک جسم (مثلًا سنگ) بوسیله حجم و جرم آن محاسبه شود، در نتیجه تعداد  $N=2$  داده جرم و حجم (به ترتیب  $d_1$  و  $d_2$ ) و  $M=1$  پارامتر ناشناخته چگالی ( $m_1$ ) می‌باشند. چگالی‌های مختلفی با برابر قراردادن جرم در برابر حجم برای مدل طبق رابطه  $d_2 m_1 = d_1$  می‌تواند به دست آید. بایستی توجه داشت که پارامترهای مدل، چگالی، به دلیل آنکه یک خاصیت ذاتی از ماده که وابسته شیمی آن است ارائه می‌دهند، از جرم و حجم آن ماده با اهمیت‌تر می‌باشند. داده‌ها (حجم و حجم) به راحتی اندازه‌گیری می‌شوند اما چون وابسته با اندازه جسم مورد نظر (بطور اتفاقی تعیین می‌شود) هستند، آنچنان بنیادی نخواهند بود .[Menke, 2012]

<sup>۱</sup>Transpose

در واقعیت و بطور کلی، داده‌ها و پارامترهای مدل بر طبق یک یا چند رابطه ضمنی بسیار پیچیده با هم مرتبط می‌باشند، رابطه (۳۴-۲):

$$f_1(d, m) = 0 \quad (34-2)$$

$$f_2(d, m) = 0$$

.

.

$$f_L(d, m) = 0$$

که  $L$  بیانگر تعداد معادلات است. در مثال ذکر شده (اندازه‌گیری چگالی)،  $L=1$  و  $d_2m_1 - d_1 = 0$  می‌توان یک معادله از حالت  $f_1(d, m) = 0$  تشکیل داد. این معادلات ضمنی را می‌توان به صورت خلاصه با معادله برداری  $\mathbf{f}(d, m) = 0$  نشان داد. یکی از هدفهای تئوری وارون حل و یا وارون‌سازی این معادلات برای بدست آوردن انواع جواب‌های ممکن و مطلوب با توجه به شرایط خاص یک مساله است. به طور کلی  $\mathbf{f}(d, m) = 0$  می‌تواند شامل نوعی پیچیده و غیرخطی از داده‌ها و پارامترهای مدل باشد.

به طور کلی مسائل وارون به دو دسته‌ی مسائل وارون خطی و مسائل وارون غیرخطی تقسیم می‌شوند. در مسائل وارون خطی ارتباط بین پارامترهای مدل و داده‌ها خطی است، درحالی که در مسائل وارون غیرخطی این ارتباط به صورت خطی نبوده اما می‌توان با استفاده از روش‌های همچون گرادیان، بسط تیلور و ... به فرم معادلات خطی تبدیل کرد.

## ۸-۲ پتانسیل گرانشی<sup>۱</sup> اساس مسائل وارون گرانشی سنجی

شتاب جاذبه یک میدان پایسته است در نتیجه می‌توان برای یک پخش سه‌بعدی با چگالی ( $r$ ) روابط زیر را در مورد آن نوشت [Blakely, 1995]:

---

<sup>۱</sup> Gravitational potential or Newtonian potential

$$\nabla \times g = 0 \quad \text{و} \quad \nabla \cdot g = -4\pi\rho G g = \nabla \cdot u \quad (35-2)$$

در نتیجه می‌توان پتانسیل گرانی  $U$  را بر این اساس بیان کرد [Blakely, 1995]

$$\vec{g} = \vec{\nabla} U \quad (36-2)$$

که در معادله پواسون به صورت زیر صدق می‌کند [Blakely, 1995]

$$\nabla^2 U = -4\pi\rho G \quad (37-2)$$

با توجه به این معادله، میدان پتانسیل گرانی ناشی از یک توزیع جرم در خارج از آن در معادله لاپلاس

صدق می‌کند [Blakely, 1995]

$$\nabla^2 U = 0 \quad (38-2)$$

در نتیجه می‌توان حل معادله پواسون را به شکل انتگرال حجمی بیان نمود [Blakely, 1995]

$$U(r') = G \iiint_D \frac{\rho(r)}{|r - r'|} dv \quad (39-2)$$

که در آن  $D$  محدوده مرکز جرمی می‌باشد. از آنجا که :

$$\nabla' \frac{1}{|r - r'|} = \frac{r - r'}{|r - r'|^3} \quad (40-2)$$

می‌توان عبارت مربوط به میدان گرانی ناشی از هر توزیع جرمی در محدوده حجمی  $D$  در نقطه  $r'$

به شکل زیر محاسبه کرد [Blakely, 1995]

$$g(r') = A^s(\rho) = G \iiint_D \rho(r) \frac{r - r'}{|r - r'|^3} dv \quad (41-2)$$

در این رابطه (41-2)  $A^s(\rho)$  عملگر مستقیم در مسائل گرانی نام دارد. در نتیجه می‌توان مولفه قائم

میدان گرانی را به صورت زیر بازنویسی کرد [Blakely, 1995]

$$g_z(r') = G \iiint_D \rho(r) \frac{z - z'}{|r - r'|^3} dv \quad (42-2)$$

با توجه به مبنای روش گرانی‌سنگی که در آن اختلاف تباين‌های چگالی بی‌هنجر  $\Delta g$  مورد نظر

است، اندازه گرانی این بی‌هنجری  $\Delta g$  از طریق رابطه زیر محاسبه می‌شود [Blakely, 1995]

$$\Delta g(r') = A^g(\Delta \rho) = G \iiint_D \Delta \rho(r) \frac{r - r'}{|r - r'|^3} dv \quad (43-2)$$

بنابراین اساس مساله مستقیم در میدان گرانی شامل حل انتگرال بالا بر روی محدوده  $D$  می‌باشد که

توسط جرم بی‌هنجر پر شده است:

$$\Delta g(r') = A^g(\Delta \rho) \quad (44-2)$$

در مسائل وارون هدف به دست آوردن توزیع چگالی بی‌هنجر  $\Delta$  در داخل زمین از طریق داده‌های

مشاهده‌ای  $\Delta g$  می‌باشد که رابطه آن به صورت زیر بیان می‌شود:

$$\Delta \rho = (A^g)^{-1} \Delta g \quad (45-2)$$

در این رابطه پارامتر  $(A^g)^{-1}$  عملگر مساله وارون در گرانی‌سنگی نامیده می‌شود.

با محاسبه توزیع چگالی از اندازه‌گیری‌های میکروگرانی با دقت بالا و ارائه یک مدل مناسب می‌توان

اطلاعات بسیار خوبی پیرامون ساختارهای نزدیک به سطح به دست آورد.

## ۹-۲ مسائل وارون خطی

ساده‌ترین مسائل وارون شامل مسائلی است که می‌توان با مجموعه‌ای از معادلات خطی به صورت

$Gm = d$  بیان کرد. بنابراین این معادله فرمی ازتابع معادله نظری وارون گسسته است. بسیاری از

مسائل وارون مهم در علوم فیزیکی با این معادلات توصیف می‌شوند. در موارد دیگر وقتی که مساله در

برگیرنده بسیاری از معادلات پیچیده و غیرخطی است، می‌توان با استفاده از تقریب‌های مختلف آن را

خطی کرده و حل نمود.

در این معادلات  $G$  ماتریس کرنل داده‌ها<sup>۱</sup> یا مشخصه مدل است. در تئوری وارون پیوسته<sup>۲</sup>، داده‌ها به

صورت گسسته و توابع مدل به فرم پیوسته می‌باشند. در تئوری معادلات انتگرالی<sup>۳</sup> داده‌ها و

پارامترهای مدل هر دو بوسیله تابع پیوسته  $d(x)$  و  $m(x)$  نشان داده می‌شود که  $x$  نماد متغیرهای

<sup>1</sup>Data kernel

<sup>2</sup>Continuous inverse theory

<sup>3</sup>Theory of integral equations

مستقل مدل است [Menke, 2012]

تئوری وارون گسسته:

$$d_i = \sum_{j=1}^M G_{ij} m_j \quad (46-2)$$

تئوری وارون پیوسته:

$$d_i = \int G_i(x) m(x) dx \quad (47-2)$$

تئوری معادلات انتگرالی:

$$d(y) = \int G(y, x) m(x) dx \quad (48-2)$$

همواره مدل مورد نظر برای پارامترهای  $m$  و داده‌های  $d$ ، مانند توابع پیوسته و یا پارامترهای گسسته رفتار نمی‌کند که این مساله از اختلاف‌های اساسی بین نظریه وارون گسسته، نظریه وارون پیوسته و نظریه معادله انتگرالی می‌باشد. به همین دلیل داده‌های  $d_i$  در تئوری وارون لزوماً گسسته می‌باشند. از این‌رو تئوری وارون با نتایجی از اطلاعات داده‌های مشاهده‌ای مرتبط است که همیشه دارای طبیعتی

گسسته هستند [Menke, 2012]

در بعضی از کاربردهای ژئوفیزیکی، مسائل وارون تنها بر اساس منشأهای میدان مشاهده‌ای فرمول-بندی می‌گردند. این گونه مسائل با نام مسائل وارون منشاء عنوان می‌گردند که در این موارد پارامترهای مدل (خصوصیات فیزیکی محیط) دانسته فرض می‌شود. مثال بارز این گونه روش، یافتن توزیع چگالی سنگ یا ساختار مورد نظر به عنوان منشاء بی‌هنجاری در میدان گرانی می‌باشد.

## ۱۰-۲ مسائل وارون گسسته خطی

شکل کلی مسائل وارون به صورت زیر بیان می‌شود:

$$d = G(m) \quad (49-2)$$

که در آن  $m$  معرف پارامترهای مدل،  $d$  داده‌های اندازه‌گیری شده و  $G$  معادلاتی برای ارتباط بین پارامترهای مدل و داده‌ها می‌باشد. همچنین فرض می‌گردد که  $N$  اندازه‌گیری ژئوفیزیکی در مساله

مورد نظر وجود داشته باشد بتوان با آنها مانند اعضای بردار  $N$  مولفه  $d$  رفتار کرد. به طور مشابه، پارامترهای مدل نیز می‌توانند به صورت اعضای یک بردار مانند  $m$  با ابعاد  $M$  محسوب شوند:

$$d = [d_1 d_2 d_3 \dots d_N]^T \quad (50-2)$$

$$m = [m_1 m_2 m_3 \dots m_M]^T \quad (51-2)$$

که در آنها  $T$ ، ترانهاده هر یک از این دو بردار می‌باشد. شکل ماتریسی عملگر خطی  $G$  را می‌توان بصورت زیر نوشت:

$$d = Gm \quad (52-2)$$

که در آن  $G$  ماتریس  $N \times M$  برای عملگر خطی  $G$  در معادله  $d = G(m)$  می‌باشد. این رابطه معرف سیستمی از  $N$  معادله خطی نسبت به  $M$  پارامتر مجھول  $m_1 m_2 m_3 \dots m_M$  است که به شکل فرم گسسته رابطه (۴۶-۲) بیان می‌شود. بنابراین حل مساله وارون (۵۲-۲) معادل حل دستهای از روابط خطی نسبت به پارامترهای مجھول  $m_1 m_2 m_3 \dots m_M$  می‌باشد. اگر در سیستم معادله (۴۶-۲)،  $M < N$  باشد، رابطه فروبرآوردنامیده می‌شود که در این حالت تعداد داده‌ها از تعداد پارامترهای مجھول کمتر است. در صورتیکه  $N < M$  باشد (تعداد داده‌ها از تعداد پارامترهای مدل بیشتر باشد)، این سیستم فرابراورده محسوب می‌گردد [Menke, 2012]. در مسائل وارون داده‌های گرانی سیستم معادلات فرابراورده محسوب می‌شود. زیرا در یک نقطه برداشت، تنها با یک داده می‌بایست پارامترهایی مدل نظری عمیق، چگالی، هندسه و ... را تعیین نمود ( $M < N$ ).

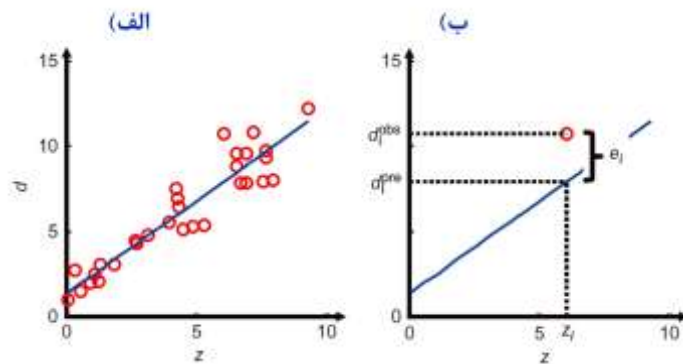
## ۱۱-۲ تخمین‌های اندازه بردار خط

برای بررسی و ارتباط اندازه بردار خط در حل مسائل وارون، یک مسئله ساده از برآش خط مستقیم بر داده‌ها در نظر گرفته می‌شود. این مساله غالباً با روش کمترین مربعات<sup>۱</sup> (LS) حل می‌شود. در این

<sup>۱</sup> Least - squares

روش سعی می‌شود پارامترهای مدل (عرض از مبدأ و شیب) طوری انتخاب شوند که داده‌های پیش-بینی شده ( $d_i^{pre}$ ) تا حد امکان به داده‌های مشاهدهای ( $d_i^{obs}$ ) نزدیک شود. برای هر مشاهده یک خطای پیش‌بینی یا عدم برازش<sup>۱</sup> تعریف می‌شود [Menke, 2012]

$$e_i = d_i^{pre} - d_i^{obs} \quad (53-2)$$



شکل ۲-۵: (الف) برازش کمترین مربعات یک خط راست به جفت‌های  $(z, d)$ . (ب) خطای  $e_i$  برای هر مشاهده برابر اختلاف بین داده مشاهده شده و پیش‌بینی شده است [Menke, 2012]  $e_i = d_i^{pre} - d_i^{obs}$

بهترین خط برازش داده شده خطی است که پارامترهای مدل آن دارای کمترین خطای کل ( $E$ ) باشند که به صورت زیر تعریف می‌شود:

$$E = \sum_{i=1}^N e_i^2 \quad (54-2)$$

خطای کل (مجموع مربعات خطاهای منفرد<sup>۲</sup>) دقیقاً برابر مربع طول‌های هندسی از  $E = \sum_{i=1}^N e_i^2$  بردار  $e$  یا  $E = e^T e$  است.

روش تخمین کمترین مربعات، پارامترهای مدلی که اندازه طول کمینه‌ای نسبت به داده‌های تخمین زده شده ( $d^{est}$ ) دارند (فاصله هندسی مشاهدات) را به عنوان راه حل‌هایی برای مساله وارون بیان

<sup>۱</sup> misfit  
<sup>۲</sup> individual

می‌کند.

## ۱۲-۲ معیارهای اندازه‌گیری‌های طول

راه دیگر برای محاسبه مقدار طول می‌تواند جمع کردن قدرمطلق مقادیر عناصر یک بردار با یکدیگر باشد. عبارت نرم<sup>۱</sup> برای ارجاع به اندازه‌ای از طول به کار می‌رود ( $\|e\|$  نرم بردار  $e$  است). اغلب نرم‌های به کار گرفته شده بر اساس مجموع توان عناصری از بردار بوده که  $L_n$  (برابر توان) نام‌گذاری شده است [Menke, 2012].

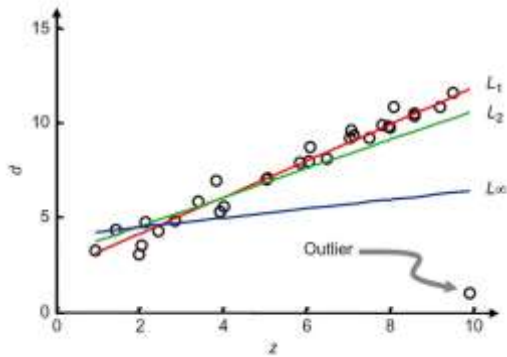
$$\begin{aligned} L_1 norm: \|e\|_1 &= \left[ \sum_i |e_i|^1 \right] && (55-2) \\ L_2 norm: \|e\|_2 &= \left[ \sum_i |e_i|^2 \right]^{1/2} \\ . \\ . \\ . \\ L_n norm: \|e\|_n &= \left[ \sum_i |e_i|^n \right]^{1/n} \end{aligned}$$

نرم‌های مرتبه بالا بزرگترین وزن را به بزرگترین مولفه از  $e$  اختصاص می‌دهد.

روش کمترین مربعات از نرم  $L_2$  برای محاسبه طول استفاده می‌کند که در آن وزن داده‌هایی که به روند میانگین<sup>۲</sup> نزدیک است، انتخاب می‌گردد (شکل ۶-۲). اگر داده‌ها خیلی دقیق باشند، آن پیش-بینی‌ای که به مقدار مشاهده‌ای نزدیک باشد، اهمیت بیشتری خواهد داشت. از نرم‌های مرتبه بالا در زمان وزن‌دهی بیشتر به خطاهای بالاتر استفاده می‌شود. از طرف دیگر اگر داده‌ها به صورت گستردگی پراکنده باشند، روندی با کمترین خطای پیش‌بینی وجود نخواهد داشت. استفاده از نرم مرتبه پایین به خطاهای با اندازه‌های مختلف وزن‌های یکسانی می‌دهد [Menke, 2012].

<sup>۱</sup> Norm

<sup>۲</sup> Average trend



شکل ۲-۶: خط راست برآورده شده به جفت های  $(z, d)$  که خط احتیاط نرم های  $L_1$ ,  $L_2$  و  $L_\infty$  اندازه گیری شده است. نرم  $L_1$  کمترین وزن را به نقطه بیرونی می دهد. [Menke, 2012]

## ۲-۱۳ راه حل کمترین مربعات برای مسائل وارون خطی

روش کمترین مربعات می تواند برای مسائل وارون خطی با رفتاری بسیار ساده گسترش یابد. با درنظر گرفتن پارامترهای  $m_q$  و محاسبه مشتقهای خطا و با قرار دادن نتایج برابر صفر، حل مساله حاصل می-

: [Menke, 2012] شود

$$E = e^T e = (d - Gm)^T (d - Gm) = \sum_i^N \left[ d_i - \sum_j^M G_{ij} m_j \right]^2 \quad (56-2)$$

فرم ساده شده رابطه:

$$E = \sum_j^M \sum_k^M m_j m_k \sum_i^N G_{ij} G_{ik} - 2 \sum_j^M m_j \sum_i^N G_{ij} d_i + \sum_i^N d_i d_i \quad (57-2)$$

مشتقهای  $\frac{\partial E}{\partial m_q}$  را مساوی با صفر قرار داده می شود:

$$\frac{\partial E}{\partial m_q} = 0 = 2 \sum_k^m m_k \sum_i^N G_{iq} G_{ik} - 2 \sum_i^N G_{iq} d_i \quad (58-2)$$

در نهایت معادله اخیر به صورت ماتریسی به صورت زیر نوشته می شود:

$$G^T G m - G^T d = 0 \quad (59-2)$$

کمیت  $G^T d$  یک ماتریس  $M \times M$  که حاصل ضرب یک بردار  $m$  با طول  $M$  و کمیت  $G^T G$  یک بردار با طول  $M$  است. بنابراین معادله به صورت یک ماتریس مربعی برای پارامترهای مدل مجهول

نوشته شد. با فرض وجود  $[G^T G]^{-1}$ , راه حل کمترین مربعات برای مساله وارون  $Gm=d$  به دست می-

آید [Menke, 2012]

$$m^{est} = [G^T G]^{-1} G^T d \quad (60-2)$$

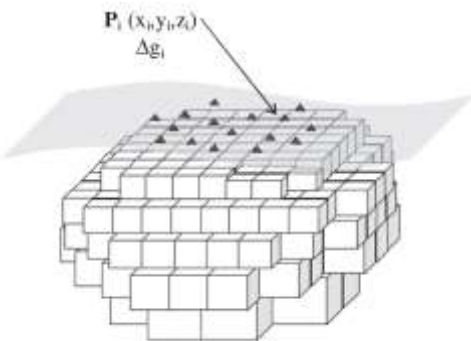
## ۱۴-۲ وارون‌سازی سه بعدی خطی به روش کاماچو

در روش کاماچو سطح زیرزمین به  $M$  سلول متوازی السطوح تقسیم‌بندی می‌شود. به هر کدام از این سلول‌ها طی فرآیند "رشد"<sup>۱</sup> و با توجه به داده‌های اندازه‌گیری شده، یک مقدار چگالی تخصیص می‌یابد. در این روش شبکه برداشت داده‌های مشاهده‌ای می‌تواند یک شبکه منظم و یا نامنظم باشد. همچنین تباین چگالی مثبت و منفی و یک مقدار روند منطقه‌ای به طور همزمان در فرآیند رشد محاسبه و به دست می‌آیند که از مزایای استفاده از این روش است. همچنین در این روش از ماتریس ژاکوبین و معکوس‌سازی ماتریس‌ها استفاده نمی‌شود.

اطلاعات پایه‌ای و اساسی این روش که ابتدا در سال‌های ۲۰۰۰ تا ۲۰۰۲ توسط کاماچو و همکاران ارائه و سپس به وسیله افراد دیگری مانند گاتسمن (۲۰۰۸) استفاده و توسعه داده شد. کاماچو و همکاران (۲۰۱۱) حالت انتخاب دستی و یا خودکار پارامترهای اصلی این روش را تعریف و روابط آن را بهبود بخشیدند که در ادامه این روش توضیح داده می‌شود. در این روش تعداد  $n$  داده گرانی در یک شبکه نامنظم (یا منظم) منظور می‌شود که  $(x_i, y_i)$  و  $i=1, \dots, n$  مختصات سطحی (مختصات  $P_i$  و  $g_i$ ) ارتفاع‌های ایستگاه‌های گرانی و  $\Delta g_i$  داده‌های گرانی مربوطه می‌باشند.

---

<sup>1</sup>Growth



شکل ۷-۲: نمایی از سلول بندی و محاسبه اثر گرانی هر سلول در سطح زمین [Camacho et al., 2011] عدم قطعیت گوسی داده‌ها با استفاده از ماتریس کواریانس ( $n, n$ )،  $Q_D$  [Trantola, 2005] جایی که معمولاً عناصر  $q_{ij} = 0$  برای  $j \neq i$  و  $q_{ii} = e_i^2$  برای  $i = 1, \dots, n$ , به عنوان انحراف استاندارد مقادیر گرانی هستند، تعیین می‌شود. برای انجام مدل سازی، فضای زیرسطحی موجود در یک محدوده به  $m$  شبکه سلولی سه‌بعدی تقسیم‌بندی می‌شود که با تباين‌های چگالی  $\Delta\rho_0^+$  و  $\Delta\rho_0^-$  (مقادیر یکتا برای مدل نهايی و يا مقادير محلی بر طبق يك معيار خاص) در طول مدل‌سازی تكميل می‌شوند. رابطه وابسته به داده‌های اندازه‌گيري شده ( $\Delta g_i$ ) در  $n$  ايستگاه ( $x_i, y_i, z_i$ ) با پارامترهای مدل‌سازی و مقادیر باقی-مانده  $v_i$  از رابطه (۶۱-۲) محاسبه می‌شود:

$$\Delta g_i = \sum_{j \in J^+} a_{ij} \Delta\rho_j^+ + \sum_{j \in J^-} a_{ij} \Delta\rho_j^- + \delta g_{reg} + \delta g_{top} \quad (61-2)$$

$$i = 1, \dots, n,$$

كه در آن  $a_{ij}$  جاذبه گرانی قائم سلول متوازي السطوح پايه انتخاب شده زام، ( $j = 1, \dots, m$ ) با چگالی واحد در ايستگاه مشاهده‌ای نام طبق رابطه (۶۲-۲) [Pick et al., 1973]  $\Delta\rho_0^+, \Delta\rho_0^-$  تباين‌های چگالی تعیین شده برای سلول زام؛  $J^+$  شاخص‌هایی برای پر کردن سلول‌ها با تباين‌های چگالی مثبت و منفی که هندسه توده بی‌هنجری را با يك رابطه غيرخطی بيان می‌کند؛  $\delta g_{reg}$  رابطه تصحيح توپوگرافی اضافی) می‌باشند.

$$a_{ij} = -G [ \ln(y + (x^2 + y^2 + z^2)^{1/2}) + \ln(x + (x^2 + y^2 + z^2)^{1/2}) + z \arctan(z(x^2 + y^2 + z^2)^{1/2}) x^{-1} y^{-1} ] \frac{u_2^{j-x_i}}{u_1^{j-x_i}} \frac{v_2^{j-y_i}}{v_1^{j-y_i}} \frac{w_2^{j-z_i}}{w_1^{j-z_i}} \quad (62-2)$$

$i = 1, \dots, n,$

$$\delta g_{reg} = g_0 + g_x(x_i - x_M) + g_y(y_i - y_M) \quad (63-2)$$

$$\delta g_{top} = \delta \rho_T C_i. \quad (64-2)$$

در رابطه بالا  $G$  ثابت گرانش جهانی؛  $x_i$  و  $y_i$  و  $z_i$  مختصات فضایی سطوح سلول زام موازی با بردارهای پایه؛  $g_0$  محدوده مختصات  $x$ ؛  $v_2^j$  محدوده مختصات  $y$ ؛  $w_1^j$  محدوده مختصات  $z$ ؛  $\delta x$  و  $\delta y$  پارامترهای روند منطقه‌ای گرانی؛  $x_M$ ،  $y_M$  مختصات متوسط گیری شده؛  $C_i$  ضریب متدال برای تصحیح توپوگرافی و  $\delta \rho_T$  مقدار اضافی اختیاری نسبت به چگالی توپوگرافی اولیه می‌باشند [Camacho et al., 2002].

دو مشکل اساسی که در روش‌های مدل‌سازی معکوس وجود دارد، عدم یکتاپی جواب و درجه آزادی سیستم غیرخطی داده‌ها می‌باشد. مساله اول به دلیل وجود مدل‌های مختلفی است که برآش خوبی با داده‌های واقعی می‌توانند داشته باشند [Al-Chalabi, 1971] که برای حل این مشکل می‌توان از اطلاعات زمین‌شناسی، حفاری و همچنین از تکنیک‌های آماری برای بهبود داده‌های واقعی کم‌دقیق استفاده نمود. در اینجا از روش معکوس‌سازی حداقل مربعات که به عنوان ترکیبی از داده‌های قابل مشاهده با عدم قطعیت گوسی (داده شده توسط یک ماتریس کواریانس  $Q_D$ ) و اطلاعات مدل ارائه شده بوسیله مدل قبلی  $m_{prev}$  که عدم قطعیت گوسی را در خود دارد (داده شده توسط یک ماتریس کواریانس  $Q_M$ ) استفاده شده است. به منظور انتخاب یک راه حل مطلوب و با ارزش، در میان بی‌نهایت

راه حل ممکن برای معکوس‌سازی داده‌ها، یک رابطه کمینه‌سازی بر اساس برازش مدل (برازش حداقل مربعات) و هموارسازی آن (جرم بی‌هنچاری‌های نهایی) ارائه شده است (۶۵-۲).

$$v^T Q_D^{-1} v + \lambda m^T Q_M^{-1} m = \min, \quad (65-2)$$

که در آن  $m = (\Delta\rho_1, \dots, \Delta\rho_m)^T$  مقادیر تباین چگالی تعیین شده برای  $m$  سلول از مدل (علامت  $T$  نشان‌دهنده ترانهاده است)؛  $v = (v_1, \dots, v_n)^T$  بردار مقادیر باقی‌مانده برای  $n$  نقطه داده؛  $Q_D$  ماتریس کواریانس اولیه برای عدم قطعیت داده‌های گرانی؛  $Q_M$  ماتریس کواریانس اولیه برای عدم قطعیت پارامترهای مدل و  $\lambda$  ضریب بدون بعد برای برقراری توازن بین برازش و هموارسازی مدل می‌باشد.

[Camacho et al., 2002]

در خصوص حل مساله تعداد درجه‌های آزادی زیاد برای توصیف مدل، می‌توان از یک روش جستجوگر استفاده نمود. رنه (۱۹۸۶) یک روش اکتشافی برای تکمیل مدل ارائه داده است که بر خلاف بررسی هر توزیع چگالی ممکن برای تکمیل یک مدل کامل، از تمامی امکانات مختلف برای بررسی و تکمیل یک سلول در هر مرحله از فرآیند رشد و ساختن مدل از نقطه اولیه استفاده می‌کند. کاماچو (۲۰۱۱) با بهبود روش رنه (۱۹۸۶) از یک رشد همگن تقریبی با سلول‌های اضافی برای توسعه مناسب ساختار تنظیم شده قبلی مدل استفاده نموده است که در آن به جای ادامه جستجوی تمام فضای مدل، امکان بررسی رشد سلول به سلول برای گسترش مدل بی‌هنچار مدنظر قرار می‌گیرد. در نتیجه در هر مرحله سلول‌های خالی طبق یک روش معین با تباین چگالی از قبل تعیین شده، بررسی می‌شوند. شرط برازش مناسب در هر مرحله به وسیله فاکتور مقیاس (شرایط مدل تکمیل نشده را برای رسیدن به یک مقدار گرانی مناسب و مدل کامل مورد بررسی قرار می‌دهد) بررسی شده تا سلول مناسب انتخاب شود.

برای مثال، در مرحله  $(k+1)$ ام فرآیند رشد، تعداد  $k$  سلول با تباین چگالی مثبت و منفی محاسبه شده و تکمیل می‌شوند. مقادیر گرانی حاصل از مدل‌سازی با رابطه زیر بیان می‌شود:

$$\Delta g_i^c = \Delta g_i^0 + \sum_{J_k^+} A_{ij} \Delta \rho_j^+ + \sum_{J_k^-} A_{ij} \Delta \rho_j^-, \quad (66-2)$$

که در آن  $J_k^+$ ،  $J_k^-$  مجموعه عبارت وابسته به سلول‌های اصلاح شده قبلی است. سپس فرآیند در میان  $k-m$  سلول باقیمانده به جستجو برای پر کردن یک منشور جدید و متراکم سازی مدل می‌پردازد. به این منظور برای هر سلول خالی زام و  $J_k^+ \notin J_k^-$ ، رابطه زیر در نظر گرفته می‌شود:

$$\Delta g_i - (\Delta g_i^c + A_{ij} \Delta \rho_j) f - \delta g_{reg} - \delta g_{top} = v_i \quad i = 1, \dots, n, \quad (67-2)$$

که در آن  $\Delta \rho_j$  شامل مقادیر  $\Delta \rho_0^+$ ،  $\Delta \rho_0^-$ ،  $f \geq 1$ ؛ ضریب فاکتور برای برازش بی‌هنجری‌های مدل-سازی شده  $(\Delta g_i^c + A_{ij} \Delta \rho_j)$  با بی‌هنجری‌های مشاهده‌ای می‌باشد. مقادیر تعیین شده مثبت و منفی برای رسیدن به یک شرایط کمینه مناسب بر طبق معادله (65-2) و با اضافه شدن فاکتور مقیاس  $f$  به آن جهت تخمین تباین چگالی اضافی  $\Delta \rho$  پیاپی بررسی می‌شوند. پارامترهای ناشناخته  $f$ ،  $g_x$ ،  $g_y$ ،  $g_0$  و  $\delta \rho_T$  در معادلات (63-2)، (64-2) و (67-2) برای یک معیار کمینه‌سازی مرکب مطابق با مرحله (k+1) ام طبق رابطه زیر تنظیم می‌شوند:

$$v^T Q_D^{-1} v + \lambda f^2 m^T Q_M^{-1} m = \min, \quad (68-2)$$

که در آن بردار جواب  $m$  شامل سلول‌های تکمیل شده ما قبل و مقدار چگالی  $\Delta \rho_j$  بوده که مورد بررسی قرار می‌گیرد (کاماچو و همکاران، ۲۰۰۷). برای محاسبه مقادیر باقیمانده  $v_i$  که وابسته به عبارت‌های انتخاب شده  $\Delta \rho_j$  هستند، بار دیگر معادله قبل حل می‌شود. سپس مقدار خطای عدم برازش  $e_j^2$  به عنوان معیاری برای متناسب بودن منشور زام و تباین چگالی اختیار شده، از رابطه زیر بدست می‌آید:

$$e_j^2 = v^T Q_D^{-1} v + \lambda f^2 m^T Q_M^{-1} m \quad (69-2)$$

در واقع در مرحله (k+1)، احتمالات مدل برای هر یک از منشورهای بدون تغییر و همچنین برای تباین‌های چگالی منفی یا مثبت جستجو می‌شود و سپس منشور زام با یک تباین چگالی که از مقدار

کمینه  $e^2$  بدست می‌آید، انتخاب شده و سبب رشد مدل می‌شود. تاثیر مقدار این سلول به مقادیر مدل شده  $\Delta g_i^c$  اضافه می‌گردد.

در هر مرتبه تکرار، بهترین مدل برازش شده برای رشد بی‌هنجری با رابطه کمینه‌سازی (۶۵-۲) به عنوان گسترش مناسب انتخاب می‌شود. این روند تا زمانی که تمامی سلول‌ها مورد جستجو قرار بگیرند و مقدار ضریب فاکتور به یک همگرا شود و همچنین پارامترهای  $g_0$ ,  $g_x$ ,  $g_y$  و  $\delta\theta_T$  به مقادیر نسبتاً پایداری برسند، ادامه می‌یابد و در نهایت مدل مورد نظر ساخته می‌شود.

روش معکوس‌سازی کاماچو و همکاران (۲۰۱۱) دارای تکنیک‌ها و مزایای قابل توجه‌ای است، مانند:

- ۱- مدل‌سازی همزمان داده‌ها با تباین چگالی مثبت و منفی
- ۲- انتخاب خودکار و دستی پارامتر تعادل و هموارسازی مدل
- ۳- شناسایی و تعیین رفتار داده‌های خارج از روند مدل‌سازی
- ۴- انتخاب خودکار و دستی حداقل و حداکثر تباین چگالی
- ۵- انتخاب مد افزایش رو به پایین تباین چگالی در مدل‌سازی‌های لایه‌ای
- ۶- انتخاب خودکار مقدار تصحیح اثرات توپوگرافی.

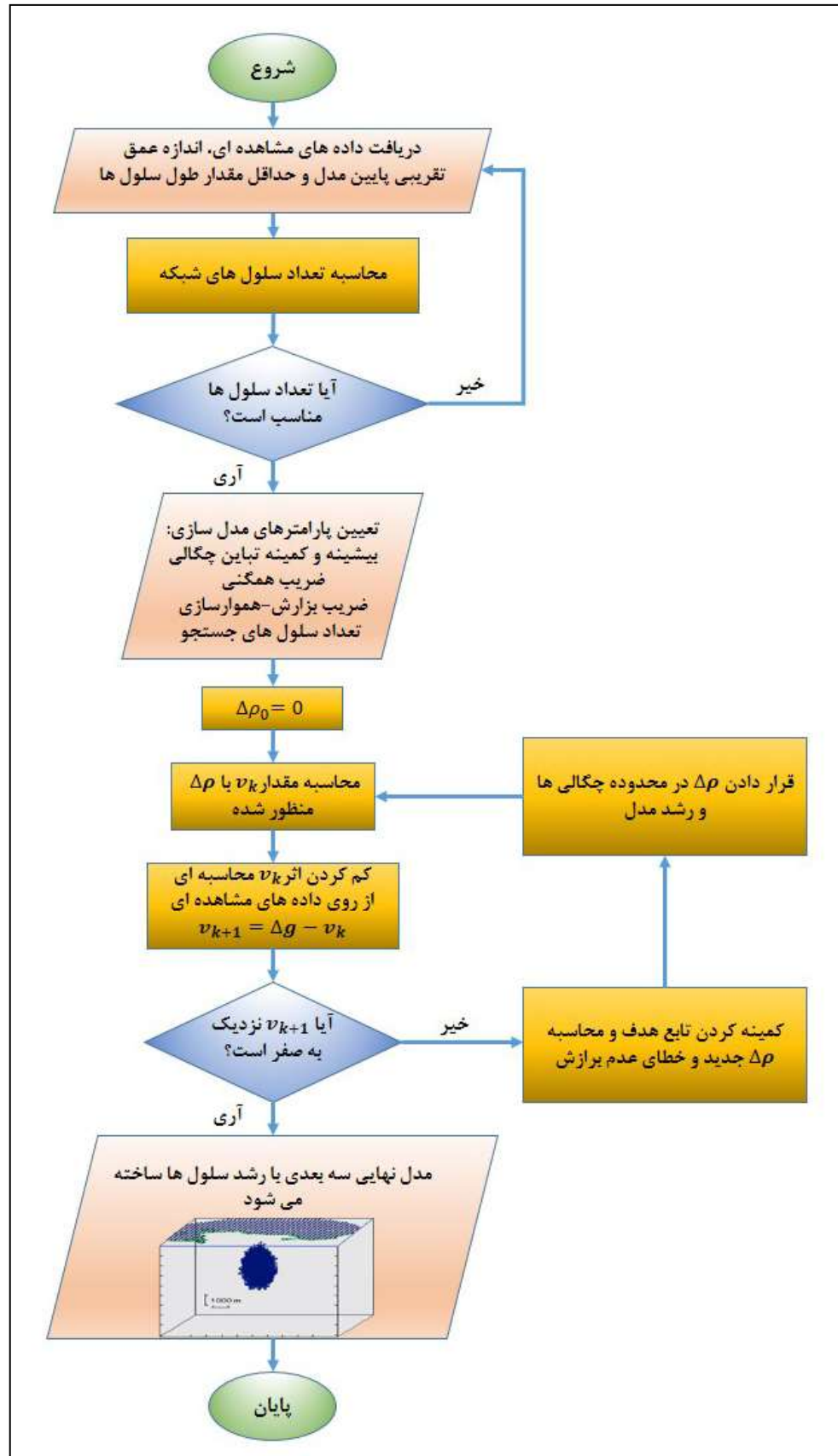
دو نکته قابل توجه در روش معکوس‌سازی کاماچو و همکاران (۲۰۱۱) انتخاب صحیح پارامتر همگنی،  $\alpha$ ، ( $0 \leq \alpha \leq 1$ ) برای الگوی انتقال تباین چگالی در سرتاسر مرز مدل‌سازی و پارامتر تعادل بین برازش و هموارسازی مدل می‌باشد. ضریب همگنی بر روی تباین‌های چگالی اولیه ( $\Delta\rho_0^+$ ,  $\Delta\rho_0^-$ ) که بصورت پیش‌فرض تعیین شده و در مسیر رشد مدل کاهش پیدا می‌کنند، بر طبق رابطه‌های (۷۰-۲) و (۷۱-۲) تاثیر می‌گذارد.

$$\Delta\rho^- = \Delta\rho_0^- (1 - e^{(1-f_k)/\alpha}), \quad (70-2)$$

$$\Delta\rho^+ = \Delta\rho_0^+ (1 - e^{(1-f_k)/\alpha}), \quad (71-2)$$

که در آن  $f$  ضریب مقیاس ( $1 \geq f$ ) در مرحله  $k$ ام فرآیند رشد می‌باشد؛ رابطه (۶۷-۲). برای مقادیر

کم پارامتر همگنی، تباین چگالی در مرزهای مدل به طور آنی تغییر می‌کند (مقادیر بدست آمده تباین چگالی نزدیک به مقادیر پیش‌فرض تعیین شده باقی می‌مانند) که این خاصیت برای مدل‌سازی ساختارهایی مانند گسل خردگی، تونل و حفرات مناسب است. انتخاب مقادیر بالا سبب کم شدن تغییرات تدریجی و آرام تباین چگالی (بر اساس الگوی کاهشی پارامتر  $f$ ) در نقاط مرزی مدل در فرآیند مدل‌سازی می‌شود. تعیین مناسب ضریب تعادل در روند مدل‌سازی بسیار اهمیت دارد. با توجه به کیفیت داده‌های برداشت شده و عامل نوفه، اگر این مقدار کم لحاظ گردد، حاصل یک مدل پیچیده خواهد بود که علت آن برآشش بالای پارامترهای مدل با داده‌های برداشت شده می‌باشد که در نتیجه باعث مدل‌سازی نوفه‌های موجود در داده‌ها می‌گردد و اگر مقداری بالا برای ضریب تعادل در نظر گرفته شود، برآشش داده‌ها کم و هموارسازی آن بالا می‌رود و یک مدل نسبتاً ساده تولید می‌شود. درنتیجه انتخاب مناسب این دو پارامتر در بهینه‌سازی مدل نقشی بسیار اساسی دارند.



## فصل سوم

مدل سازی مصنوعی جهت بررسی توانمندی روش

## ۱-۳ مقدمه

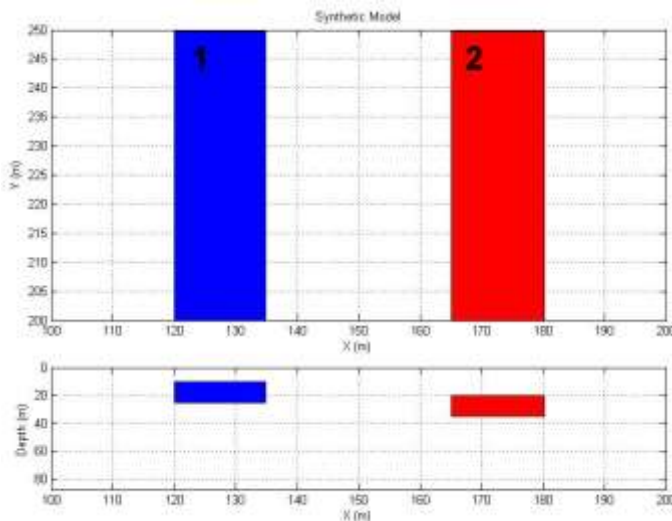
به طور معمول در ژئوفیزیک به جهت بررسی روش‌های پردازشی مانند تخمین لبه، عمق و مدل‌سازی از داده‌های مصنوعی که تمام پارامترهای هندسی و فیزیکی آن مشخص است، استفاده می‌شود. در این فصل به منظور بررسی و کارآبی روش کاماچو در وارون‌سازی ساختارهای نزدیک به سطح و کم چگال از داده‌های مصنوعی گرانی بدون نوفه و داده‌های مصنوعی گرانی حاوی نوفه استفاده شده است. از آنجا که ساختار مورد مطالعه، یک فضای خالی در میان سنگ‌های رسوبی همچون شیل و ماسه-سنگ با گستره‌ی چگالی بین  $1/5$  تا  $2/7$  گرم بر سانتی‌متر مکعب است، برای ایجاد مدل‌های مصنوعی از منشورهای متوازی السطوح با تباین چگالی منفی استفاده شد که روش ایجاد، مدل‌سازی و نتایج آن در ادامه مورد بررسی قرار خواهد گرفت.

## ۲-۳ تولید مدل مصنوعی

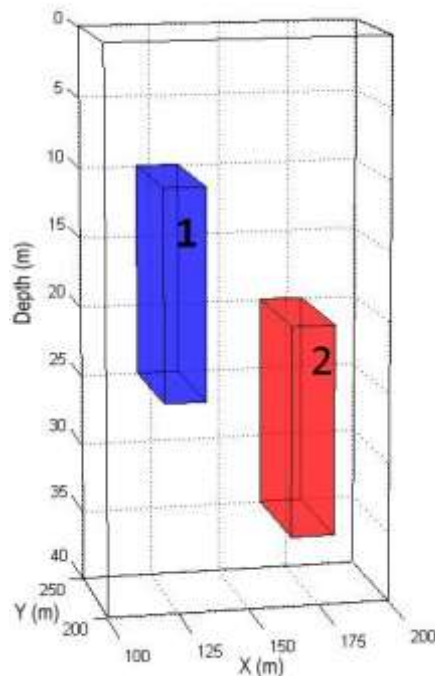
برای بررسی توانمندی روش وارون‌سازی کاماچو از دو منشور استوانه‌ای شکل به صورت افقی در عمق‌های مختلف در محیط متلب با استفاده از رابطه پارکر (۱۹۷۲) استفاده شد. پارامترهای هندسی و فیزیکی لحاظ شده در جدول ۱-۳ بیان شده است. همچنین نماهای دو و سه‌بعدی از منشورها در شکل ۱-۳ و ۲-۳ آورده شده است.

جدول ۱-۳: خصوصیات هندسی و فیزیکی مدل مصنوعی

منشور	عمق بالا (m)	عمق پایین (m)	ابعاد (m)	تباین چگالی ( $\text{gr}/\text{cm}^3$ )
۱	۱۰	۲۵	$۱۵ \times ۱۵ \times ۵۰$	-۱
۲	۲۰	۳۵	$۱۵ \times ۱۵ \times ۵۰$	-۲

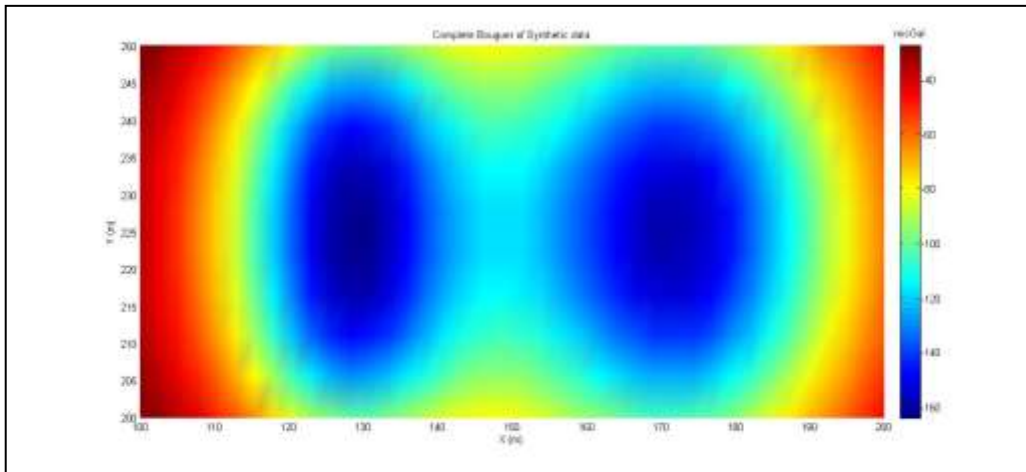


شکل ۱-۳: مقطع افقی و قائم از دو منشور مدل مصنوعی



شکل ۲-۳: نمای سه بعدی از دو منشور مدل مصنوعی

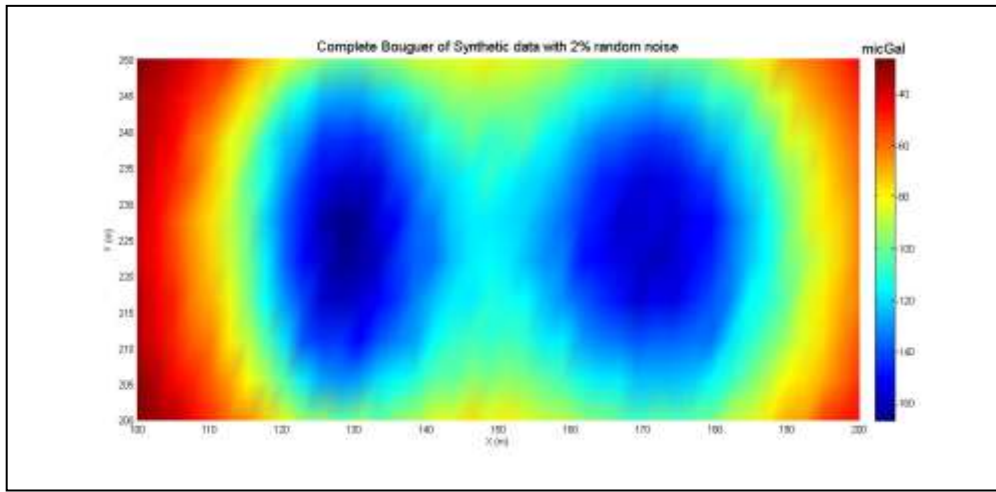
رابطه پارکر (۱۹۷۲) مدل تولید شده را به صورت بلوک‌های راست‌گوش در می‌آورد و سپس مقدار گرانی را برای هر بلوک، بطور مجزا حساب می‌کند و سرانجام اثر تمامی بلوک‌ها را با هم جمع می‌کند. با محاسبه این رابطه تعداد ۴۰۰ داده گرانی به دست آمد و نقشه بوگه آن تهیه شد (شکل ۳-۳).



شکل ۳-۳: نقشه بوگه کامل مدل مصنوعی دو منشور

### ۳-۳ اعمال نوفه دو درصد به داده‌های مدل مصنوعی

داده‌های برداشت شده صحرایی همواره دارای عوامل مزاحم نوفه که ناشی از خطای انسانی و ابزاری و همچنین عوامل محیطی (باد، رعد و برق و حرکت افراد و وسایل نقلیه و ...) می‌باشند. به همین دلیل برای انجام مدل‌سازی مناسب است که به داده‌های مصنوعی نوفه تصادفی اضافه شود. میزان درصد نوفه بستگی به شرایطی که داده‌های واقعی دارد، بدین معنی که هرچه عوامل مزاحم در برداشت داده‌های صحرایی بیشتر باشد، به همان میزان به داده‌های مصنوعی نوفه اضافه می‌گردد. هرچند رابطه‌ی ریاضی بین این دو عامل وجود ندارد اما می‌توان به طور تقریب این کار را انجام داد. به همین منظور به داده‌های مدل مصنوعی به میزان دو درصد نوفه تصادفی (شکل ۴-۳) اعمال شد و سپس فرآیند مدل‌سازی صورت گرفت.



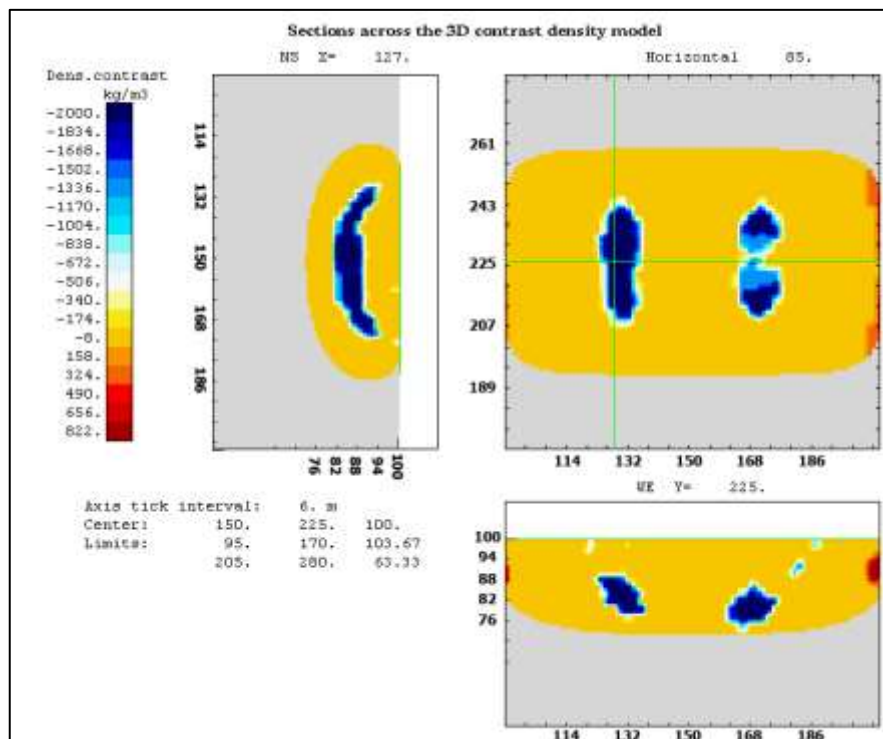
شکل ۴-۳: نقشه بوگه کامل مدل مصنوعی همراه با نویه دو درصد

### ۴-۳ وارون‌سازی داده‌های مدل مصنوعی

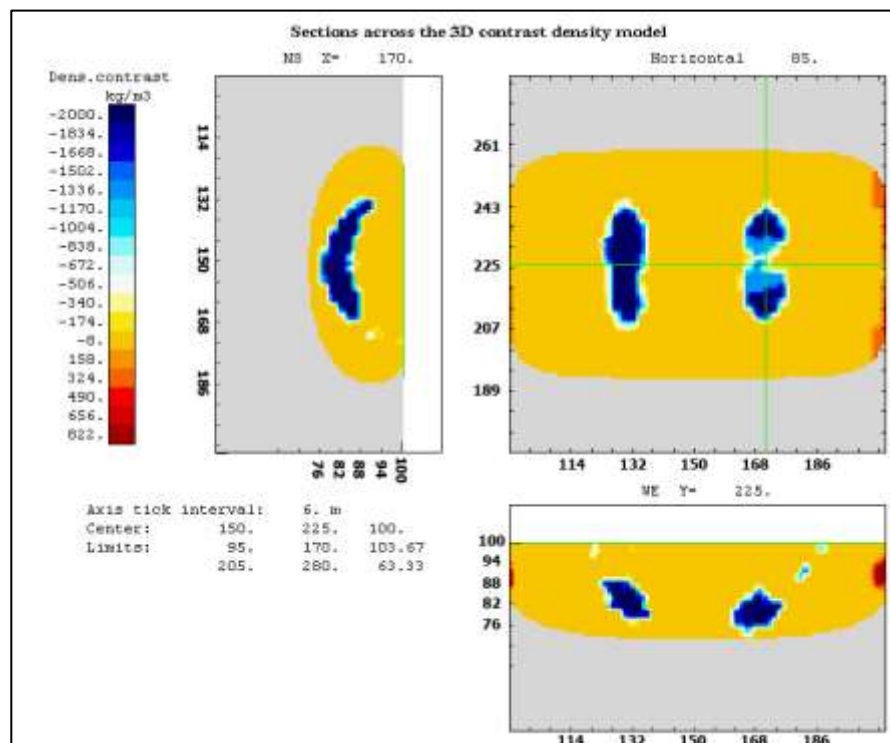
جهت انجام وارون‌سازی داده‌های مصنوعی تحت یک شبکه‌بندی یکسان، سطح زیر محدوده به منشورهای متوازی السطوح با حداقل طول  $1/5$  متر تقسیم‌بندی شدند؛ که در نتیجه تعداد  $40,000$  منشور برای شروع مدل‌سازی به دست آمد. محدوده تباین چگالی اولیه برای هر دو مقدار داده‌ی مصنوعی (نویه دو درصد و ده درصد)  $2000$ - $800$  کیلوگرم بر متر مکعب نزدیک به مقدار واقعی آن انتخاب شد.

#### ۱-۴-۳ مدل‌سازی با نویه دو درصد

جهت انجام مدل‌سازی مقدار بخش برآش-هموارسازی  $20$  انتخاب شد تا حداکثر برآش داده‌ها انجام گرفته و مدل نهایی به واقعیت نزدیک‌تر باشد. ضریب همگنی نیز  $1/0$  انتخاب گردید؛ تا تغییرات مدل‌سازی در مرز ساختار به شکل بارزتری تغییر کند. مقدار بخش جستجوی سلول جهت انجام وارون‌سازی به صورت سیستماتیک عدد یک لحاظ شد. با تخصیص مقادیر اولیه، وارون‌سازی صورت گرفت و مدل مصنوعی نهایی به دست آمد (شکل ۳-۵ و ۴-۳).



شکل ۵: نتیجه مدل‌سازی داده‌های مصنوعی با نویه دو درصد در مقاطع افقی ۸۵ متر (عمق ۱۵ متر)، قائم شمالی-جنوبی در طول ۱۲۷ متر و قائم شرقی-غربی در عرض ۲۲۵ متر.



شکل ۶: نتیجه مدل‌سازی داده‌های مصنوعی با نویه دو درصد در مقاطع افقی ۸۵ متر (عمق ۱۵ متر)، قائم شمالی-جنوبی در طول ۱۷۰ متر و قائم شرقی-غربی در عرض ۲۲۵ متر.

## ۳-۵ نتایج مدل‌سازی

انتخاب مقدار  $1/0$  برای پارامتر همگنی سبب می‌شود تا مدل‌های به دست آمده کاملاً بارز و متمرکز باشند که این مساله از خصوصیات مفید این روش است، هرچند در صورت عدم اطلاع از ساختار درونی زمین، انتخاب مقدار صحیح این پارامتر را می‌توان با چند تکرار و بررسی نتایج به دست آورد. با توجه به نتایج به دست آمده از مدل‌سازی با نوفه دو درصد ملاحظه می‌شود دو منشور از نظر راستا، عمق و ابعاد تا حد قابل قبولی مشخص و تعیین شده‌اند و خطای مدل‌سازی در حدود  $15/0$  میلی‌گال برآورد شد.



## فصل چهارم

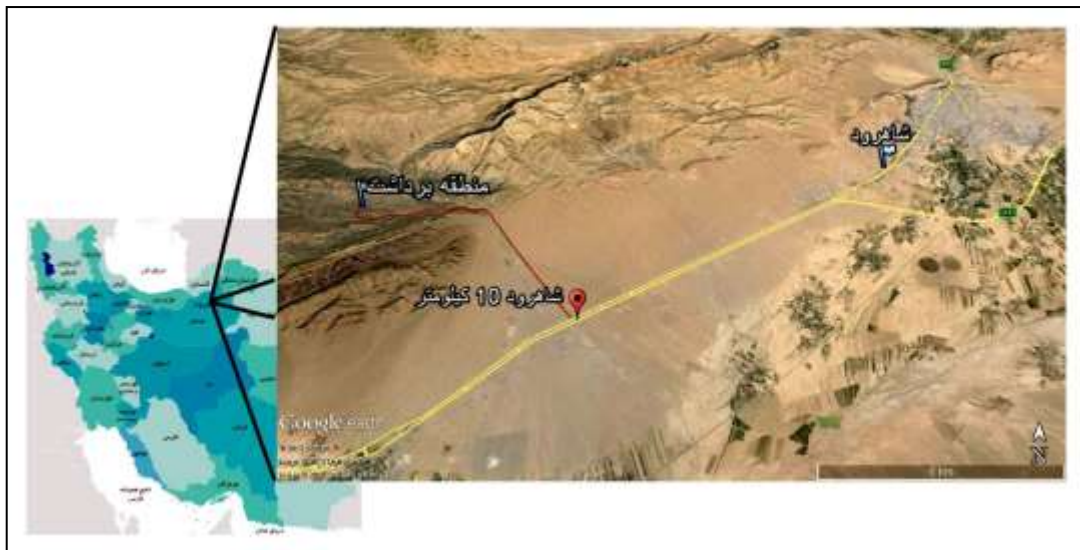
برداشت، پردازش و مدل سازی داده های کرانی

تول معدنی دهلا - شهرود

وسوله زیر سطحی نوادا آمریکا

## ۱-۴ محدوده مورد مطالعه

محدوده مورد بررسی تونل‌های زیرسطحی بوده که در محدوده معدن آموزشی زغالسنگ دهملا واقع شده است. این منطقه در ۲۰ کیلومتری شمال غرب شهرود در دامنه جنوبی البرز خاوری قرار دارد. (شکل ۱-۴). از جمله اختصاصات این محدوده، دارا بودن پدیده‌های مهم زمین‌شناسی، تونل‌های آموزشی معدنی زغالسنگ، دسترسی آسان و امکانات رفاهی می‌باشد (شکل ۲-۴، شکل ۳-۴ و شکل ۴-۴). دسترسی به محدوده مورد مطالعه از طریق جاده شوسه معدن آموزشی زغالسنگ دهملا که از جاده شهرود-دامغان به سوی شمال جدا شده است ممکن می‌باشد.



شکل ۱-۴: موقعیت جغرافیایی محدوده معدن زغالسنگ دهملا و راه‌های دسترسی به منطقه (Google Earth 2015)



شکل ۲-۴: نمایی از اردوگاه آموزشی تفریحی دهملا



شکل ۴-۳: تونل معدنی آموزشی زغالسنگ (در سمت چپ محدوده) – دید به سمت غرب



شکل ۴-۴: تونل معدنی آموزشی زغالسنگ (محدوده مورد نظر) – دید به سمت شمال غرب

## ۲-۴ زمین‌شناسی منطقه

عمده فعالیت‌های سنگی محدوده مورد بررسی از نظر زمین‌شناسی وابسته به سازند شمشک می‌باشد. این سازند بعنوان یکی از گستردۀترین رسوبات شیلی / ماسه‌ای ایران و بسیاری از کشورهای دنیا، علاوه بر زغال‌خیزی، از غنی‌سازی عنصری همانند اورانیوم، روی، منگنز و غیره و همچنین پتانسیل هیدروکربن‌زایی خوبی، برخوردار است. لیتو‌لوژی غالب محدوده شیل، ماسه‌سنگ و لایه‌های زغال بوده که ماسه‌سنگ و شیل‌های این سازند دارای ترکیب غالب کوارتز، فلدسپار و میکا می‌باشند (شکل ۴-۵).



شکل ۵-۴: توالی لایه‌های ماسه‌سنگ، شیل و زغال‌سنگ – دید به سمت شرق محدوده

حوضه‌های زغالی در ایران در دو بخش بزرگ زمین‌شناسی ایران یعنی البرز و ایران مرکزی با سن تریاس فوکانی تا ژوراسیک میانی گسترش یافته و اغلب در محیط‌های زمین‌ساختی فعال و عموماً ناویدیس شکل (همانند ناویدیس دهملا – منطقه مورد مطالعه) تشکیل شده‌اند. سازنده‌های نایبند و آق‌دربند در ایران مرکزی و کپه‌داغ و همچنین، سازند شمشک در حوضه البرز، دارندگان اصلی زغال‌سنگ‌های ایران با سن مزوژوئیک میانی و همچنین لیتولوژی غالب شیل، ماسه‌سنگ، کنگلومرا و سیلت به حساب می‌آیند.

سازند شمشک که یکی از گسترده‌ترین رسوبات زغال‌دار ایران را در اختیار دارد از لحاظ اقتصادی برای کشور ما از اهمیت بالایی برخوردار است. این سازند در منطقه مورد مطالعه نیز از گسترش قابل توجهی برخوردار می‌باشد (شکل ۶-۴).



شکل ۴-۶: نمایی از رگه زغالسنگ در انتهای تونل دنباله لایه

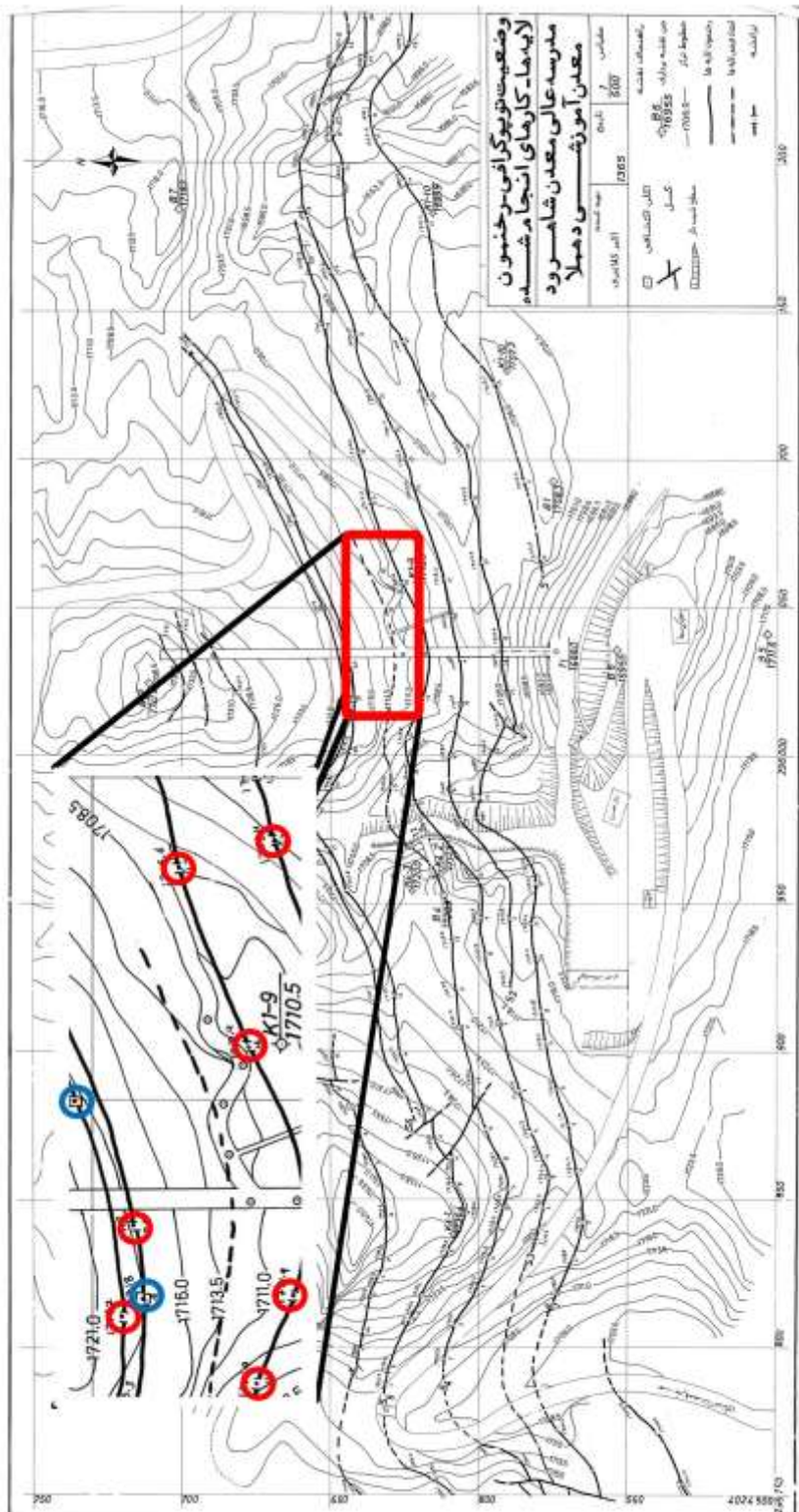
طبق گزارش نیمه تفضیلی زغالسنگ البرز شرقی در سال ۱۳۶۰، زغال‌های سازند شمشک در منطقه مورد مطالعه ضخامت‌های متفاوتی را شامل می‌شوند که احتمالاً حضور گسل‌های فراوان به ویژه نوع رانده (گسل‌های شاهروд و مهماندوست) و گستتگی‌ها در این تغییر ضخامت نقش اصلی داشته، ضمن آنکه با تقسیم شدن بخش‌های مختلف زمین به بلوک‌های مختلف مشکلاتی در عملیات استخراجی آنها به وجود آمده است. ساختار مورد مطالعه یک تونل عمود بر امتداد لایه زغال بوده که در جهت شمال حفر شده و پس از طول ۴۰ متر از آن، یک انشعاب تقریباً شرقی- غربی به سمت شرق (دنباله لایه زغالسنگ) حفر شده است. همچنین بر روی سطح زمین دویل‌هایی جهت استخراج لایه زغالسنگ و تهويه هوا حفر شده است (شکل ۷-۴).



شکل ۷-۴: نمایی از دویل‌های حفاری شده در سطح محدوده دهملا-دید به سمت جنوب

در محدوده‌ی مورد مطالعه، دو لایه‌ی زغال‌دار در راستای شرقی-غربی به همراه چندین ترانشه و حفاری‌های سطحی و نیز دو تونل اصلی و فرعی(شکل ۸-۴)، باعث پیچیده شدن مدل‌سازی داده‌های گرانی می‌شود، در نتیجه باید دقیق را در اندازه‌گیری داده‌ها و تصحیحات مربوط به آنها داشت.

شکل ۴-۸: نقشه موقعیت تونل های معدن دهملا، دویل، ترانشه ها، لایه های زغال و تپیگرافی محدوده (مدرسه عالی معدن شهرود، ۱۳۹۵).



### ۳-۴ برداشت داده‌های گرانی منطقه مورد مطالعه

در برداشت داده‌های گرانی سنجی به طور عمده از دو روش پروفیلزنی و شبکه‌ای استفاده می‌شود. در روش پروفیل زنی تغییرات پارامتر فیزیکی در راستای یک پروفیل در یک امتداد مشخص در سطح زمین انجام می‌پذیرد و نتایج به صورت یک مقطع یا برش ترسیم می‌گردد. در روش پیمایش شبکه‌ای داده‌های ژئوفیزیکی روی یک سری نقاط گرهی روی یک شبکه منظم با شکل هندسی مشخص یا نقاط پراکنده در یک محدوده برداشت شده و نتایج به صورت پربندی (کنتوری) ترسیم می‌شود. در تمام عملیات ژئوفیزیک اکتشافی زمینی یا هوایی که به منظور مشخص کردن محل توده بی‌هنجر و گسترش آن صورت می‌پذیرد، از برداشت‌های شبکه‌ای استفاده می‌شود. یکی از نیازهای اصلی در این گونه برداشت‌ها تعیین دقیق محل خطوط برداشت و ایستگاه‌های اندازه‌گیری است؛ که این کار توسط GPS های ایستگاهی و یا دوربین‌های نقشه‌برداری انجام می‌پذیرد. اگر اندازه شبکه برداشت (فاصله خطوط برداشت و ایستگاه‌ها) نسبت به ابعاد نهشته کانساری زیاد باشد یا ارتباط این فاصله‌ها با عمق دفن کانسار به صورت منطقی انتخاب نشده باشد؛ ممکن است قسمتی از اطلاعات ژئوفیزیکی مربوط به کانسار ثبت نشود؛ که در این صورت تفسیر نقشه‌های حاصل با خطا همراه خواهد بود ([نوروزی، ۱۳۸۸](#)).

در این مطالعه پس از بازدید و بررسی محدوده مورد نظر و با استفاده از اطلاعات و مشاهدات موجود و نیز با توجه به مدت زمان در نظر گرفته شده برای انجام پروژه، تعداد ۹ پروفیل با فاصله‌های ۵ متری از هم و به طول ۹۰ متر، عمود بر راستای تونل اصلی در قسمتی که شامل دوراهی تونل فرعی بود، در نظر گرفته شد. با توجه عمق بالای تونل و قطر متوسط آن، ایستگاه‌های اندازه‌گیری با فاصله‌های ۱/۵ متری از هم بر روی هر پروفیل طراحی شد.

با توجه به نیاز انجام تصحیحات ارتفاعی روی داده‌های گرانی، توپوگرافی نقاط اندازه‌گیری شبکه برداشت و همچنین عوارض طبیعی محدوده برداشت مورد نیاز است. در این راستا پس از طراحی

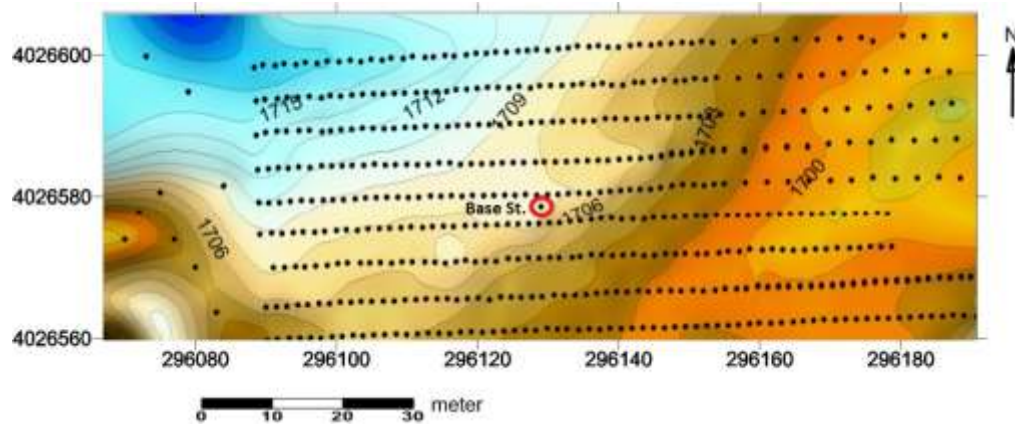
شبکه برداشت داده‌های گرانی، عملیات برداشت داده‌ها و همچنین نقشه‌برداری در محدوده مورد نظر انجام شد.

#### ۴-۳-۱ تهیه مختصات ایستگاه‌ها و نقشه توپوگرافی منطقه

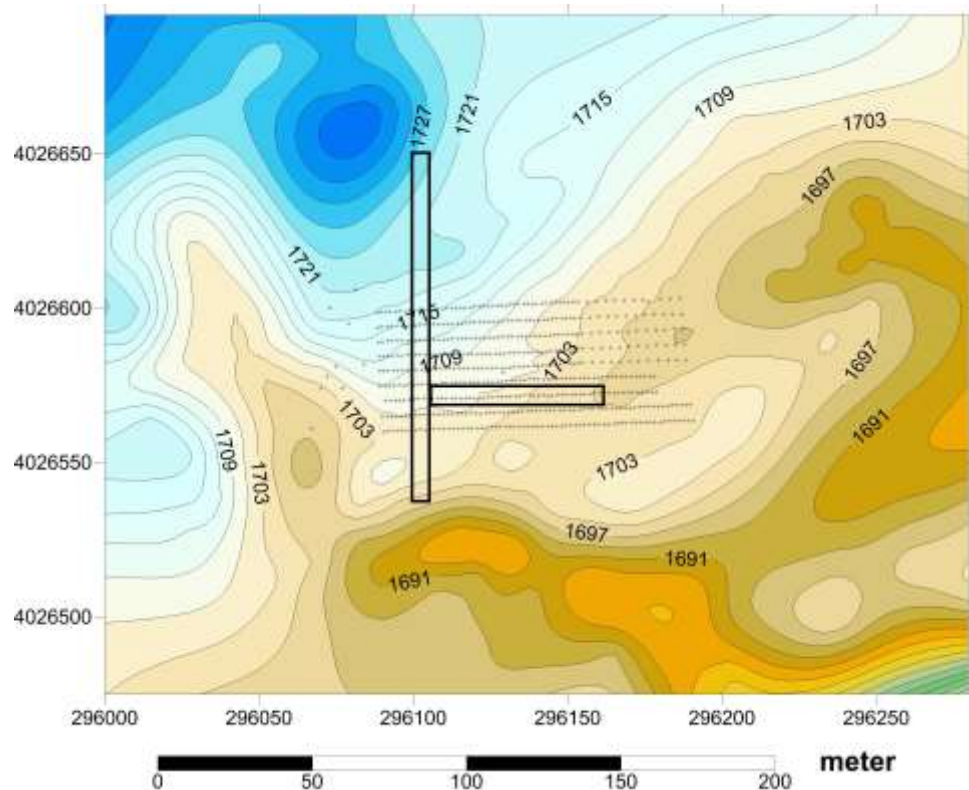
تعیین دقیق مختصات ایستگاه‌های اندازه‌گیری گرانی جهت انجام تصحیحات آنها بسیار مهم است. همچنین اندازه‌گیری و آزمایش خواص و مشخصات زمین بدون در نظر گرفتن پارامتر موقعیت و مختصات آن بی‌فاایده و ناقص بوده و لازم است که مختصات ایستگاه‌های مورد مطالعه در یک سیستم شناخته شده ریاضی اندازه‌گیری و ثبت گردند. از این جهت مختصات تمامی ایستگاه‌های گرانی با دقیقی که برآورد کننده نیازهای آن باشد محاسبه گردید. این مختصات شامل طول و عرض جغرافیایی ایستگاه و همچنین تصویر این مختصات در یک سیستم تصویری مشخص (UTM) می‌باشد. به منظور به دست آوردن مختصات نقاط گرانی قبل از برداشت گرانی، عملیات نقشه‌برداری با استفاده از یک دوربین توتال استیشن انجام شد (شکل ۹-۴ و شکل ۱۰-۴). همچنین تغییرات توپوگرافی محدوده مورد نظر به منظور استفاده در تصحیح توپوگرافی برداشت گردید (شکل ۱۱-۴).



شکل ۹-۴: برداشت داده‌های توپوگرافی و مختصات ایستگاه‌های اندازه‌گیری



شکل ۱۰-۴: نقشه توپوگرافی محدوده برداشت و ایستگاه اندازه‌گیری



شکل ۱۱-۴: نقشه توپوگرافی زون نزدیک

### ۲-۳-۴ کالیبره کردن دستگاه گرانی سنجی

جهت بررسی کالیبراسیون دستگاه، قبل از شروع برداشت، گرانی سنج به مدت ۲۴ ساعت در یک نقطه ثابت در داخل آزمایشگاه روشن و تغییرات گرانی برای بررسی خطی بودن رانه دستگاه قرائت گردید.

بدین ترتیب میزان خطای بدست آمده، در طول برداشت روزانه با دستگاه به صورت خودکار بر روی داده‌ها اعمال شد.

### ۴-۳-۴ قرائت ایستگاه‌ها

پس از انجام نقشه‌برداری و تعیین محل پروفیل‌ها، برداشت ایستگاه‌های گرانی با گرانی‌سنجد (شکل ۱۲-۴) انجام شد AUTOGRAV-CG5.



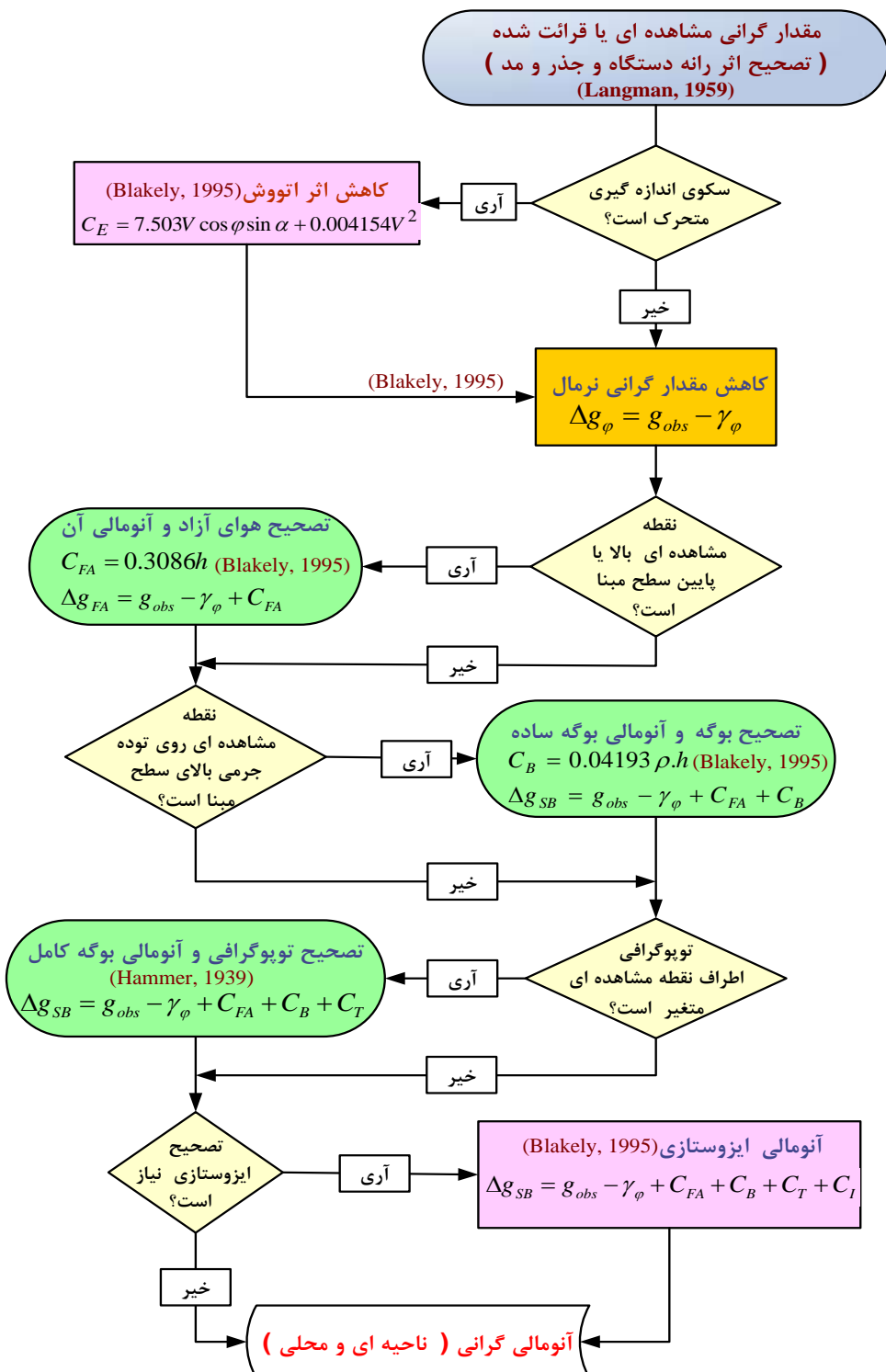
شکل ۱۲-۴: قرائت ایستگاه‌های گرانی در منطقه برداشت

مدت قرائت هر ایستگاه ۴۰ ثانیه تنظیم شد و انحراف معیار برای داده‌های برداشت شده به وسیله‌ی دستگاه در هر ایستگاه محاسبه شد. در صورتی که انحراف معیار عددی بیش از ۱٪ می‌شد، قرائت تکرار می‌شد. به منظور دسترسی آسان، نقطه مبنا تقریباً در مرکز شبکه برداشت و در بین پروفیل چهارم و پنجم در نظر گرفته شد. بدین ترتیب در انتهای کار تعداد ۵۴۸ ایستگاه گرانی اندازه‌گیری شد.

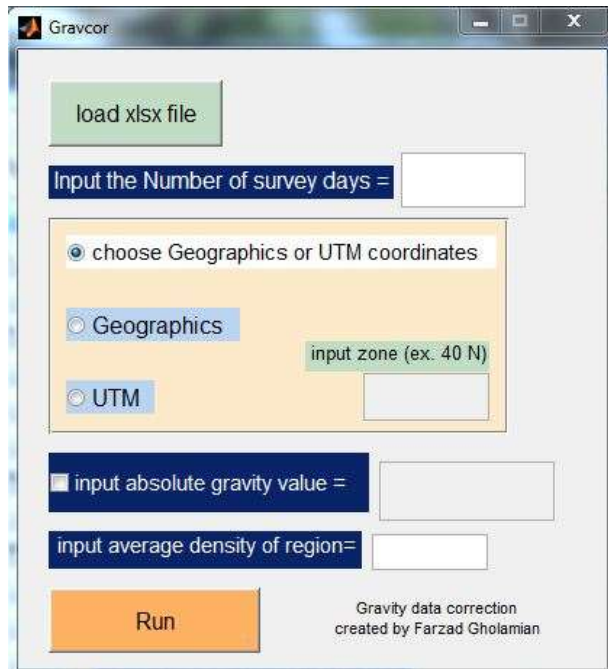
### ۴-۴ تصحیح داده‌های گرانی‌سنجدی

همان‌طور که می‌دانیم شتاب جاذبه دقیقاً در همه جای سطح زمین یکسان نیست بلکه تحت تأثیر

چندین فاکتور است که در دو گروه عمدہ وابسته به زمان، مانند دریفت دستگاه و جزر و مد و وابسته به مکان، مانند ارتفاع نقاط از سطح مبنای، عرض جغرافیایی، تخته‌ی بوگه، توپوگرافی و نهایتاً زمین-شناسی منطقه است. بنابراین برای به دست آوردن اطلاعات زمین‌شناسی باید تصحیحاتی از قبیل تصحیح دریفت، تصحیح عرض جغرافیایی، تصحیح هوای آزاد، تصحیح بوگه و تصحیح توپوگرافی بر روی مقادیر اولیه اندازه‌گیری شده، اعمال شود (شکل ۱۳-۴). به همین منظور برای انجام تصحیحات لازم (رانه دستگاه، گرانی نرمال، هوای آزاد، تخته بوگه و عرض جغرافیایی)، یک برنامه گرافیکی "Gravcor" در محیط متلب نوشته شد که تمامی این مراحل را به صورت خودکار انجام می‌دهد (شکل ۱۴-۴).



شکل ۱۳-۴: فلوچارت تصحیح مقادیر گرانی مشاهده‌ای در ایستگاه اندازه‌گیری (آقاجانی، ۱۳۸۸)



شکل ۱۴-۴: برنامه گرافیکی *Gravcor* برای انجام تصحیح داده‌های گرانی‌سنجی در محیط متلب

#### ۱-۴-۴ تصحیح رانه دستگاه

در صورتی که در یک برنامه گرانی‌سنجی پس از اندازه‌گیری در یک ایستگاه اصلی، مجدداً در انتهای برنامه این عمل اندازه‌گیری تکرار شود، نتیجه دو قرائت یکسان نبوده و با هم اختلاف خواهند داشت. این مقدار اختلاف، رانه دستگاه نام دارد؛ که عوامل مختلفی در ایجاد آن نقش دارند؛ که از مهمترین آنها خستگی و تغییر خواص الاستیسیته فنر گرانی‌سنج می‌باشد. از طرفی در اثر نیروهای جاذبه‌ی اجرام سماوی به ویژه ماه و خورشید مقدار گرانی اندازه‌گیری شده در طول شباهه روز با چرخش زمین و تغییر مکان اجرام سماوی تغییر می‌کند.

برای محاسبه رانه دستگاه در شروع کار و با انتخاب یک ایستگاه اصلی (مبنا)، مقدار گرانی آن اندازه‌گیری و سپس ایستگاه‌های فرعی برداشت شدند، سپس بطور متوسط هر دو ساعت یک بار به ایستگاه اندازه‌گیری مبنا مراجعه و اقدام به اندازه‌گیری مجدد آن شد. جهت انجام تصحیح رانه از رابطه آتی در محیط متلب استفاده شد:

$$\Delta g_{dc} = \frac{g_2 - g_1}{T_2 - T_1} (T_i - T_1) \quad (1-4)$$

در این رابطه  $g_1$ ، گرانی قرائت شده مربوط به ایستگاه اصلی در شروع کار بر حسب میلی‌گال؛  $g_2$ ، گرانی قرائت شده مربوط به ایستگاه اصلی در خاتمه کار (یا پس از ۲ ساعت) بر حسب میلی‌گال؛  $T_2$  زمان اندازه‌گیری ایستگاه مبنا در زمان اول و  $T_1$  در زمان دوم؛  $i$ ، زمان اندازه‌گیری ایستگاه مربوطه. مقدار گرانی مطلق ایستگاه مبنا با دانستن مقدار گرانی مطلق نقطه‌ای در داخل دانشگاه شاهروд (روبروی سالن غذاخوری زیتون) و اندازه‌گیری‌های متوالی نسبی این دو ایستگاه و محاسبه اختلاف آنها، ۹۷۹۴۰.۴۹۷۳۷ میلی گال به دست آمد. برای مطلق‌سازی داده‌های برداشت شده از اختلاف مقدار نسبی بین آنها و ایستگاه مبنا و مقدار مطلق آن استفاده شد. بدین صورت که اگر این اختلاف منفی بود، به همان اندازه از مقدار مطلق ایستگاه مبنا کاسته می‌شد و بلعکس. مطلق‌سازی داده‌ها تاثیری در روند تصحیحات ندارد و تنها باعث می‌شود مقدار بوگه کامل نهایی یک مقدار استاندارد جهانی باشد.

چون عملیات برداشت صحرایی داده‌ها طی چهار روز انجام شد، نیاز بود تا بتوان داده‌هایی که در هر روز برداشت می‌شدند با هم قابل مقایسه باشند. بدین منظور در شروع و انتهای هر روز ابتدا ایستگاه مبنا قرائت می‌شد و میزان اختلاف آن با روز بعد محاسبه می‌گشت. این اختلاف به دست آمده بر روی همه‌ی داده‌های روز بعد اعمال می‌شد که در نتیجه باعث شد تمامی داده‌ها به گونه‌ای تصحیح شوند که گویی همه در یک روز برداشت شده‌اند.

#### ۴-۴-۲- شتاب گرانی ناشی از بیضوی مرجع (گرانی نرمال)

در برداشت گرانی از آنجا که با توجه به هدف اکتشافی لازم است که تنها تغییرات گرانی ناشی از هدف مورد مطالعه مورد بررسی قرار گیرد، لذا باید با انجام تصحیحاتی اثر سایر عوامل مؤثر بر مقدار گرانی اندازه‌گیری شده حذف شود. به این ترتیب در گام نخست برای رسیدن به این هدف، ضروری است اثر گرانی نرمال از مقادیر داده‌های مشاهده‌ای حذف شود. برای این منظور سطح هم پتانسیلی

که منطبق به سطح آب‌های آزاد است به عنوان سطح مبنا در نظر گرفته می‌شود؛ که این سطح هم پتانسیل ژئوپتانسیل نامیده می‌شود. اما با توجه به این که سطح هم پتانسیل ژئوپتانسیل نامنظم و پیچیده است، به منظور ساده‌سازی در روابط از سطح بیضوی مرجعی که در یک توافق بین‌المللی پذیرفته شده‌است به عنوان سطح هم پتانسیل استفاده می‌شود و از اختلاف ناچیز بین سطح ژئوپتانسیل (سطح هم پتانسیل واقعی) و بیضوی مرجع (سطح هم پتانسیل فرضی) صرف نظر می‌شود.

با محاسبه‌ی پتانسیل گرانشی کل، گرانی نرمال در هر نقطه از زمین از گرادیان آن به دست می‌آید. به این منظور در سال ۱۹۸۰ میلادی انجمن ژئودزی (IAG) سیستم مرجع ژئودتیکی را ارائه کرد که در نهایت به سیستم مرجع ژئودتیک جهانی ۱۹۸۴ (WGS84) معروف شد؛ که رابطه کلی آن به صورت زیر است [Blakely, 1995]

$$\gamma_\Phi = 9.7803267714 \frac{1 + 0.00193185138639 \sin^2(\Phi)}{\sqrt{1 - 0.00669437999013 \sin^2(\Phi)}} \quad (2-4)$$

که در آن  $\Phi$  عرض جغرافیایی ایستگاه اندازه‌گیری است.

با استفاده از رابطه (2-۴) و مختصات عرض جغرافیایی ایستگاه‌های اندازه‌گیری، گرانی نرمال تمام نقاط در برنامه متلب محاسبه و از داده گرانی مطلق مشاهده‌ای کسر گردیدند.

### ۳-۴-۴ تصحیح عرض جغرافیایی

مقادیر گرانی حتی اگر جرم‌های زیر زمین در همه جا یکسان می‌بود؛ باز هم در نقاط مختلف با هم فرق می‌کرد و این به خاطر اختلاف در عرض جغرافیایی هر نقطه خواهد بود. چون نیروی گرانی اندازه‌گیری شده مجموع جاذبه‌ی زمین و گریز از مرکز است و به دلیل اینکه نیروی گریز از مرکز در خلاف جهت جاذبه‌ی زمین و عمود بر محور دوران زمین است؛ لذا با توجه به اینکه نیروی گریز از مرکز در استوا بیشینه و در قطب‌ها کمینه (صفر) خود را دارا می‌باشد، شتاب جاذبه در استوا کمتر از قطب خواهد بود. به طوری که در استوا شتاب جاذبه حدود ۹۷۸ گال و در قطبین حدود ۹۸۳ گال

است.

رابطه زیر برای محاسبه‌ی شتاب گرانی در جهت شمال – جنوب برای عرض جغرافیایی مورد نظر داده

می‌شود [Telford et al., 1991]:

$$\frac{dg_\varphi}{ds} = 0.811 \sin 2\varphi \frac{mGal}{km} \quad (3-4)$$

رابطه (3-۴) مقادیر تغییرات گرانی را به ازای هر کیلومتر فاصله در روی زمین در راستای شمال-جنوب بر حسب میلی‌گال به دست می‌دهد. که در آن  $\varphi$  عرض جغرافیایی خط مبنا،  $ds$  تغییرات کیلومتری نقاط اندازه‌گیری نسبت به خط مبنا است. تصحیح عرض جغرافیایی برای هر نقطه‌ی گرانی کیلومتری اندازه‌گیری شده، نسبت به ایستگاه مبنا در نظر گرفته می‌شود. از آنجا که هر دقیقه از تغییرات عرض اندازه‌گیری شده، نسبت به ایستگاه مبنا در حدود  $1/84$  کیلومتر روی سطح زمین است، می‌توان تغییرات گرانی جغرافیایی معادل فاصله‌ای در حدود  $1/84$  متر از ایستگاه مبنا با عرض جغرافیایی  $\Phi$  به دست آورد. این تصحیح در صورتی که ایستگاه اندازه‌گیری در شمال ایستگاه مبنا قرار داشته باشد، مثبت (میدان گرانی زمین از استوا به طرف قطب افزایش پیدا می‌کند) و در حالتی که ایستگاه اندازه‌گیری در جنوب ایستگاه مبنا واقع شده باشد، منفی است. مقداری که بدین ترتیب به دست می‌آید، از مقدار گرانی ایستگاه اندازه‌گیری واقع در شمال ایستگاه مبنا کم می‌شود و در حالت عکس به مقدار گرانی ایستگاه اندازه‌گیری اضافه می‌شود. به منظور انجام این تصحیح، همه‌ی داده‌ها نسبت به پایین‌ترین عرض جغرافیایی (عرض  $36^{\circ}36'25''$  شمالی) در محدوده‌ی اکتشافی منظم شدند و سپس با استفاده از رابطه (3-۴) مقدار تصحیح عرض جغرافیایی محاسبه شد. چون همه‌ی داده‌ها به عرض پایین‌تر یعنی خط مبنا منتقل شده‌اند، لذا مقدار تصحیح هر ایستگاه از گرانی مشاهده‌ای ایستگاه مربوطه کم گردید.

#### ۴-۴-۴ تصحیح ارتفاعی (هوای آزاد + بوگه)

معمولاً ایستگاه‌های گرانی با ارتفاع‌های مختلفی اندازه‌گیری می‌شوند. اختلاف ارتفاع‌ها، سبب تغییراتی در شتاب جاذبه اندازه‌گیری شده می‌شوند. با انجام تصحیح ارتفاعی کلیه مقادیر اندازه‌گیری شده به

یک سطح مبنا انتقال داده می‌شود. تصحیح ارتفاعی دارای دو مولفه است: الف- تصحیح هوای آزاد

ب- تصحیح بوگه.

### ز- تصحیح هوای آزاد

با توجه به این که مقدار شتاب جاذبه به صورت فرمول  $g = G \frac{m}{r^2}$  روی سطح مبنا معین می‌شود،

هرچه از این سطح مبنا به اندازه  $h$ ، به طرف بالا حرکت کنیم، مقدار شتاب جاذبه طبق رابطه

$$g = G \frac{m}{(r+h)^2} \text{ کاهش خواهد یافت (تلفورد، ۱۹۹۱). اختلاف دو شتاب جاذبه تاثیر هوای آزاد}$$

می‌باشد. تصحیح هوای آزاد را می‌توان با مشتق‌گیری از رابطه  $g = G \frac{m}{r^2}$  نسبت به  $r$  محاسبه نمود:

$$g = G \frac{m}{r^2} \quad (4-4)$$

$$dg = -2g \frac{h}{r} \quad (5-4)$$

اگر شعاع متوسط زمین  $6367000$  متر در نظر گرفته شود و با توجه به مقدار تئوری گرانی در سطح

دریا و عرض جغرافیایی  $45$  درجه ( $980629$  میلی‌گال)، در این صورت خواهیم داشت:

$$dg = -2g \frac{h}{r} = \frac{-2 \times 980629}{6.367 \times 10^6} \times h \quad (6-4)$$

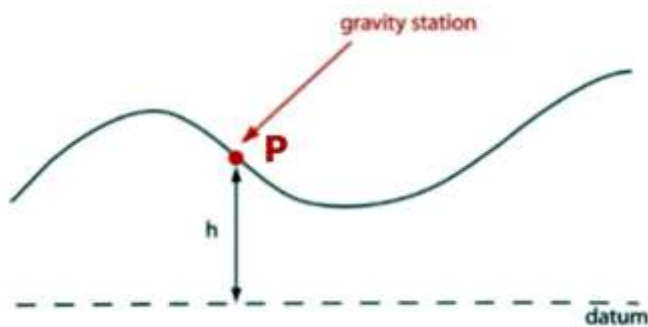
$$dg = \partial g_{fa} = -0.3083 \times h \quad (7-4)$$

که در آن  $h$ ، ارتفاع ایستگاه‌ها نسبت به سطح مبنا بر حسب متر و  $dg_{fa}$ ، تصحیح هوای آزاد بوده و بر

حسب میلی‌گال به دست می‌آید. در ایران مقدار تصحیح هوای آزاد  $0.86/30$  در نظر گرفته می‌شود:

$$\delta g_{fa} = -0.3086 \times h \text{ (mgal)} \quad (8-4)$$

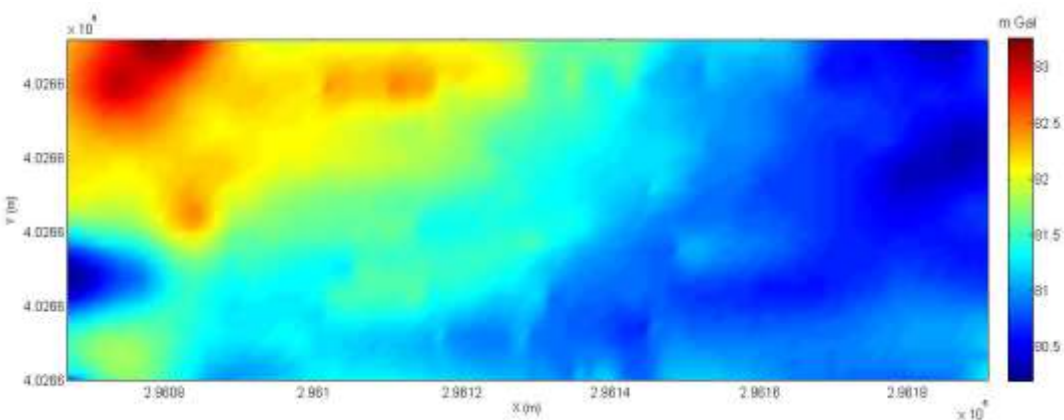
که در آن  $g_{fa}$ ؛ بی‌هنجری هوای آزاد بر حسب میلی‌گال است و  $h$  اختلاف ارتفاع نقطه‌ی اندازه‌گیری از سطح دریا بر حسب متر است.



شکل ۱۵-۴: تصحیح هوای آزاد؛  $P$  نقطه‌ی مشاهده‌ای و  $h$  ارتفاع از سطح دریا [Reynolds, 1997]

مطابق رابطه (۸-۴)، وقتی ارتفاع ایستگاهی افزایش می‌یابد، مقدار گرانی اندازه‌گیری شده نیز در هر متر به اندازه  $0.3086 \times 10^4$  کاهش می‌یابد. بنابراین با اعمال این تصحیح تمام ایستگاه‌های اندازه‌گیری به یک سطح مبنا انتقال می‌یابند. اگر نقطه اندازه‌گیری بالاتر از سطح دریاهای آزاد باشد، تصحیح هوای آزاد به مقدار گرانی قرائت شده اضافه می‌گردد. چنانچه نقطه اندازه‌گیری پایین‌تر از سطح دریا باشد، این مقدار تصحیح از مقادیر قرائت شده کم می‌شود.

تصحیح هوای آزاد مطابق رابطه (۸-۴) در محیط متلب انجام شد و همه‌ی داده‌ها به سطح مبنا که سطح آب‌های آزاد است، منتقل شد. از آنجا که سطح ارتفاع محدوده برداشت بالاتر از سطح آب دریا بوده، در نتیجه مقدار تصحیح هوای آزاد به داده‌های تصحیح شده از مرحله قبل اضافه گشت (شکل ۱۶-۴).



شکل ۱۶-۴: نقشه بی‌هنجاری هوای آزاد محدوده توپل دهملا

## ح- تصحیح بوگ

فرض می‌شود که فضای بین دو صفحه افقی توسط موادی با چگالی  $\rho$  پر شده باشد. جرم محصور بین دو سطح نیز روی مقادیر اندازه‌گیری شده تاثیر خواهد گذاشت؛ که باید تاثیرات این جرم از مقادیر قرائت شده حذف شود و تصحیح مربوط به جاذبه این مواد با در نظر گرفتن یک تخته سنگ با گسترش طول و عرض بینهایت و ضخامت  $h$  و با استفاده از فرمول زیر محاسبه شود (شکل ۱۷-۴).

$$\delta g_b = 2\pi G \rho h \quad (9-4)$$

اگر از شتاب جاذبه نسبت به  $h$  مشتق گرفته شود در نتیجه:

$$\frac{dg_b}{dh} = 2\pi G \rho \quad (10-4)$$

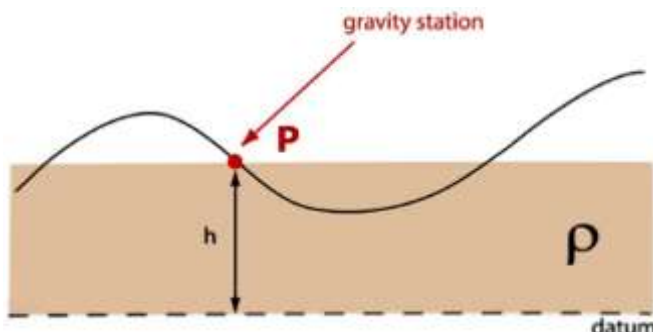
اگر به جای  $G$  مقدار ثابت آن قرار داده شود؛ رابطه (۱۰-۴) به صورت ساده زیر در می‌آید:

$$\frac{dg_b}{dh} = 0.0419 \rho \quad (11-4)$$

اگر فرض شود  $dh = h$  بنابراین خواهیم داشت:

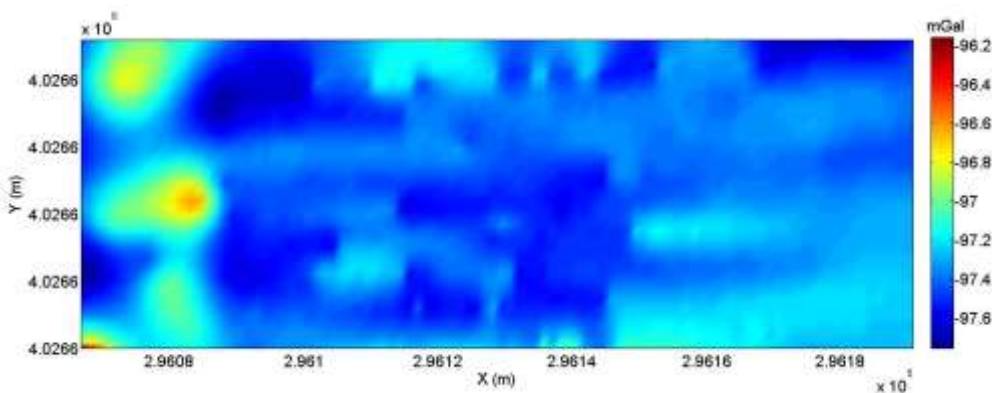
$$\partial g_b = 0.0419 \rho h \quad (\text{mgal}) \quad (12-4)$$

که در آن  $\rho$ ، چگالی رسوبات منطقه بر حسب گرم بر سانتی‌متر مکعب و  $h$  اختلاف ارتفاع نقطه‌ی اندازه‌گیری از سطح دریا بر حسب متر می‌باشد. اگر نقطه اندازه‌گیری بالاتر از سطح مبنا باشد، تصحیح بوگه از مقدار گرانی کم می‌شود و چنانچه نقطه اندازه‌گیری پایین‌تر از سطح مبنا باشد، این مقدار تصحیح به مقادیر قرائت شده اضافه می‌شود.



شکل ۱۷-۴: تصحیح تخته بوگه،  $P$  نقطه‌ی مشاهده‌ای و  $h$  ارتفاع از سطح دریا [Reynolds, 1997]

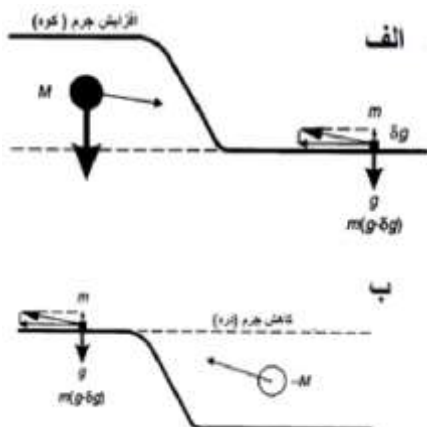
برای انجام تصحیح بوگه نیاز به متوسط چگالی منطقه است که بر اساس اطلاعات زمین-شناسی منطقه و وجود ساختارهای شیل و ماسه سنگ و زغال، در حدود ۲/۵ گرم بر سانتی‌متر مکعب در نظر گرفته شد. اثر گرانی تخته‌ی بوگه مطابق رابطه (۱۲-۴) در محیط متلب محاسبه شد و از مقادیر بی‌هنجری هوای آزاد کم گردید (شکل ۱۸-۴).



شکل ۱۸-۴: نقشه بی‌هنجری بوگه ساده محدوده دهملا

#### ۴-۴-۵ تصحیح توپوگرافی

تصحیح بوگه گفته شده با فرض افقی بودن سطح زمین و پر شدن فاصله بین سطح ژئوئید و سطح زمین از مواد با چگالی  $\rho_b$  صورت گرفت، اما ممکن است در اطراف هر ایستگاه اندازه‌گیری نسبت به سطح افقی که از ایستگاه اندازه‌گیری می‌گذرد، سطح زمین دارای دره (حذف قسمتی از حجم مواد با چگالی  $\rho_b$ ) و کوه (اضافه شدن حجمی از مواد با چگالی  $\rho_b$ ) باشد. جاذبه اندازه‌گیری شده در هر ایستگاه تحت تاثیر جرم‌های ناشی از تپه‌ها و دره‌ها قرار خواهد گرفت. پس علاوه بر تصحیح بوگه، با ایستگاه این بی‌نظمی‌ها بر روی ایستگاه اندازه‌گیری با استفاده از تصحیح توپوگرافی محاسبه شود (شکل ۱۹-۴). با تقسیم توپوگرافی اطراف هر نقطه اندازه‌گیری به زون‌های دور و نزدیک، مقدار تصحیح در هر زون که همواره مثبت بوده محاسبه شده و به گرانی فرائت شده در هر ایستگاه اضافه می‌گردد [Reynolds, 1997].



شکل ۱۹-۴: اثر میدان جاذبه توبوگرافی اطراف یک ایستگاه روی مقدار گرانی اندازه‌گیری شده الف- اثر کوه ب- اثر دره  
[Reynolds, 1997]

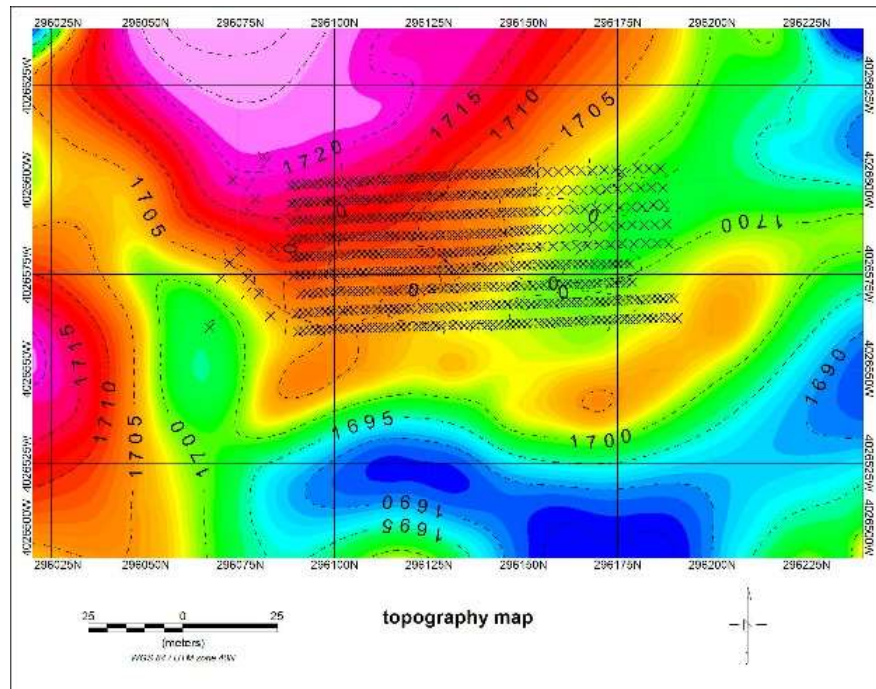
برای زون نزدیک، اثر گرانی هر یک از نقاط اطراف ایستگاه اندازه‌گیری از رابطه زیر استفاده می‌شود  
:[Nagy, 1996]

$$g = GD\emptyset \left( R - \sqrt{R^2 + H^2} + \frac{H^2}{\sqrt{R^2 + H^2}} \right) \quad (13-4)$$

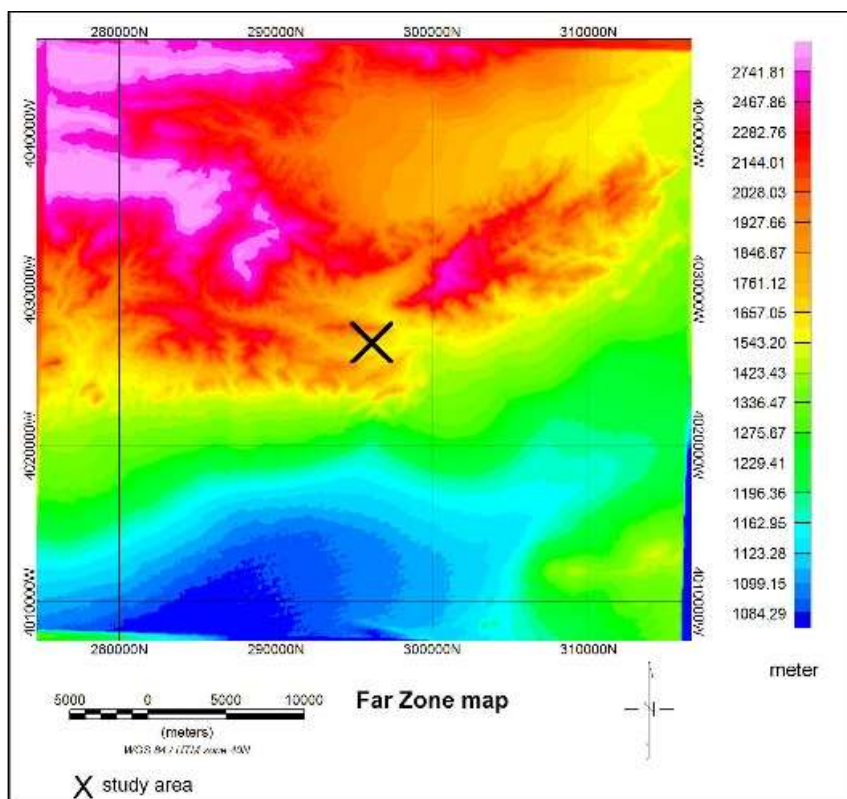
برای زون دور، اثر گرانی هریک از نقاط اطراف ایستگاه اندازه‌گیری با استفاده از منشور مربعی و با فرمول زیر محاسبه می‌شود [Kane, 1962]

$$g = -GD \left| \begin{matrix} Z_2 & | & y_2 & | & x_2 \\ Z_1 & | & y_1 & | & x_1 \end{matrix} \right. x \cdot \ln(y + R) + y \cdot \ln(x + R) + Z \arctan \frac{Z \cdot R}{x \cdot y} \quad (14-4)$$

در این پژوهش برای تصحیح توبوگرافی منطقه، از داده‌های نقشه‌برداری با دوربین برای زون نزدیک و از داده‌های DEM با دقت ۳۰ متر برای زون دور (شکل ۲۰-۴ و شکل ۲۱-۴) در نرم‌افزار ژئوسافت استفاده شد.



شکل ۲۰-۴: نقشه توپوگرافی زون نزدیک منطقه دهملا - شهرود

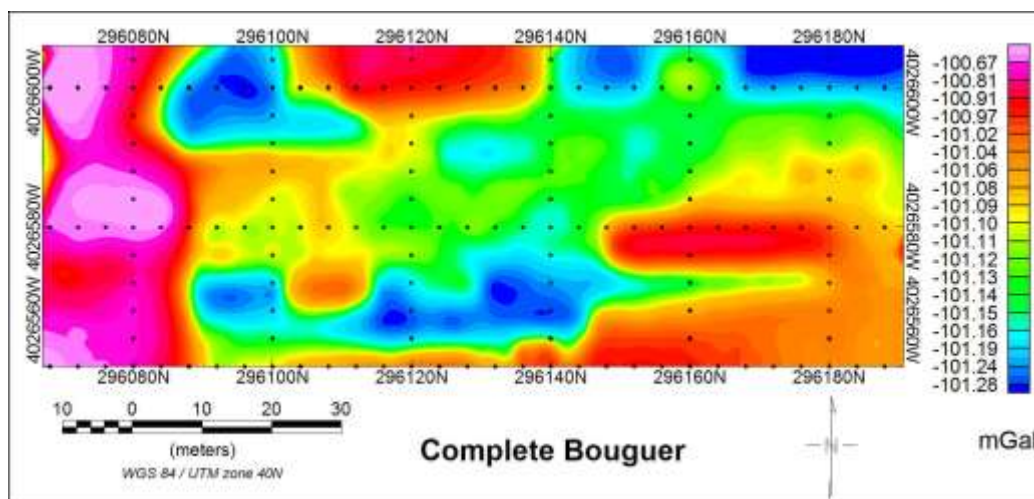


شکل ۲۱-۴: نقشه توپوگرافی زون دور

#### ۶-۴-۴ نقشه بی‌هنجاري بوگه

هدف نهايی از برداشت‌های گرانی دست‌یابی به مقاديری است که بی‌هنجاري بوگه ناميده می‌شود. مقدار بی‌هنجاري بوگه تابعی از اختلاف چگالی سنگ‌ها و مواد و حجم آن‌ها است. بدین ترتیب با اين پارامتر می‌توان اهدافی را شناسایی کرد؛ که دارای اختلاف چگالی مشخص با سنگ‌های میزبان اطراف خود باشند. باید توجه داشت که اثر افزایش اختلاف چگالی روی شدت بی‌هنجاري بوگه بسیار بیشتر از اثر افزایش حجم هدف مورد مطالعه است.

پس از برداشت داده‌های گرانی و اعمال تصحیحات مربوطه، نقشه بی‌هنجاري بوگه کامل محاسبه و ترسیم شد (شکل ۲۲-۴). بی‌هنجاري بوگه کامل ناشی از اثرات ساختارهای سطحی و عمیق می‌باشد که با توجه به هدف مورد نظر و با استفاده از روش‌های ریاضی و آماری، باید این دو اثر را از هم تفکیک نمود.



شکل ۲۲-۴: نقشه بی‌هنجاري بوگه کامل- محدودی معدنی دهملا

#### ۵-۴ پردازش و تفسیر داده‌های گرانی منطقه دهملا

##### ۱-۵-۴ مقدمه

مقدار گرانی بوگه از اثرات زمین‌شناسی زيادي به‌دست می‌آيد. هر الگوي دیده شده در نقشه گرانی

بوگه مجموع گرانی‌های منابع محلی (نزدیک به سطح) و منابع منطقه‌ای (عمیق‌تر) است. به همین علت در اغلب موارد بی‌هنجاري‌های ساختمان‌های مورد توجه، به وسیله بی‌هنجاري‌های منطقه‌ای پنهان می‌شود.

نقشه‌ی بی‌هنجاري بوگه داده‌های گرانی، مجموع اثرات توده‌هایی با چگالی متفاوت در اعماق مختلف می‌باشد که تأثیرات سنگ بستر با تغییرات خطی و ملایم مشخص می‌شوند. این اثرات خطی، بی‌هنجاري ناحیه‌ای نامیده می‌شوند. بی‌هنجاري ناحیه‌ای دارای فرکанс پایین و طول موج بلند می‌باشند، در حالی که بی‌هنجاري‌های باقی‌مانده که به دلیل وجود اجسام زیرسطحی کم عمق هستند، دارای فرکанс بالا و طول موج کوتاه می‌باشند.

مطابق شکل (شکل ۴-۲۲)، در نقشه‌ی بی‌هنجاري بوگه کامل داده‌های گرانی محدوده‌ی مورد مطالعه، تعدادی ناحیه با مقدار گرانی منفی و آبی رنگ دیده می‌شود که می‌تواند ناشی از ساختارهای کم چگال زیرسطحی باشد. برای تفکیک بهتر بی‌هنجاري‌های منطقه، از روش‌های مختلف مانند روند سطحی، گسترش به سمت بالا، مشتقات، فیلترهای فازی و تخمین عمق اویلر استفاده گردید و نقشه‌ی هر کدام رسم گردید.

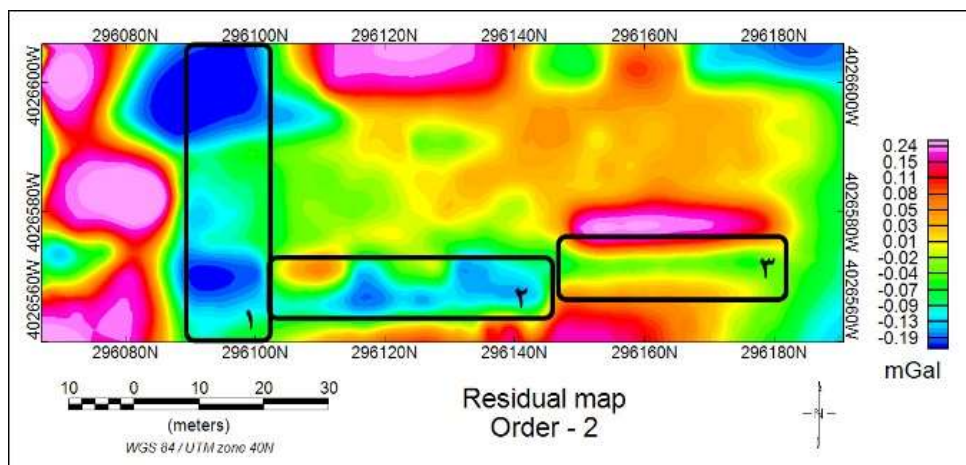
## ۴-۵-۲ روند سطحی

یکی از انعطاف‌پذیرترین روش‌های تحلیلی برای تعیین اثرات ناحیه‌ای، روش روند سطحی است. در این روش، میدان ناحیه‌ای از مقادیر مشاهده‌ای به وسیله روش کمترین مربعات تقریب زده می‌شود. این روش براساس محاسبه سطحی (به روش ریاضی) استوار است که بهترین تطابق را نسبت به مقادیر مشاهده‌ای داشته باشد.

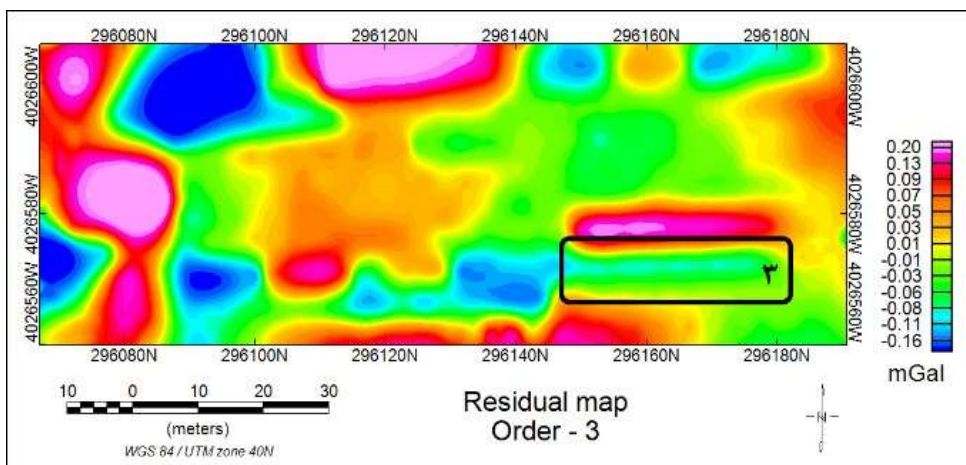
در این روش بر داده‌های گرانی مشاهده‌ای سطحی عبور داده می‌شود که پیچیدگی معادله ریاضی سطح مورد نظر به روند حاکم بر داده‌ها بستگی دارد. درجه روند سطحی به پیچیدگی زمین‌شناسی ناحیه‌ای بستگی دارد. از درجه روند سطحی بیشتر برای همپوشانی بین مقادیر سطح مزبور و مقادیر

داده‌های مشاهده‌ای در شرایط پیچیده‌تر زمین‌شناسی استفاده می‌شود.

برای تفکیک بی‌亨جاری‌ها با استفاده از این روش، در نرم افزار ژئوسافت (Geosoft) نقشه بی‌亨جاری بوگه ناچیه‌ای با اعمال روند سطحی در دو روند متفاوت ۲ و ۳ مورد تفکیک قرار گرفت و نقشه‌های باقی‌مانده حاصل از آن‌ها در شکل‌های (شکل ۲۴-۴) و (شکل ۲۳-۴)، آورده شده است. نقشه‌های باقی‌مانده به خوبی روند بی‌亨جاری محلی منطقه را مشخص می‌کنند که با بی‌亨جاری بوگه نیز تطابق خوبی دارد.



شکل ۲۳-۴: نقشه بی‌亨جاری باقی‌مانده درجه ۲



شکل ۲۴-۴: نقشه بی‌亨جاری باقی‌مانده درجه ۳

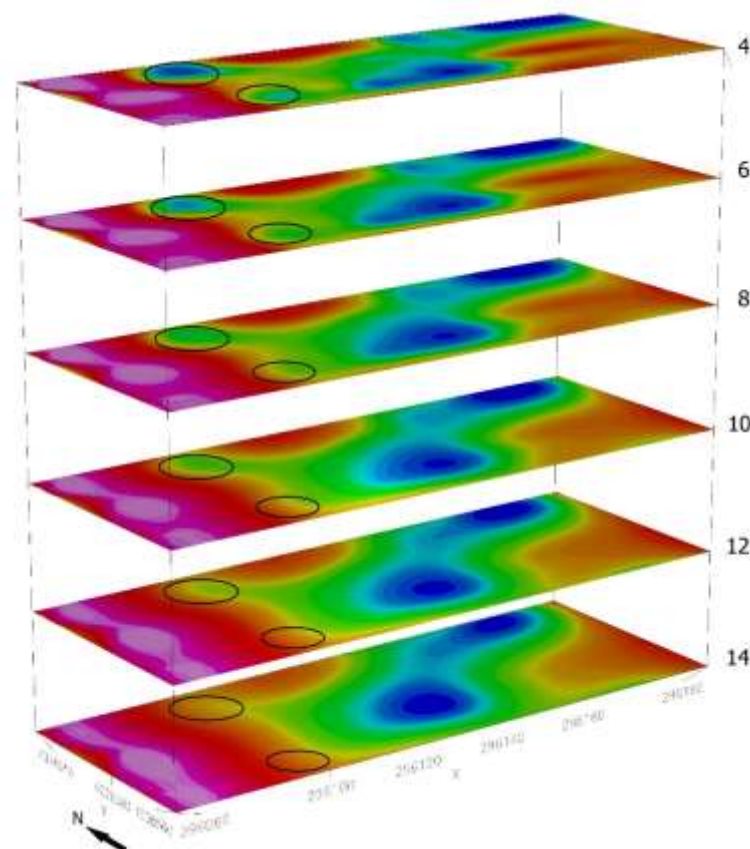
با توجه به نقشه باقیمانده (شکل ۲۳-۴ و شکل ۲۴-۴) چندین بی‌هنگاری مثبت و منفی در شکل قابل تفکیک می‌باشند. از آنجا که مورد مطالعه تونل معدنی، دویل‌های حفاری شده و لایه زغال‌دار می‌باشند و اینگونه ساختارها دارای تباین چگالی منفی نسبت به زمینه اطراف خود هستند. در نتیجه محل‌های کم‌چگال آبی رنگ موقعیت این آثار را نشان می‌دهند. در مختصات طولی ۲۲۹۶۰۹۲ متر (حدوده شماره ۱ در شکل ۲۳-۴) که راستای تونل اصلی را تعیین کرده است، دو بی‌هنگاری با تباین چگالی منفی بالا در ابتدا و انتهای تونل مشاهده می‌شود. این دو بی‌هنگاری انطباق بسیار خوبی با دویل‌های حفاری شده در این ناحیه از منطقه برداشت دارد. همچنین در عرض جغرافیایی ۴۰۲۶۵۶۷ متر و از طول ۲۹۶۱۴۴ تا ۲۹۶۰۹۲ متر (حدوده شماره ۲ در شکل ۲۳-۴) راستای تونل فرعی را می‌توان با دقت خوبی شناسایی نمود. در قسمت ابتدایی تونل فرعی نیز یک دویل حفاری شده وجود دارد که اثر آن در نقشه باقیمانده مشخص شده است. از آنجا که تونل فرعی یک تونل دنباله است و درون لایه زغال‌دار حفر شده است، در مختصات عرضی ۴۰۲۶۵۷۰ متر و طول ۲۹۶۱۷۴ تا ۲۹۶۱۴۴ متر (حدوده شماره ۳ در شکل ۲۴-۴)، یک ناحیه باریک کم‌چگال دیده می‌شود که با توجه به تونل دنباله لایه‌ی حفر شده و توالی لایه‌ی بندی‌های شیل، زغال و ماسه‌سنگ (سازند شمشک) می‌توان نتیجه گرفت که این ناحیه ادامه لایه زغال‌دار باشد.

### ۳-۵-۴ روش گسترش میدان گرانی به سمت بالا

یکی از روش‌های تفکیک بی‌هنگاری میدان‌های پتانسیل، روش گسترش به سمت بالا می‌باشد. با کاربرد این روش تأثیرات سطحی حذف شده و تأثیرات عمیق به وضوح مشخص می‌گردند. در این روش داده‌های میدان پتانسیل به وسیله معادلات ریاضی از یک سطح مبنا بر روی سطوح ترازی در بالای آن تصویر می‌شوند. در نقشه‌های به دست آمده با استفاده از این روش، هرچه از سطح مبنا دور شویم، بی‌هنگاری‌های کوچک با طول موج کوتاه ضعیف شده و در نتیجه بی‌هنگاری‌های منطقه‌ای با

طول موج بلند باقی می‌ماند.

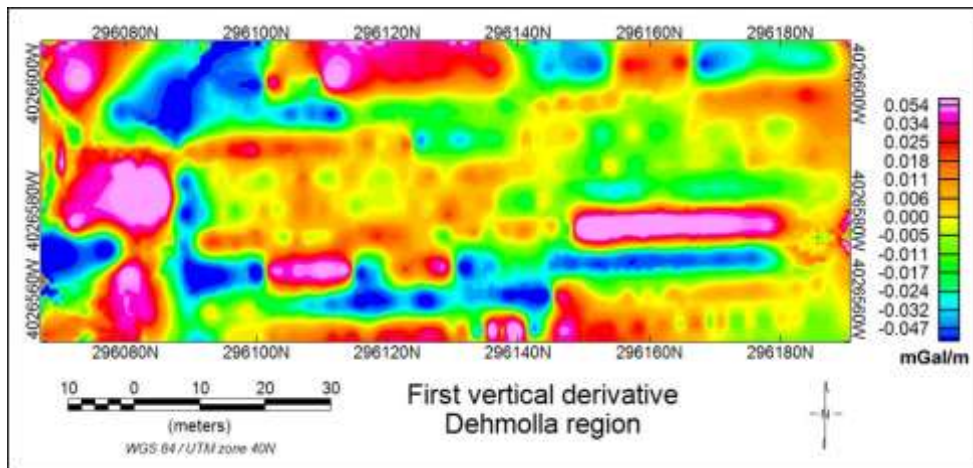
با استفاده از نرم‌افزار Geosoft، روش گسترش میدان گرانی به سمت بالا در ارتفاع‌های مختلفی از ۴ تا ۱۴ متری به فواصل ۲ متری بر روی نقشه بی‌هنجری بوگه اعمال و نقشه‌ی آن‌ها رسم گردید. (شکل ۲۵-۴). نقشه‌های حاصل از این روش در ارتفاع‌های بیش از ۱۴ متر به بالا، تفاوت چندانی با یکدیگر ندارند و این موضوع بیانگر این مطلب است که توده‌ی بی‌هنجر از ریشه بالایی برخودار نبوده و جزء توده‌های سطحی محسوب می‌شود. در واقع در ارتفاعات بالاتر که به صورت روند خطی است، مربوط به اثرات ناحیه‌ای می‌باشد که تا عمق بالا گسترش یافته و بی‌هنجری محلی منطقه به‌طور کامل حذف شده است.



شکل ۲۵-۴: نقشه فیلتر ادامه فراسو در ارتفاع‌های ۴ الی ۱۴ متری با فاصله ۲ متر.

#### ۴-۵-۴ فیلتر مشتق قائم

با توجه به این نکته که بر روی مرز بی‌هنگاری، مشتق قائم صفر می‌باشد می‌توان از نتایج این فیلتر، برای تخمین مرز استفاده کرد. این روش به عنوان یک ابزار مناسب جهت آشکارسازی مولفه‌های میدان پتانسیل با طول موج کوتاه‌تر مربوط به بی‌هنگاری‌های کم عمق می‌باشد. با اعمال این فیلتر بر روی داده‌های گرانی منطقه مورد مطالعه (شکل ۲۶-۴)، مرز دو راستای تونل اصلی و فرعی با دقت قابل قبولی تعیین شده است، همچنین مرز لایه زغال‌دار در انتهای تونل فرعی نیز به خوبی بارز گردیده است. در نتیجه فیلتر مشتق قائم به خوبی مرز بی‌هنگاری مورد نظر را شناسایی کرده و به تفسیر آن کمک نموده است.

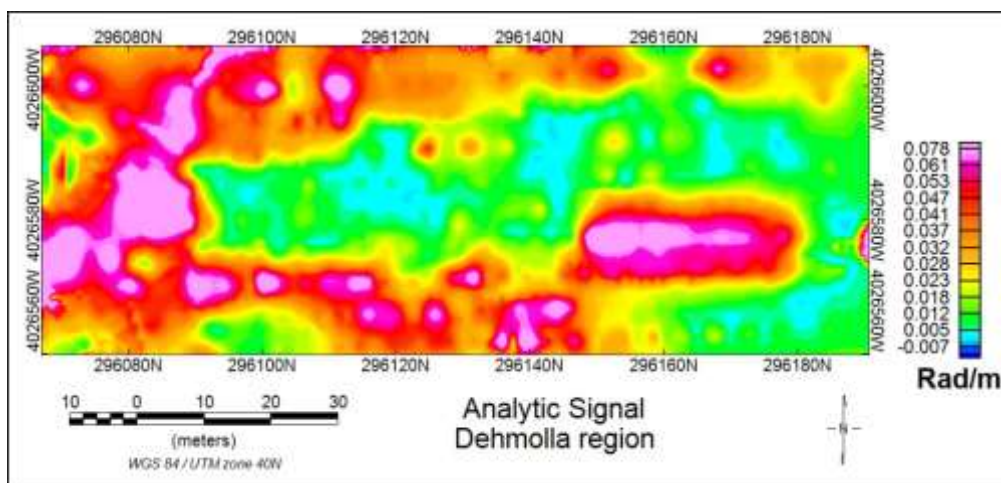


شکل ۲۶-۴: نقشه حاصل از اعمال فیلتر مشتق قائم بر روی داده‌های گرانی منطقه دهملا

#### ۵-۵-۴ فیلتر سیگنال تحلیلی

با توجه به مفاهیم گفته شده در مورد سیگنال تحلیلی جهت تعیین مرز بی‌هنگاری‌ها، از این فیلتر برای شناسایی مرز تونل‌های معدنی استفاده شد (شکل ۲۷-۴). از آنجا که راستای بی‌هنگاری‌ها در امتداد شمالی-جنوبی و شرقی-غربی بوده و در تابع فیلتر سیگنال تحلیلی ترکیب مشتقات افقی و قائم وجود دارد؛ نقشه به دست آمده همانند نقشه مشتق قائم موفق به شناسایی مرز ساختارهای مورد نظر

نشده است. همچنین به دلیل نویه‌ی موجود در داده‌های برداشت شده، محاسبه مشتقات افقی و قائم باعث تشدید این نویه شده و مرزهای بی‌هنگاری به درستی تعیین نشده است.

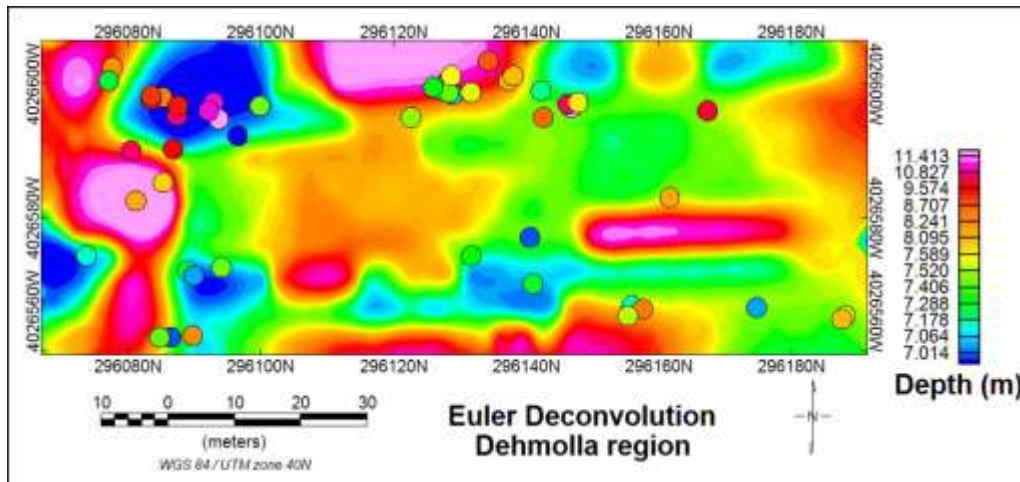


شکل ۲۷-۴: نقشه حاصل از اعمال فیلتر سیگنال تحلیلی بر روی داده‌های گرانی منطقه دهملا

#### ۴-۵-۶ تخمین عمق با استفاده از روش اویلر دیکانولوشن

همان‌طور که گفته شد، روش اویلر یک روش خودکار در تخمین عمق است و معمولاً برای بررسی یک حجم وسیع از داده‌ها به کار می‌رود. یکی از تفاوت‌های عمده روش اویلر با سایر روش‌های دیگر تخمین عمق، این است که در این روش هیچ فرض خاصی در مورد نوع ساختار زمین‌شناسی مورد مطالعه لحاظ نمی‌شود.

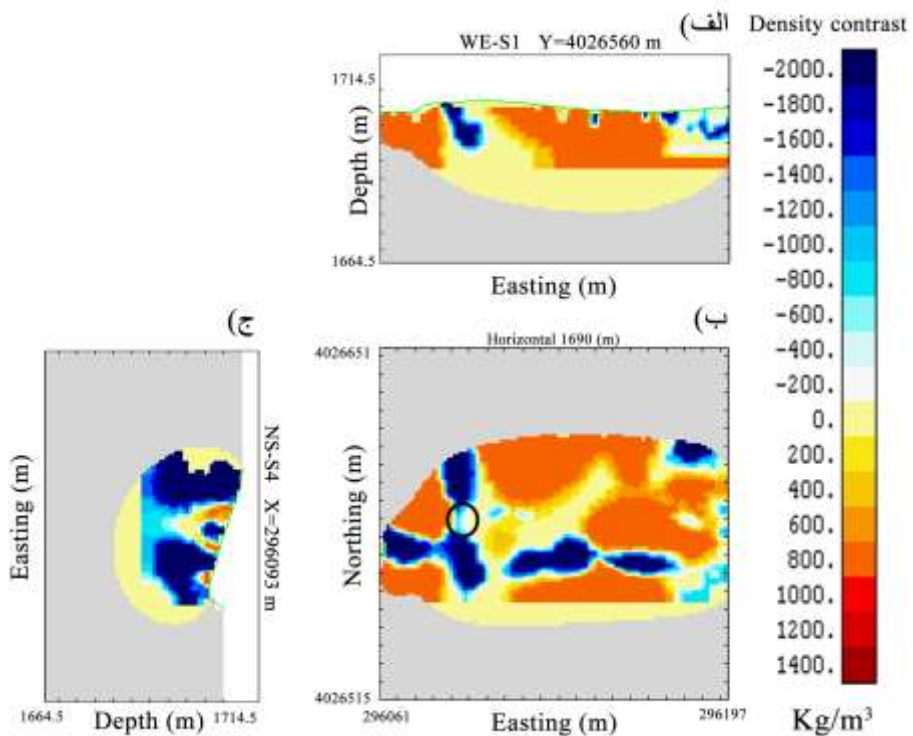
پس از تعیین مرز تونل‌های معدنی در این قسمت، با استفاده از روش اویلر دیکانولوشن عمق این ساختارها به طور کمی تخمین زده شد. در روش اویلر از ضریب ساختاری ۱ و اندازه‌ی پنجره‌ی  $3 \times 3$  با توجه به مقدار اندازه شبکه‌بندی اولیه نقشه بوگه، استفاده شد. در شکل (شکل ۲۸-۴) نتایج روش اویلر مشخص شده است؛ که حداقل عمق تخمین زده شده  $11/5$  متر می‌باشد. از آنجا محدوده دارای دویل‌های سطحی متعدد بوده و ساختارهای نزدیک به سطح در آن زیاد بود، تخمین عمق تا حد قابل قبولی عمق بالای تونل اصلی را تعیین کرد.



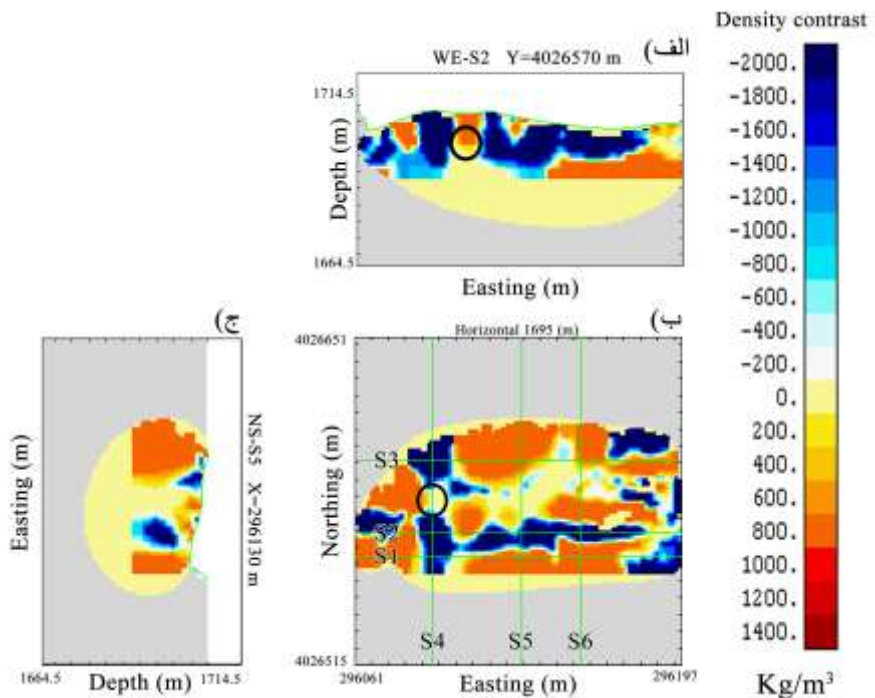
شکل ۲۸-۴: تخمین عمق با استفاده از روش اویلر (ضریب ساختاری ۱ و اندازه‌ی پنجره‌ی  $3 \times 3$ ، نقاط رنگی مکان و عمق تخمین‌زده شده می‌باشند).

#### ۶-۶ مدل‌سازی وارون داده‌های تونل معدنی دهملا

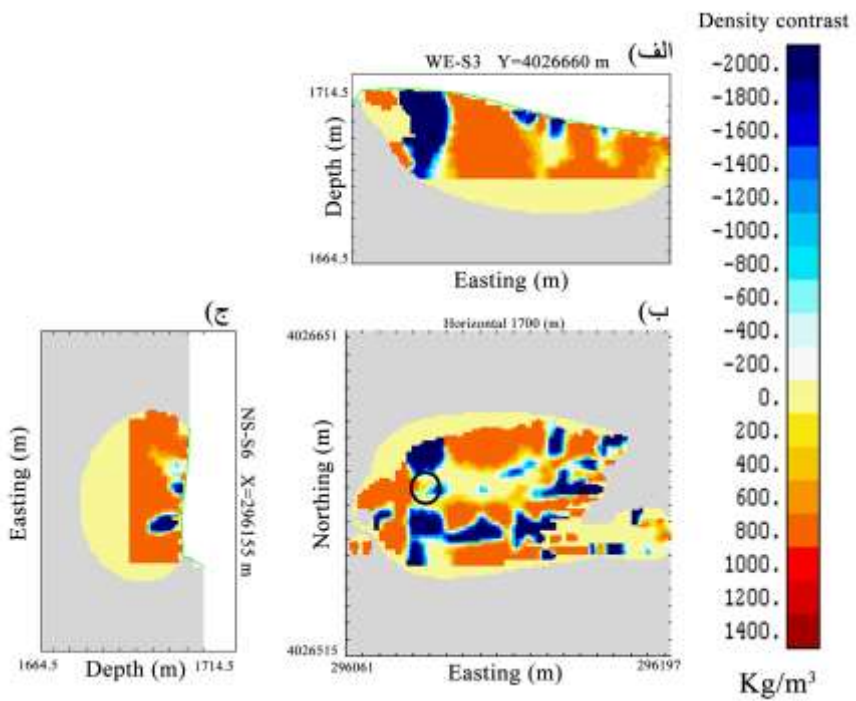
برای مدل‌سازی وارون داده‌ها محدوده دهملا، با توجه به اینکه اسکلت درونی تونل‌های معدنی از آهن ساخته شده است؛ که این مساله باعث کاهش تباین فضای خالی با محیط زمینه می‌شود. حداقل و حداکثر تباین اولیه چگالی ۲۰۰۰ و ۸۰۰ کیلوگرم بر مترمکعب فرض شد و با لحاظ نمودن ساختار تونل و دویل‌های حفاری شده، ضرایب مرتبط با برازش – هموارسازی و همگنی مورد نیاز به ترتیب ۳۰ و ۰/۱ منظور شد. همچنین حداکثر عمق لازم برای شبکه‌بندی سطح زیر زمین برای مدل‌سازی ۲۵ متر (ارتفاع ۱۶۸۵ متر نسبت به ارتفاع متوسط سطح زمین در ۱۷۱۰ متر) و اندازه سلول‌های متوازی السطوح در محدوده یک تا سه متر (از سطح زمین تا عمق ۲۵ متر) انتخاب گردید. بر این اساس محدوده مدل‌سازی به ۹۰۸۹ بلوک تقسیم و مدل‌سازی انجام شد.



شکل ۲۹-۴: نتایج مدل سازی وارون تونل معدنی دهملا. الف- مقطع قائم در عرض های جغرافیایی ۴۰۲۶۵۶۰ متر. ب- مقطع افقی در ارتفاع ۱۶۹۰ متری (عمق ۲۰ متری). ج- مقطع قائم در طول جغرافیایی ۲۹۶۰۹۳ متر. فاصله بین خط نشان ها ۷ متر می باشد.



شکل ۳۰-۴: نتایج مدل سازی وارون تونل معدنی دهملا. الف- مقطع قائم در عرض جغرافیایی ۴۰۲۶۵۷۰ متر. ب- مقطع افقی در ارتفاع ۱۶۹۵ متری (عمق ۱۵ متری). ج- مقطع قائم در طول جغرافیایی ۲۹۶۱۳۰ متر. فاصله بین خط نشان ها ۷ متر می باشد.



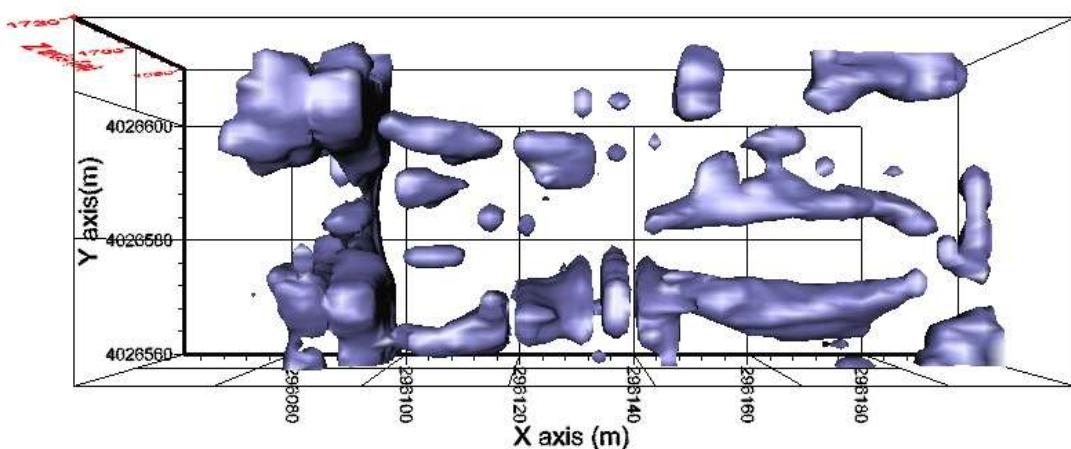
شکل ۳۱-۴: نتایج مدل‌سازی وارون تونل معدنی دهملا. الف- مقطع قائم در عرض جغرافیایی ۴۰۲۶۶۶۰ متر. ب- مقطع افقی در ارتفاع ۱۷۰۰ متری (عمق ۱۰ متری- بالای تونل). ج- مقطع قائم در طول جغرافیایی ۲۹۶۱۵۵ متر. فاصله بین خط نشان‌ها ۷ متر می‌باشد.

پس از انجام مدل‌سازی وارون روی داده‌های گرانی محدوده مورد نظر، نتایج به صورت مقاطع افقی و قائم ارائه شده است. مطابق با شکل‌های شکل ۲۹-۴-ب، شکل ۳۰-۴-ب، شکل ۳۱-۴-ب؛ بخشی از سلول‌ها با تباین چگالی مثبت و بخش بیشتر آن با تباین چگالی منفی نمایش داده شده است، که مطابق با بی‌هنچاری گرانی باقیمانده محدوده مورد نظر است. نتایج مدل‌سازی نشان می‌دهد که عمق تخمینی تونل اصلی که در امتداد شمال-جنوب بوده است در مقاطع مختلف در بازه ۱۰ تا ۲۰ متر نسبت به سطح شیبدار زمین برآورد شده است؛ که تایید کننده عمق واقعی تونل (مشاهدات صحرایی) است. این موضوع تایید کننده نتیجه مناسب مدل‌سازی در این بخش بوده است هرچند با وجود تعداد حفریات معدنی در این محدوده، اثر تداخلی روی نتایج مدل‌سازی نیز وجود داشته است. یکی از این موارد وجود اثر گرانی بالا در میانه امتداد تونل است؛ که به علت تباین چگالی بالا سبب محوش‌دگی نتیجه مدل‌سازی در این بخش شده است (محدوده دایره‌ای مشکی رنگ در شکل ۳۰-۴-

ب). چنین مساله‌ای نیز در مدل‌سازی تونل فرعی به دلیل وجود دویل دیده می‌شود (محدوده دایره‌ای مشکی رنگ در شکل ۳۰-۴-الف). همان‌گونه که پیشتر ذکر شد، تونل فرعی یک تونل دنباله لایه‌بوده و درون لایه زغال‌سنگ حفر شده است، که وجود لایه زغالی با چگالی پایین در مقایسه با لایه‌های شیل و ماسه سنگ باعث کشیدگی و پهن‌شدگی نتیجه مدل‌سازی در این بخش شده است (شکل ۲۹-۴-ب، شکل ۳۰-۴-الف). برای نمایش مناسب تر اثر دویل‌ها روی مدل‌سازی، سه مقطع قائم در ابتدا، انتهای و در طول تونل اصلی تهیه شد که در آنها محل دویل‌ها با تباین چگالی پایین به خوبی قابل مشاهده است (شکل ۲۹-۴-ج، شکل ۳۰-۴-الف، شکل ۳۱-۴-الف). خطای مدل سازی به توجه به پیچیدگی‌های ذکر شده در حدود ۱۲۱ میلی‌گال محاسبه شد. جهت نمایش مدل‌سازی به صورت سه‌بعدی، با تبدیل قالب داده‌های وارون‌سازی شده به محیط نرم‌افزار وکسلر<sup>۱</sup> مدل نهایی با محدود کردن دامنه چگالی بین ۰ تا ۲۰۰۰ محاسبه و ترسیم گردید؛ (

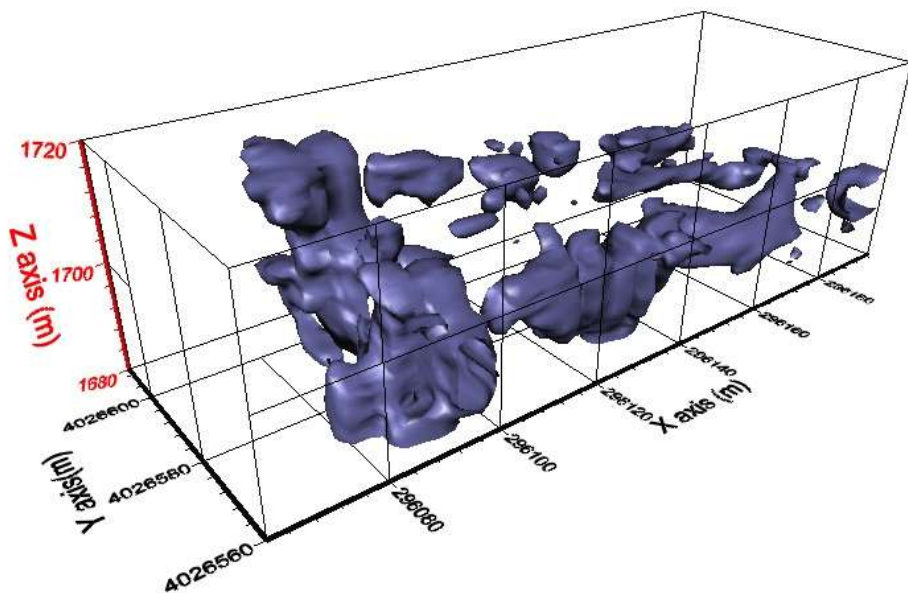
شکل ۳۲-۴ و

شکل ۳۳-۴). همچنین در راستای طولی ۲۹۶۱۰۰ متر و عرضی ۴۰۲۶۵۶۵ متر (شکل ۳۴-۴) و در راستای طولی ۲۹۶۱۰۰ متر و عرضی ۴۰۲۶۵۹۰ متر (شکل ۳۵-۴) مکان دویل‌ها و راستای دو تونل نشان داده شده است.

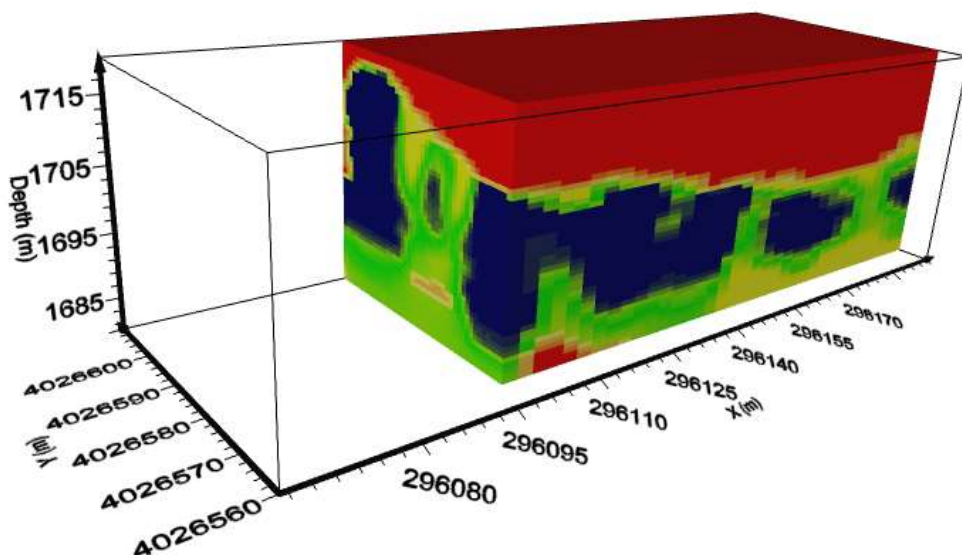


<sup>1</sup> Voxler

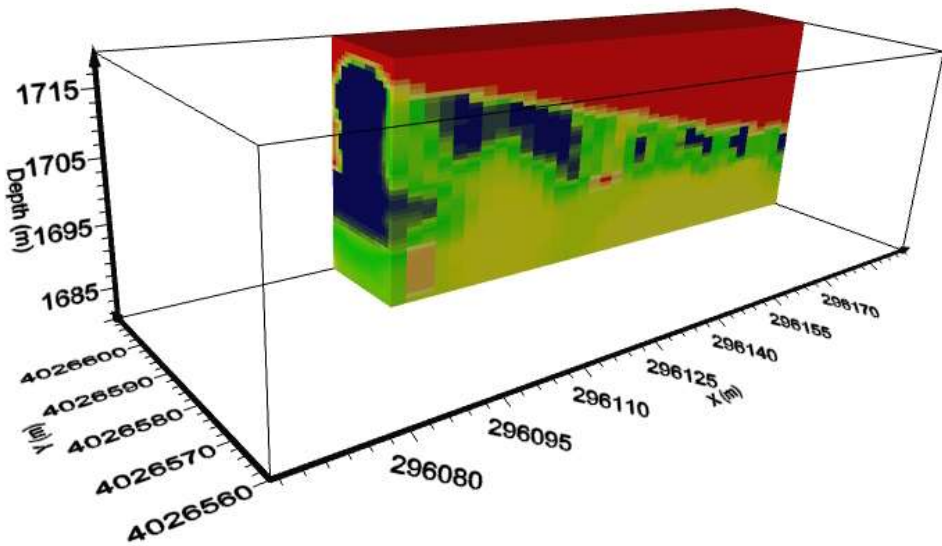
شکل ۳۲-۴: مدل سه بعدی تونل معدنی دهملا؛ نما از بالا (محدود شده به دامنه چگالی ۰ تا ۲۰۰۰)



شکل ۳۳-۴: مدل سه بعدی تونل معدنی دهملا (محدود شده به دامنه چگالی ۰ تا ۲۰۰۰)



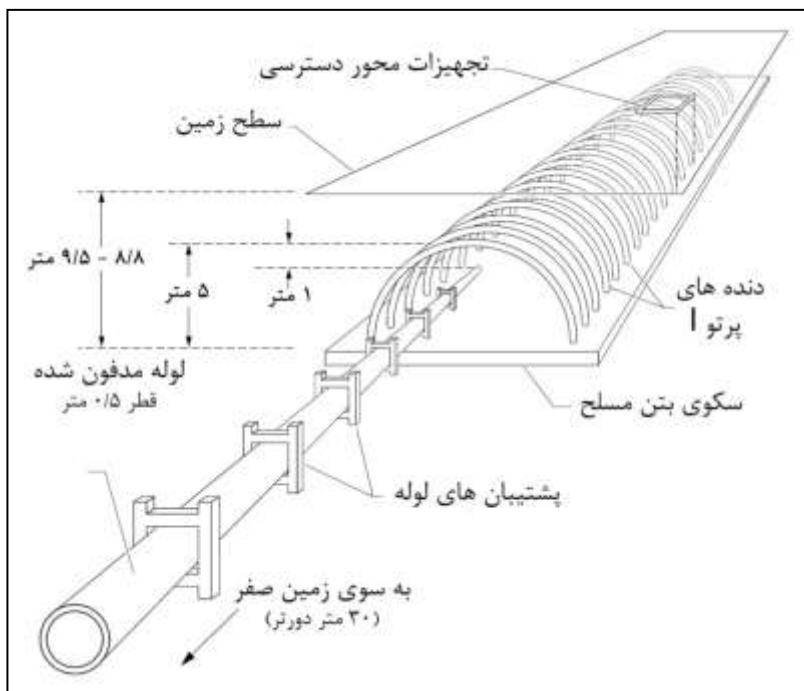
شکل ۳۴-۴: مدل سه بعدی تونل معدنی دهملا؛ راستای تونل فرعی و اصلی



شکل ۳۵-۴: مدل سه بعدی تونلمعدنی دهملا؛ مکان دوبل انتهای تونل و بخشی از لایه زغالدار به طور کامل مشخص است.

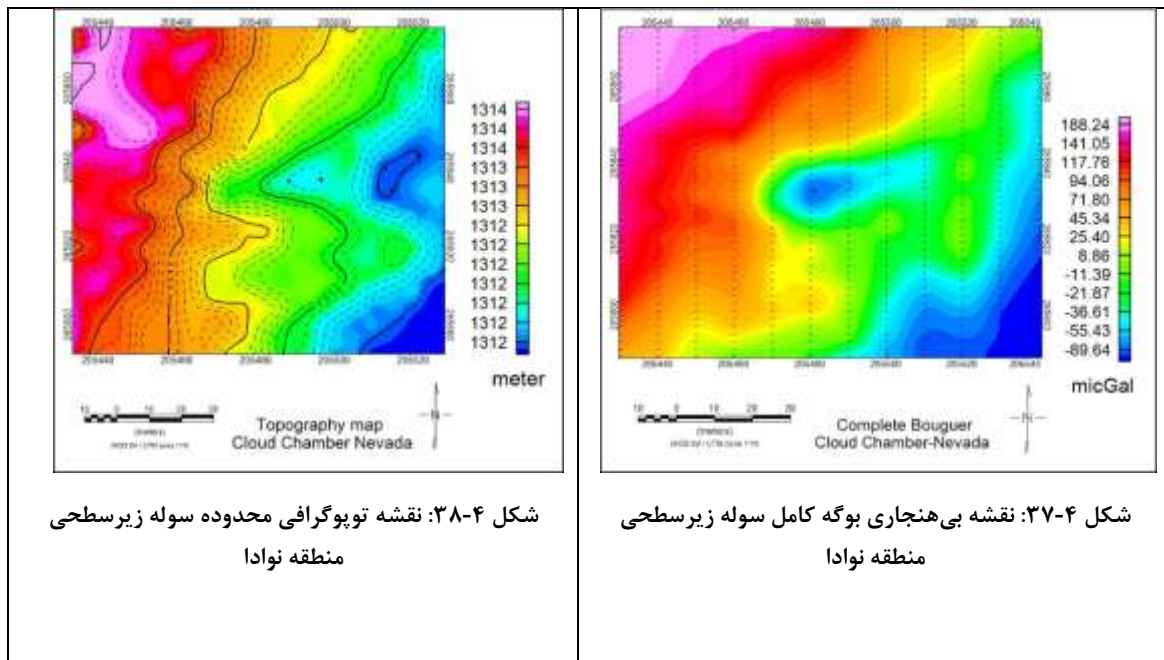
## ۷-۴ مطالعه موردی داده‌های گرانی سوله زیرسطحی نوادا

ساختار مورد مطالعه در این بخش یک سوله زیرسطحی می‌باشد که برای انجام یک سری آزمایش‌های هسته‌ای در سایت آموزشی نوادا-بواکا در آمریکا تاسیس شده است (شکل ۳۶-۴). طول این سوله ۴۳ متر، عمق بالا و پایین آن به ترتیب ۵ و ۱۰ متر و به شکل یک نیم استوانه افقی با شعاع ۵ متر و تباین چگالی ۲۲۰۰ کیلوگرم بر مترمکعب نسبت به محیط اطراف است که در راستای ۷۰ درجه‌ی شمالی-شرقی احداث گردیده است. همچنین شبکه برداشت در محدوده‌ای به ابعاد ۹۴ متر در ۷۶ متر با فاصله خطوط برداشت ۱۰ متر و فاصله ایستگاه‌های ۲ متری انجام شده است [Cogbill, 2002].



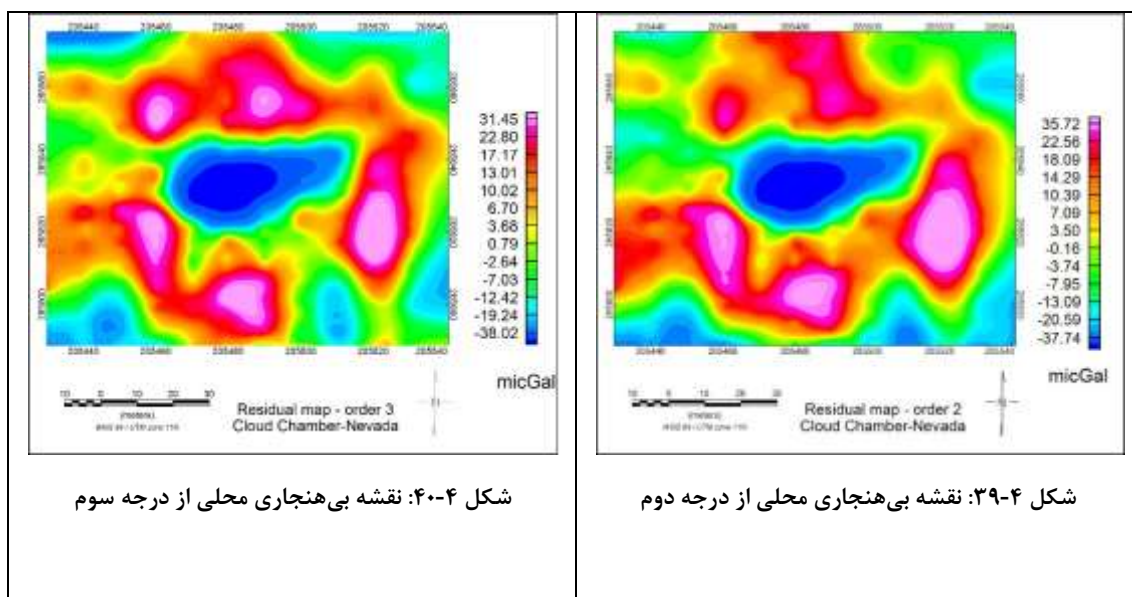
شکل ۳۶-۴: نمایی از سوله زیرسطحی نوادا امریکا. پارامترهای هندسی این محفظه در شکل مشخص شده است [Cogbill, 2002]

در این نوشتار با رقومی سازی داده‌های مربوط به محدوده مطالعه (از مقاله کاگبیل، ۲۰۰۲، ۵۲۸) ایستگاه گرانی بعنوان داده اولیه ایجاد و نقشه بی‌هنجاري بوگه و توپوگرافی محدوده تهیه گردید (شکل ۳۷-۴ و شکل ۳۸-۴). برای محاسبه نقشه بی‌هنجاري محلی از فیلتر روند سطحی درجه دوم و سوم استفاده شد و با جداسازی داده‌های بوگه کامل از این منحنی در نرمافزار ژئوسافت، نقشه بی‌هنجاري باقیمانده به دست آمد (شکل ۳۹-۴ و شکل ۴۰-۴).



شکل ۳۸-۴: نقشه بی‌هنجری محدوده سوله زیرسطحی منطقه نوادا

شکل ۳۷-۴: نقشه بی‌هنجری بوگه کامل سوله زیرسطحی منطقه نوادا



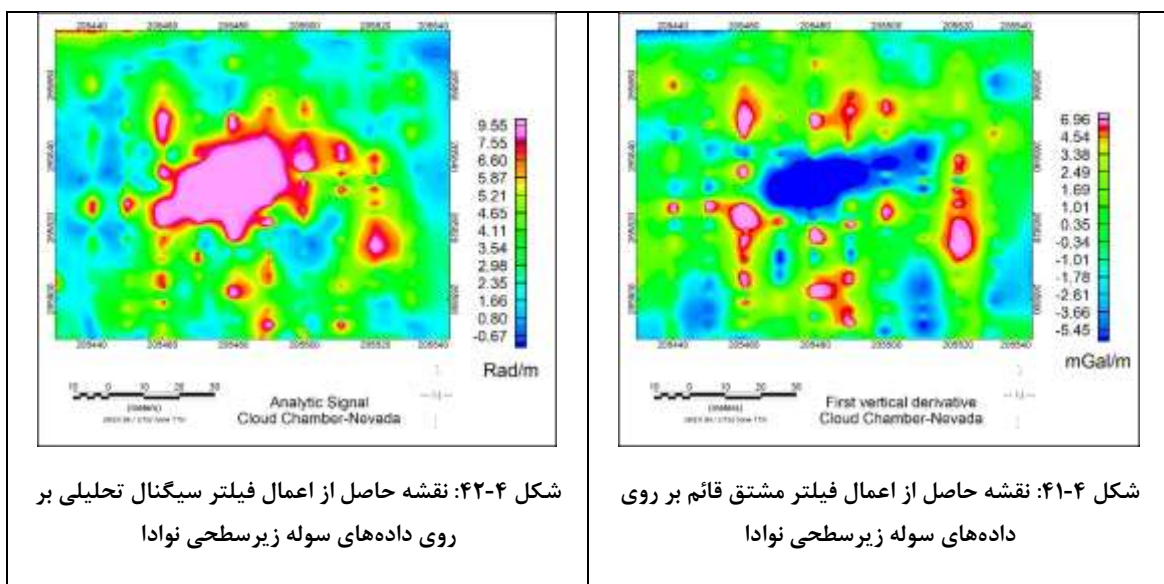
شکل ۴۰-۴: نقشه بی‌هنجری محلی از درجه سوم

شکل ۳۹-۴: نقشه بی‌هنجری محلی از درجه دوم

با توجه به نقشه بی‌هنجری محلی، ناحیه کم چگال آبی در مرکز وجود دارد که متعلق به سوله مورد مطالعه بوده و تا حدودی راستای آن مشخص شده است. به دلیل آنکه تنها منشاء بی‌هنجری با تباین چگالی منفی در مرکز نقشه مورد نظر به علت وجود سوله است. از آنجا که تمام پارامترهای هندسی و فیزیکی سوله مورد نظر در دسترس است، می‌توان از این بی‌هنجری به عنوان یک مدل استاندارد استفاده نمود.

## ۱-۷-۴ فیلترهای مشتق قائم و سیگنال تحلیلی

همانطور که در نقشه بی‌هنجری باقی‌مانده ملاحظه شد، تنها ساختار با تباين چگالی منفی در محدوده مورد بررسی، مربوط به سوله زیرسطحی بوده است. در این بخش جهت تعیین و بارزسازی مرز این ساختار از فیلترهای مشتق قائم و سیگنال تحلیلی استفاده شده است. همانطور که در بخش قبل یاد شد، مقدار مشتق قائم در مرز بی‌هنجری صفر و سیگنال تحلیلی بیشینه مقدار می‌شود. با اعمال این دو فیلتر بر روی داده‌های سوله زیرسطحی نوادا ملاحظه می‌شود که هر دو فیلتر در تعیین مرز بی‌هنجری موفق بوده‌اند (شکل ۴۱-۴ و شکل ۴۲-۴). در خصوص فیلتر مشتق قائم می‌توان گفت که این فیلتر علاوه بر تعیین مرز ساختار مربوطه، توانسته است تا حدودی راستای آن را نیز مشخص نماید.



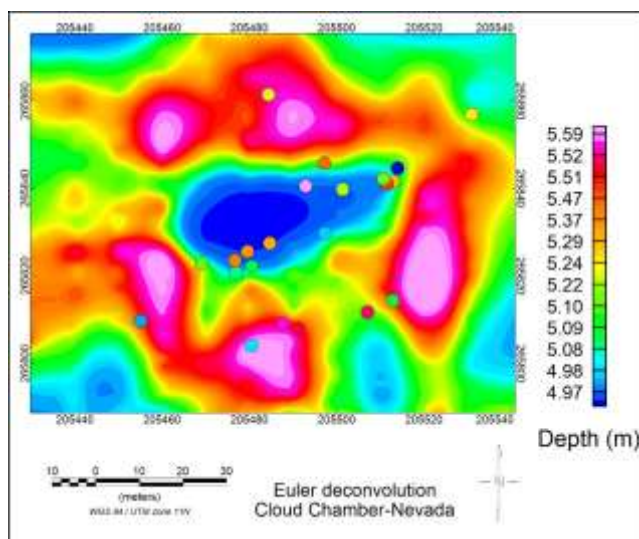
شکل ۴۲-۴: نقشه حاصل از اعمال فیلتر سیگنال تحلیلی بر روی داده‌های سوله زیرسطحی نوادا

شکل ۴۱-۴: نقشه حاصل از اعمال فیلتر مشتق قائم بر روی داده‌های سوله زیرسطحی نوادا

## ۲-۷-۴ تخمین عمق به روش اویلر دیکانولوشن

همانطور که در بخش‌های قبل ملاحظه شد، تumn عمق به روش اویلر دیکانولوشن توانست با تمام عوامل مزاحم موجود در محدوده (نوفره و دویلهای سطحی) تا حدودی عمق تونل زیرسطحی تعیین کند. در نتیجه از این روش جهت تعیین عمق سوله زیرسطحی نیز استفاده شد (شکل ۴۳-۴). مقدار

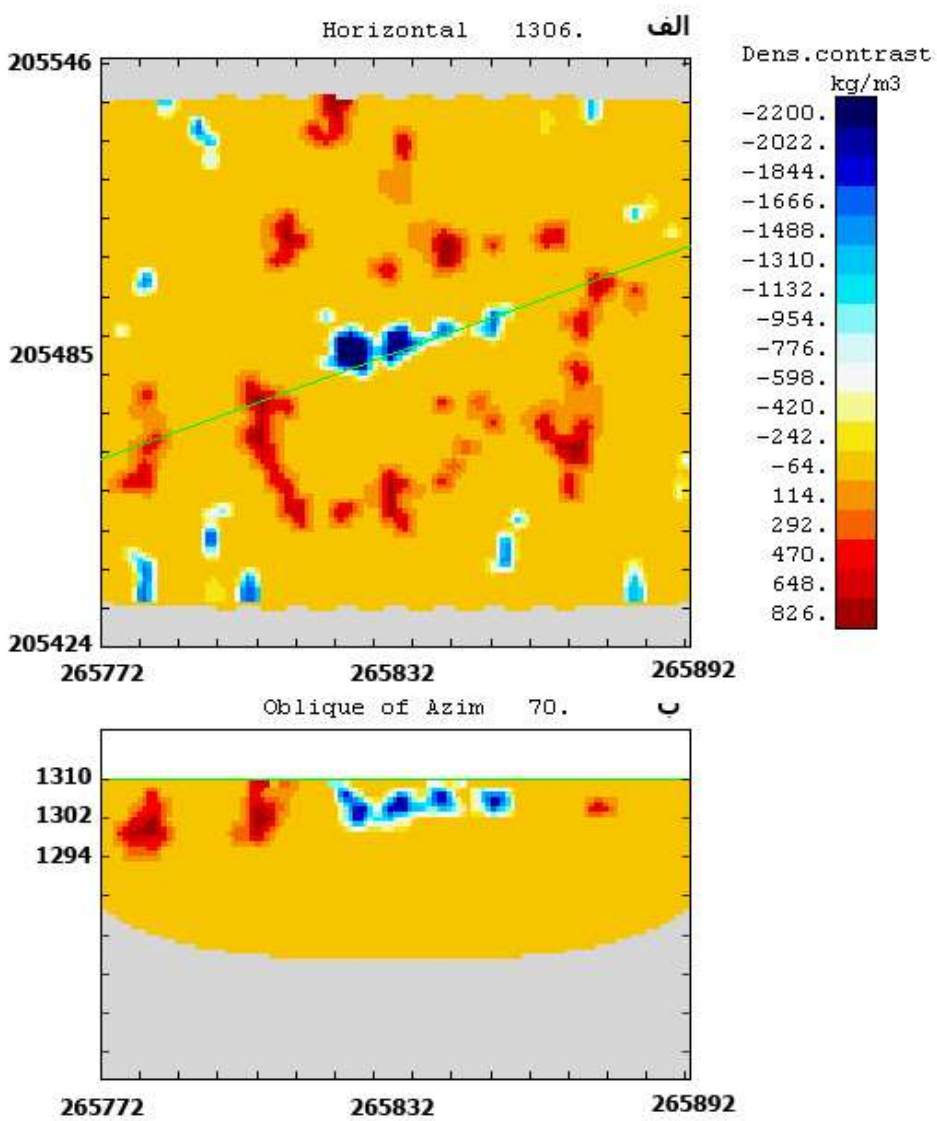
ضریب ساختاری با توجه به شکل استوانه‌ای سوله عدد یک و اندازه پنجره‌های تخمین  $4 \times 4$  انتخاب شد. با توجه شکل (۳۶-۴)، عمق بالای سوله در حدود ۵ متر می‌باشد که در این خصوص روش اویلر توانسته است با دقت خوبی عمق این ساختار را تخمین بزند (۵/۵ متر).



شکل ۴۳-۴: تخمین عمق با استفاده از روش اویلر (ضریب ساختاری ۱ و اندازه پنجره‌ی  $4 \times 4$ ، نقاط رنگی مکان و عمق تخمین‌زده شده می‌باشند.

## ۸-۴ مدل‌سازی وارون سوله زیرسطحی

به منظور انجام فرآیند وارون‌سازی سطح زیر زمین به تعداد ۱۴۰۰۳ سلول متوازی السطوح به ابعاد ۲ تا ۵ متر (از سطح زمین تا عمق ۲۰ متر) تقسیم‌بندی شد. مقدار حداقل و حداکثر تباین چگالی برای مدل‌سازی به ترتیب ۲۲۰۰ و ۸۰۰ کیلوگرم بر متر مکعب انتخاب شد که این مقدار را می‌توان به عنوان یک قید اولیه در نظر گرفت. همچنین مقادیر پارامترهای همگنی و برازش-هموارسازی به ترتیب ۰/۱ و ۰/۱۰ لحاظ گردید. مقدار ۱۰ به دلیل یکدست بودن داده‌های برداشت شده و نوافه ناچیز انتخاب شد تا برازش خوبی بین پارامترهای مدل و داده‌های مشاهده‌ای ایجاد شود. نتایج مدل‌سازی در شکل ۴۴-۴ نشان داده شده است.



شکل ۴-۴: نتایج مدل‌سازی سه‌بعدی به روش کاماچو. الف- مقطع افقی در ارتفاع ۱۳۰۶ متر نسبت به سطح دریا (عمق ۵ متری). ب- مقطع قائم در راستای آزیمoot ۷۰ درجه شمالی-شرقی. فاصله بین خط نشان‌ها ۸ متر است.

با توجه نتایج به دست آمده ملاحظه می‌شود که در شکل ۴-۴-الف راستا و موقعیت سوله به خوبی تعیین شده است. همچنین مدل‌سازی سوله تا عمق ۱۲ متری (۱۲۹۹ متر نسبت به سطح دریا) انجام شده است که این مساله نشان می‌دهد فرآیند وارون‌سازی تا حد قابل قبولی توانسته است عمق پایین بی‌هنگاری (۱۰ متر) را معین نماید. مقطع قائم زده در راستای آزیمoot ۷۰ درجه شمالی-شرقی، گسترش طولی محفظه مدل‌سازی شده را در حدود ۴۰ متر نشان می‌دهد که با مقدار واقعی آن ۴۳ متر اختلاف بسیار ناچیزی دارد (شکل ۴-۴-ب). همچنین خطای مدل‌سازی در حدود ۰/۰۳۴ میلی-

گال به دست آمد. از آنجا که تنها قید اعمال شده برای مدل‌سازی حداقل و حداکثر تباین چگالی بوده است، نتایج به خوبی تخمینی از شکل و عمق بی‌هنجری را ارائه داده است که این مساله توانمندی این روش را در خصوص معکوس‌سازی داده‌های گرانی نشان می‌دهد.





## فصل پنجم

نتایج و پیشہدات

## ۱-۵ جمع‌بندی و نتایج

از جمله روش‌های اکتشاف و شناسایی ساختارهای زیرسطحی نظیر حفره‌ها، تونل‌ها و قنات‌های مدفون استفاده از داده‌های گرانی‌سنجد می‌باشد. نتایج حاصل از مدل‌سازی این‌گونه ساختارها می‌تواند در تفسیر بهتر آنها موثر واقع شده و اهداف بعدی مطالعه را به شکل مطلوب‌تری نمایان سازد. بنابراین با توجه به ساختار مورد مطالعه که یک تونل معدنی است، پس از مطالعه و مشاهدات صحرایی، شبکه برداشت داده‌های گرانی در ۹ پروفیل طراحی شد و سپس عملیات اندازه‌گیری مقادیر گرانی صورت پذیرفت. پس از انجام تصحیحات و پردازش‌های لازم، با استفاده از روش وارون‌سازی کاماچو به صورت متمرکز، فرآیند مدل‌سازی انجام گرفت. البته لازم به ذکر است که هر چه قدر در طراحی شبکه برداشت، تعداد ایستگاه و نحوه اندازه‌گیری دقیق بیشتری صورت گیرد، نتیجه حاصل از مدل‌سازی داده‌های گرانی مناسب‌تر خواهد شد. نتایج این بررسی نشان می‌دهد که روش کاماچو در وارون‌سازی داده‌های گرانی نزدیک به سطح و در حالت متمرکز تا حد بسیار خوبی کارا بوده و مدل ارائه شده با مشاهدات صحرایی تطابق بالایی دارد. تنظیم مقادیر اولیه مدل‌سازی به صورت خودکار و دستی در روش کاماچو این امکان را می‌دهد تا بتوان ابتدا در حالت خودکار معیاری نسبی از این مقادیر به دست آورده و سپس در حالت دستی آنها را بهینه کرد. از آنجا که محدوده مورد مطالعه دست‌خوش تغییرات و پیچیدگی‌های از جمله حفر چندین دویل سطحی و لایه‌ی زغال‌دار می‌باشد، مدل نهایی در برخی مناطق دچار اختلال شده اما در مجموع عوامل یاد شده را نشان داده است. عمق تخمینی بالا و پایین تونل در راستای پروفیل اول به کمک روش وارون‌سازی کاماچو به ترتیب در حدود ۱۰ و ۱۵ متر برآورد شد که نزدیک به مقدار واقعی در منطقه مورد مطالعه می‌باشد. همچنین لایه زغال‌دار بین لایه‌های شیل و ماسه‌سنگ در انتهای تونل انحرافی، به دلیل تباین چگالی مناسب آن، شناسایی و مدل‌سازی گردید. در مدل نهایی موقعیت حفریات سطحی و گسترش عمقی آنها به خوبی مشخص شد که این نتیجه می‌تواند امکان استفاده از این روش را در چنین ساختارهای بالا ببرد. لازم به ذکر

است که خطای مدل‌سازی با این روش و در این مطالعه در حدود ۱۲٪ میلی‌گال به دست آمد.

در خصوص داده‌های سوله زیرسطحی نوادا، مدل‌سازی کاملاً به صورت متمرکز انجام گرفت. گسترش طولی، عرضی و عمقی سوله به خوبی با مقادیر واقعی آن تطابق داشت و به دلیل مدل‌سازی کامل سوله، ضریب برازش-هموارسازی پایین انتخاب شد که این مساله تا حدودی باعث مدل‌سازی نوفه نیز شد. خطای مدل‌سازی در این مطالعه در حدود ۳۴٪ میلی‌گال به دست آمد. جهت به دست آوردن نتایجی بهتر می‌باشد ابعاد شبکه‌بندی زیرسطحی را کوچک‌تر انتخاب کرد که این کار مستلزم وجود داده‌های با دقت مناسب بر روی هر سلوول در سطح برداشت است. با این وجود فواصل بین ایستگاه‌های اندازه‌گیری کمتر می‌شود که این مساله در شناسایی حفرات زیرسطحی در یک محدوده کوچک توجیه‌پذیر است. از اقدامات لازم و اساسی جهت طراحی شبکه برداشت و اندازه‌گیری داده‌ها، مطالعه دقیق زمین‌شناسی منطقه و ساختار مورد مطالعه می‌باشد که نقش مهمی در تعیین ضرایب اولیه مدل‌سازی دارد.

## ۲-۵ پیشنهادات

- جهت مدل‌سازی دقیق‌تر ساختارهایی نظیر تونل‌ها و حفره‌ها استفاده از روش‌های ژئوفیزیکی کمکی بسیار کارآمد است و پیشنهاد می‌شود با تلفیق داده‌های گرانی‌سنگی و ژئوالکتریک (و یا لرزه‌نگاری) اینگونه ساختارها را مدل‌سازی نمود.

- یکی از مهمترین بخش‌ها در مدل‌سازی، صحت داده‌های اندازه‌گیری شده و کاهش میزان خطای در آنهاست که به دلیل بسیاری از عوامل ناخواسته اجتناب ناپذیر است. به همین خاطر در وارون‌سازی ویژگی به نام ماتریس همبستگی داده‌ها وجود دارد که درایه‌های آن میزان خطای قرائت هر ایستگاه می‌باشد که برای راحتی کار میزان این خطا با متوسط‌گیری و اعمال تنها یک عدد برای کلیه داده‌ها انجام می‌شود. این مساله در مناطقی که نوفه بیشتری در داده‌ها وجود دارد ایجاد اختلال کرده و مدل ساخته شده از واقعیت دور خواهد بود. به

همین منظور پیشنهاد می‌شود برای انجام فرآیند مدل‌سازی با دقت بالا، مقادیر خطای اندازه-

گیری در هر ایستگاه بدون متوسط‌گیری و لحاظ تمامی آنها انجام شود.

• در برخی مناطق ساختارهای مورد مطالعه به خوبی مدل‌سازی نشدند. در این خصوص

پیشنهاد می‌شود علاوه بر افزایش دقت در اندازه‌گیری (بویژه جلوگیری از لرزش دستگاه

هنگام وزش باد) و افزایش تعداد دفعات قرائت، نسبت به طراحی شبکه برداشت چگال‌تر در

مناطقی که اثر تونل مخدوش شده است اقدام نمود.

• همواره استفاده‌ی تنها از یک روش وارون‌سازی و حصول نتیجه کافی نبوده و پیشنهاد می-

شود فرآیند مدل‌سازی اینگونه ساختارها با کمک سایر روش‌های وارون‌سازی (سیخون،

ژادونف و باربوسا) انجام و نتایج با هم مقایسه شود؛ تا بتوان بهترین تصمیم‌گیری را شناسایی

اهداف بکار گرفت.



## منابع و مأخذ

آقاجانی، ح.، مرادزاده، ع. و هوآلین، ز.، (۱۳۸۸) "تخمین موقعیت افقی و عمق آنومالی‌های گرانی با استفاده از گرادیان کل نرمال شده (NFG)" مجله علوم زمین، سازمان زمین‌شناسی و اکتشافات کشور، شماره ۱۴، ص ۳۵.

ابراهیم زاده اردستانی، و.، (۱۳۸۹) "گرانی‌سنگی کاربردی" چاپ اول، انتشارات دانشگاه تهران، تهران، ۲۳۰ صفحه.

جهانداری، ه.، (۱۳۸۸)، برگدان سه بعدی داده‌های مغناطیسی با استفاده از الگوریتم غیرخطی مارکوارت - لونبرگ و مقایسه آن با نتایج مدل‌سازی داده‌های گرانی کاذب، پایان‌نامه کارشناسی‌ارشد، موسسه ژئوفیزیک، دانشگاه تهران، ۱۳۸.

توكلی، ش.، (۱۳۷۵)، "ژئوفیزیک (رشته زمی‌شناسی)" انتشارات دانشگاه پیام نور، ۲۲۰.

حدادیان آ.، (۱۳۹۰)، پایان‌نامه کارشناسی‌ارشد، "شناسایی دقیق مرزهای توده‌های آنومال در اکتشاف روش‌های میدان پتانسیل با فیلترهای فاز محلی"، دانشکده مهندسی معدن، نفت و ژئوفیزیک، دانشگاه شاهروд.

دولتی ارده جانی، ف.، (۱۳۷۲)، برداشت اطلاعات خام و تعبیر و تفسیر گرانی‌سنگی منطقه اکتشافی . مرودشت، پایان‌نامه کارشناسی‌ارشد، دانشگاه امیر کبیر (دانشکده معدن)، تهران، ۲۲۱.

دولتی ارده جانی ف، (۱۳۷۵)، "تفکیک آنومالی‌های گرانی منطقه بابلسر به روش روند سطحی ارتونرمال" نهمین کنفرانس ژئوفیزیک ایران، تهران.

عبدی، م.، افشار، ا.، ابراهیم زاده اردستانی، و.، و نوروزی، غ. مدل سازی دوبعدی داده‌های گرانی با استفاده از روش معکوس سازی فشرده و معیار توقف تغییر چگالی. مجله ژئوفیزیک ایران، جلد ۵، شماره ۱، صفحه ۹۲، ۱۰۸ - ۱۳۹۰.

کلاگری، ع.ا.، (۱۳۷۱)، اصول اکتشافات ژئوفیزیکی، ۵۸۵.

نجاتی کلاته، ع.، (۱۳۸۳)، مدل‌سازی معکوس دو و سه بعدی داده‌های گرانی‌سنگی با استفاده از روش وارون سازی فشرده، پایان‌نامه کارشناسی‌ارشد، موسسه ژئوفیزیک، دانشگاه تهران، ۱۲۳.

نجاتی کلاته، ع.، (۱۳۸۸)، وارون‌سازی دوبعدی غیرخطی داده‌های مغناطیسی با استفاده از روش زیرفضا، پایان‌نامه دکتری، موسسه ژئوفیزیک، دانشگاه تهران، ۱۴۲.

نوروزی، غ.، (۱۳۸۸) "ژئوفیزیک اکتشافی" چاپ سوم، انتشارات دانشگاه تهران، ۵۷۴ صفحه.

- Al-Chalabi M. (1971). Some studies relating to non-uniqueness in gravity and magnetic inverse problem. *Geophysics* 36, 835–855. DOI: 10.1190/1.1440219.
- Ardestani, V. E. (2008). Modelling the karst zones in a dam site through micro-gravity data. *Exploration Geophysics*, 39(4), 204-209.
- Ardestani E. V. (2009). Sink-hole modeling at a power plant site using microgravity data. *Journal of the Earth & Space Physics* 35(2), 1-8.
- Arzi AA. (1975). Microgravimetry for engineering applications. *Geophysics* 23, 408–425. DOI: 10.1111/j.1365-2478.1975.tb01539.x
- Benderitter Y (1997). Karst et investigations géophysiques [Karst and geophysical investigations]. *Hydrogéologie* 3:19–30
- Beres M, Luetcher M, Paymond O (2001). Integration of penetrating radar and microgravimetric methods to map shallow caves. *J Appl Geophys* 46:249–262
- Bishop, I., Styles, P., Emsley, S. J., & Ferguson, N. S. (1997). The detection of cavities using the microgravity technique: case histories from mining and karstic environments. Geological Society, London, Engineering Geology Special Publications, 12(1), 153-166.
- Blakely, R.J., (1995). Potential Theory in Gravity and Magnetic Applications. Cambridge University Press, New York: 435pp.
- Blizkovský M., (1979). Processing and applications in microgravity surveys. *Geophysical Prospecting*, 27, 4, 848–861.
- Butler, D. K., and Murphy, W. L., (1980). Evaluation of geophysical methods for cavity detection at the WES cavity test facility: Tech. Rep. CL-80-4, U. S. Army Engineer Waterways Experiment Station, CE, Vicksburg, MS.
- Butler D. K. (1984). Microgravimetric and gravity gradient techniques for detection of subsurface cavities. *Geophysics* 49(7), 1084-1096. DOI:10.1190/1.1441723
- Camacho, A. G., Vieira, R., Montesinos, F. G., & Cuéllar, V. (1994). A gravimetric 3D global inversion for cavity detection. *Geophysical prospecting*, 42(2), 113-130.
- Camacho A. G., F. G. Montesinos and R. Vieira (2002). A 3-D gravity inversion tool based on exploration of model possibilities. *Computers and Geosciences* 28, 191–204. DOI: 10.1016/s0098-3004(01)00039-5
- Camacho, A. G., Nunes, J. C., Ortiz, E., França, Z., & Vieira, R. (2007). Gravimetric determination of an intrusive complex under the Island of Faial (Azores): some

- methodological improvements. *Geophysical Journal International*, 171(1), 478-494.
- Camacho A.G., Gottsmann J. and Fernández Ndez J. (2011a). The 3-D gravity inversion package GROWTH2.0 and its application to Tenerife Island, Spain. *Computers and Geosciences* 37, 621–633. DOI:10.1016/j.cageo.2010.12.003
- Chalikakis, K., Plagnes, V., Guerin, R., Valois, R., & Bosch, F. P. (2011). Contribution of geophysical methods to karst-system exploration: an overview. *Hydrogeology Journal*, 19(6), 1169-1180.
- Cogbill, A.H. (2002). Gravity variations observed from a detailed gravity survey at the NTS cloud chamber. Society of Exploration Geophysicists, 794-797 pp.
- Colley G.C. (1963). The detection of caves by gravity measurements. *Geophysics Prospecting* 11, 1–9. DOI: 10.1111/j.1365-2478.1963.tb02019.x
- Cooper G. R. J., (2006), Interpreting potential field data using continuous wavelet transforms of horizontal derivatives, *Comput, Geosci.* vol.32, pp. 984-992.
- DANIELS, J. (1988). Locating caves, tunnels and mines. *Geophysics: The Leading Edge of Exploration*, 7, 32-37.
- De Giorgi, L., & Leucci, G. (2014). Detection of hazardous cavities below a road using combined geophysical methods. *Surveys in Geophysics*, 35(4), 1003-1021.
- Dobrin, M.B. and Savit, C.H. (1988). Introduction to geophysical prospecting. 4<sup>th</sup> edition, McGraw-Hill (New York), pp 867.
- Durrheim R.J. and Cooper G.R.J. (1998). A Program for the Euler deconvolution of magnetic and gravity data. *Computers & Geosciences*, 24, NO.6, PP. 545-550.
- Fauchard C, Pothérat P (2004). Détection de cavités souterraines par méthodes géophysiques [Underground cavities detection using geophysical methods]. Guide technique, Laboratoire Central des Ponts ET Chaussées, Paris, 170pp
- Fajkiewicz Z., (1976). Gravity vertical gradient measurements for the detection of small geologic and anthropogenic forms. *Geophysics*, 41, 5, 1016–1030.
- FitzGerald D., Reid A. and McInerney P. (2004). New Discrimination Techniques for Euler Deconvolution. *Computers and Geosciences*, 30, PP. 461-469.
- Franklin A. G., Patrick D. M., Butler D. K., StrOhm W. E. and Hynes-Griffin M. E. (1980). Siting of Nuclear Facilities in Karst Terrains and other Areas Susceptible to Ground Collapse. NUREG Report CR-2062, U. S. Nuclear Regulatory Commission.
- Gottsmann J., Camacho A. G., Martí J., Wooller L., Fernández J., Garcia A. & Rymer H. (2008). Shallow structure beneath the Central Volcanic Complex of Tenerife from

- new gravity data: Implications for its evolution and recent reactivation. Physics of the Earth and Planetary Interiors 168(3), 212-230.
- Grant, F.S., and West, G.F. (1965). Interpretation Theory in Applied Geophysics. McGraw-Hill Book Company, pp 583.
- Gutiérrez F, Cooper HA, Johnson KS (2008). Identification, prediction and mitigation of sinkhole hazards in evaporate karst areas. Environ Geol 53:1007–1022
- Heiskanen, W.A. and Moritz, H. (1967) Physical Geodesy, Freeman, San Francisco, 364p.
- Hinze W. J. (1990). The role of gravity and magnetic methods in engineering and environmental studies. In: Ward (Ed), "Geotechnical and environmental geophysics" The Society of Exploration Geophysicists, 75-126.
- Hood P.J. (1963). Gradient measurements in aeromagnetic surveying. Geophysics, V, 30, NO. 1. PP. 891-902.
- Hoover RA (2003). Geophysical choices for karst investigations. In: Beck BF (ed) Sinkholes and the engineering and environmental impacts of karst. American Society of Civil Engineers, Reston, VA, pp 529–538
- Kane M. F. (1962). A comprehensive system of terrain corrections using a digital computer. Geophysics 27(4), 455-462. DOI: 10.1190/1.1439044
- Kis, M., Detzky, G., & Koppan, A. (2013). 3D FE Modelling of Gravity-driven Rock-deformations for the Estimation of Cavity Effect and Sensitivity. In 7th Congress of the Balkan Geophysical Society.
- Li X. (2006). Understanding 3D analytic signal amplitude. Geophysics, 71(2) L13-L16.
- Menke, W. (2012). Geophysical data analysis: discrete inverse theory. Academic press.
- Nabighian M. (1972). The analytic signal of two-dimensional magnetic bodies with polygonal cross-section: Its properties and use for automated anomaly interpretation. Geophysics, 37 (3), 507- 517.
- Nagy D. (1966). The prism method for terrain corrections using digital computers. Pure and applied geophysics 63(1), 31-39. DOI: 10.1007/bf00875156
- Neumann R (1965). La gravimétrie de haute précision: application aux recherches de cavités [High precision gravimetry: application to cavities research]. Geophys Prospect 15:116–134
- Oh, S., & Suh, B. (2010). Bayesian Inversion for Cavity Investigation. Geosystem Engineering, 13(3), 83-90.

- Pánisová, J., & Pašteka, R. (2009). The use of microgravity technique in archaeology: A case study from the St. Nicolas Church in Pukanec, Slovakia. Contributions to Geophysics and Geodesy, 39(3), 237-254.
- Parker R. L., (1972). The rapid calculation of potential anomalies. Geophysical Journal of the Royal Astronomical Society 31, 447-55.
- Peters, L.J. (1949). The direct approach to magnetic interpretation and its practical application. Geophysics 14, pp. 290-320.
- Pick M., Picha J. and Vyskocil, V. (1973). Theory of the Earth's gravitational field. Amsterdam, 538pp.
- Pivetta, T., & Braitenberg, C. (2015). Laser-scan and gravity joint investigation for subsurface cavity exploration—The Grotta Gigante benchmark. Geophysics, 80(4), B83-B94.
- Reid A.B., Allsop J.M, Granser H., Millett A.J. and Somerton I.W. (1990). Magnetic interpretation in three dimensions using Euler deconvolution. Geophysics, V. 55, NO. 1, PP. 80-91.
- Rene', R.M., (1986). Gravity inversion using open, reject, and "shape-of-anomaly" fill criteria. Geophysics 51(4), 988–994.
- Rybácov M, Goldschmidt V, Fleischer L, Rostein Y (2001). Cave detection and 4-D monitoring: a microgravity case history near the Dead Sea. Leading Edge 20:896–900
- Reynolds, J.M. (1997). An introduction to applied and environmental geophysics. John Wiley & Sons, pp. 796.
- Shamsipour, P., Marcotte, D., & Chouteau, M. (2012). 3D stochastic joint inversion of gravity and magnetic data. Journal of Applied Geophysics, 79, 27-37.
- Stavrev P.Y. (1997). Euler deconvolution using differential similarity transformations of gravity or magnetic anomalies. Geophysical Prospecting, V. 45, PP. 207-246.
- Sun, J., & Li, Y. (2010). Inversion of surface and borehole gravity with thresholding and density constraints. In 2010 SEG Annual Meeting. Society of Exploration Geophysicists.
- Tarantola, A. (2005). Inverse problem theory and methods for model parameter estimation. siam.
- Telford W. M., Geldart L. P. and Sheriff R. C. (1991). Applied geophysics" 2<sup>nd</sup> edition, Cambridge University Press, pp. 770.
- Thierry P, Debeglia N, Bitri A (2005). Geophysical and geological characterisation of

- karst hazards in urban environments: application to Orléans (France). Bull Eng Geol Environ 64:139–150
- Thomas B, Roth MJS (1999). Evaluation of site characterization methods for sinkholes in Pennsylvania and New Jersey. Eng Geol 52:147–152
- Thompson D. T. (1982). A new technique for making computer-assisted depth estimates from magnetic data. Geophysics, 47, 31-37.
- Verduzco B. J. D., Fairhead C. M., Green C., and MacKenzie (2004). New insights into magnetic derivatives for structural mapping. The Leading Edge, 23, 116–119.
- Zhdanov, M. S., (2005). Geophysical inverse theory and regularization problem, Elsevier press.
- Zhdanov, M. S., & Cox, L. H. (2013). Multinary Inversion for Tunnel Detection. Geoscience and Remote Sensing Letters, IEEE, 10(5), 1100-1103.

## **Abstract:**

Identifying the subsurface structures like cavities, mineral mines, historic rooms, streaks and mineral deposit is one of the most attractive majors for scientists in sciences like mine, geology, civil engineers and archaeologists. Determining the location of such structures only by data and surface geology information is impossible and it will be so complicated and over cost without geophysics methods. Therefore, in the beginning of an exploration work the geophysics methods can be used for such structures. One of the most prepare method to determine such phenomenon that have acceptable density contrast with their environment, is gravimetry method.

In gravity data interpretation, after eliminating regional anomalies and preparing remaining maps, modeling is used to determine geometry parameters of corresponding structure. In this paper to identify and modeling mineral-educational coal tunnel named Dehmola, the operation of microgravity data on a part of main tunnel region (Adit) and perverted (Drift) has been done. After corrections and required processes, the regional data anomalies for modeling prepared. Furthermore for more investigation, the gravimetry data of an undersurface niches in the area of Nevada in the United States has been used.

The Camacho linear inversion method is used to do modeling that has the ability of focusing inversion. To evaluate this method, the synthetics data of two horizontal parallelepiped prisms in two different depth has been used that the gained results have very good accommodation with depth and direction of two prisms.

Due to complication of studied field, the results of modeling real data shows that a good separation between tunnels, drilled arises with surrounding area has been gained. Besides coal layers that are in direction of diversion tunnel (eastern-western) in very acceptable way identified and modeled. Also the harvest network properties, number of stations and data measuring accuracy can be very vital in getting a favorable and proper model.

**Key words:** microgravity, inverse modeling, mineral tunnel, Dehmolla-Shahrood.



**Shahrood University of Technology  
Faculty of Mining, Petroleum and Geophysics**

**Inverse modeling of gravity data to detect  
subsurface structures**

**Farzad Gholamian**

Supervisors:

**Hamid Aghajani**

**Mahmoud Mirzaei**

**A thesis for the degree of M.Sc. in Geophysics (Gravity)**

**September 2015**